

Proračun čelične konstrukcije proizvodne hale

Fraska, Toni

Undergraduate thesis / Završni rad

2019

Degree Grantor / Ustanova koja je dodijelila akademski / stručni stupanj:

University of Split, Faculty of Civil Engineering, Architecture and Geodesy / Sveučilište u Splitu, Fakultet građevinarstva, arhitekture i geodezije

Permanent link / Trajna poveznica: <https://urn.nsk.hr/urn:nbn:hr:123:192403>

Rights / Prava: [In copyright/Zaštićeno autorskim pravom.](#)

*Download date / Datum preuzimanja: **2024-05-14***

Repository / Repozitorij:



[FCEAG Repository - Repository of the Faculty of Civil Engineering, Architecture and Geodesy, University of Split](#)



DIGITALNI AKADEMSKI ARHIVI I REPOZITORIJU



SVEUČILIŠTE U SPLITU

FAKULTET GRAĐEVINARSTVA, ARHITEKTURE I GEODEZIJE

ZAVRŠNI RAD

TONI FRASKA

Split, 2019.

SVEUČILIŠTE U SPLITU

FAKULTET GRAĐEVINARSTVA, ARHITEKTURE I GEODEZIJE

Proračun čelične konstrukcije proizvodne hale

Završni rad

Split, 2019.

**SVEUČILIŠTE U SPLITU
FAKULTET GRAĐEVINARSTVA, ARHITEKTURE I GEODEZIJE**

Split, Mätze hrvatske 15

STUDIJ: **PREDDIPLOMSKI SVEUČILIŠNI STUDIJ
GRAĐEVINARSTVA**

KANDIDAT: Toni Fraska

BROJ INDEKSA: 4519

KATEDRA: Katedra za metalne i drvene konstrukcije

PREDMET: Osnove metalnih konstrukcija

ZADATAK ZA ZAVRŠNI RAD

Tema: Proračun čelične konstrukcije proizvodne hale

Opis zadatka: Na temelju zadanih podataka čelične hale potrebno je dimenzionirati glavnu nosivu konstrukciju, sekundarne nosače i spregove konstrukcije.

Način izvedbe: montažno

Materijal konstrukcije: S235

Objekt se nalazi na području Zagreba.

Razmak okvira: 5.4 (m)

U Splitu, 04.07.2019.

Voditelj Završnog rada: prof.dr.sc. Ivica Boko

Proračun čelične konstrukcije proizvodne hale

Sažetak:

Na temelju zadanih podataka čelične hale potrebno je dimenzionirati glavnu nosivu konstrukciju, sekundarne nosače, spregove konstrukcije i temelje. Objekt se nalazi na području Zagreba. Proračun se provodi na temelju graničnog stanja nosivosti (GSM) i graničnog stanja uporabljivost (GSU). Opterećenja koja se javljaju na konstrukciji su stalno (vlastita težina i dodatno stalno opterećenje) i promjenjivo (snijeg i vjetar). Iznosi unutarnji sila dobiveni su u računalnom programu „SCIA Engineer 18.1“.

Ključne riječi:

Čelik, hala, nosiva konstrukcija, spregovi, podrožnice, rešetka, stup, dimenzioniranje, spojevi.

Design of a steel manufacturing hall

Abstract:

Based on the information about a steel manufacturing hall, our assignment is to design this structure: its main supporting structure, secondary structure, bracings and foundations. The object is located in Zagreb. Structure calculations are based on ultimate limit state (ULS) and serviceability limit state (SLS). Loads are permanent and variable (snow and wind). The results of the internal forces were calculated in „SCIA Engineer 18.1“.

Keywords:

Steel, hall, load-bearing structure, bracings, purlins, grating, column, design, joints.

SADRŽAJ

1. TEHNIČKI OPIS	1
1.1. OPIS KONSTRUKCIJE	1
1.1.1. OPĆENITO	1
1.1.2. KONSTRUKTIVNI ELEMENTI	2
1.1.3. SPOJEVI	2
1.2. O PRORAČUNU KONSTRUKCIJE	3
1.3. MATERIJALI ZA IZRADU KONSTRUKCIJE	3
1.4. PRIMIJENJENI PROPISI	4
1.5. ANTIKOROZIJSKA ZAŠTITA	4
1.6. ZAŠTITA OD POŽARA	4
1.7. MONTAŽA I TRANSPORT	4
2. ANALIZA OPTEREĆENJA	5
2.1. STALNO OPTEREĆENJE – KROVNA PLOHA	5
2.2. PROMJENJIVO OPTEREĆENJE	5
2.2.1. DJELOVANJE SNIJEGA	5
2.2.2. DJELOVANJE VJETRA	6
2.2.2.1. ODREĐIVANJE PRITISKA NA HALU ZA PODRUČJA DVOSTREŠNOG KROVA $\theta=0^\circ$	8
2.2.2.2. ODREĐIVANJE PRITISKA NA HALU ZA VERTIKALNE ZIDOVE	10
2.2.2.3. UKUPNO DJELOVANJE VJETRA NA GLAVNU NOSIVU KONSTRUKCIJU	12
2.2.2.4. DJELOVANJE VJETRA NA ZABAT HALE	13
3. KONTROLA PROGIBA – GSU	15
3.1. KROVIŠTE - VERTIKALNI PROGIB	15
3.2. STUPOVI - HORIZONTALNI PROGIB	16
4. DIJAGRAMI REZNIH SILA ZA KOMBINACIJE DJELOVANJA – GSN	17
4.1. GLAVNA KONSTRUKCIJA	17
4.1.1. KOMBINACIJA $1.35(LG1+G) + 1.5S$	17
4.1.2. KOMBINACIJA $1.35(LG1+G) + 1.5W2$	18
4.1.3. KOMBINACIJA $1.0(LG1+G) + 1.5W1$	20
4.1.4. KOMBINACIJA $1.35(LG1+G) + 1.35(S+W2)$	21
4.2. SEKUNDARNA KONSTRUKCIJA	23
4.2.1. ZABATNI STUPOVI	23
4.2.2. KROVNI (HORIZONTALNI) SPREGOVI	25
4.2.3. BOČNI (VERTIKALNI) SPREGOVI	26
4.2.4. KROVNE PODROŽNICE	27
4.2.5. BOČNE PODROŽNICE	37
5. DIMENZIONIRANJE KONSTRUKCIJE	39
5.1. GLAVNA NOSIVA KONSTRUKCIJA	39
5.1.1. DIMENZIONIRANJE STUPA	39
5.1.2. DIMENZIONIRANJE GORNJEG POJASA	45
5.1.3. DIMENZIONIRANJE DONJEG POJASA	49
5.1.4. DIMENZIONIRANJE VERTIKALA	51
5.1.5. DIMENZIONIRANJE DIJAGONALA	55

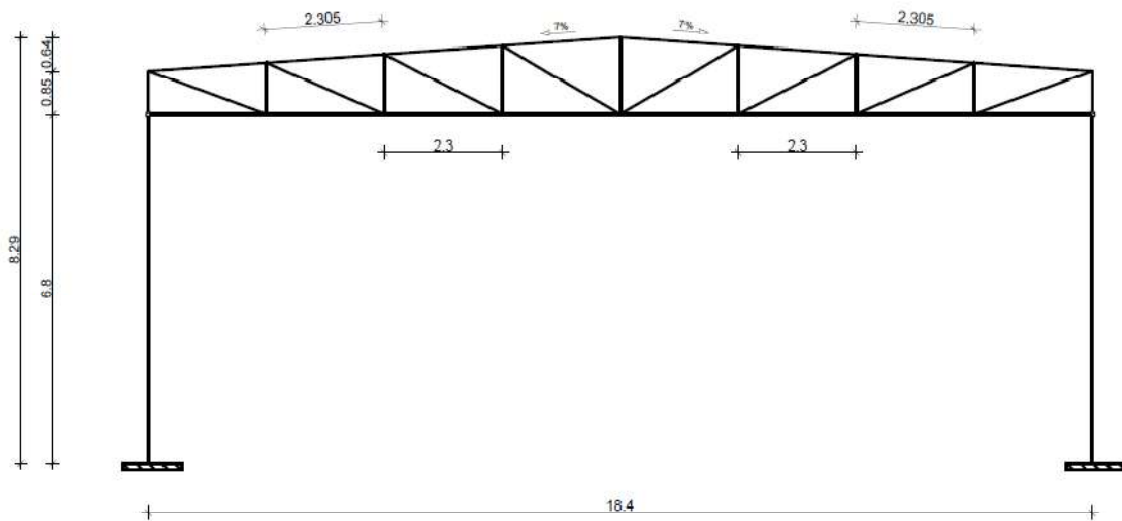
5.2. SEKUNDARNA KONSTRUKCIJA	59
5.2.1. DIMENZIONIRANJE ZABATNOG STUPA	59
5.2.2. DIMENZIONIRANJE HORIZONTALNOG SPREGA	63
5.2.3. DIMENZIONIRANJE VERTIKALNOG SPREGA	64
5.2.4. DIMENZIONIRANJE KROVNIH PODROŽNICA	65
5.2.5. DIMENZIONIRANJE BOČNIH PODROŽNICA	72
6. DIMENZIONIRANJE SPOJEVA	76
6.1. SPOJ STUP-TEMELJ	76
6.2. VLAČNI NASTAVAK REŠETKE	80
6.3. SPOJ STUP-REŠETKA	82
7. PRORAČUN TEMELJA	85
8. LITERATURA	87
9. NACRTI	88
9.1. GENERALNI PLAN POZICIJA	88
9.2. PRESJEK KROZ GLAVNI OKVIR	89
9.3. RADIONIČKI NACRT GLAVNE KONSTRUKCIJE	90
9.4. RADIONIČKI NACRT SEKUNDARNE KONSTRUKCIJE	91
9.5. DETALJI SPOJEVA	92
9.6. ISKAZ MATERIJALA	93

1. TEHNIČKI OPIS

1.1. OPIS KONSTRUKCIJE

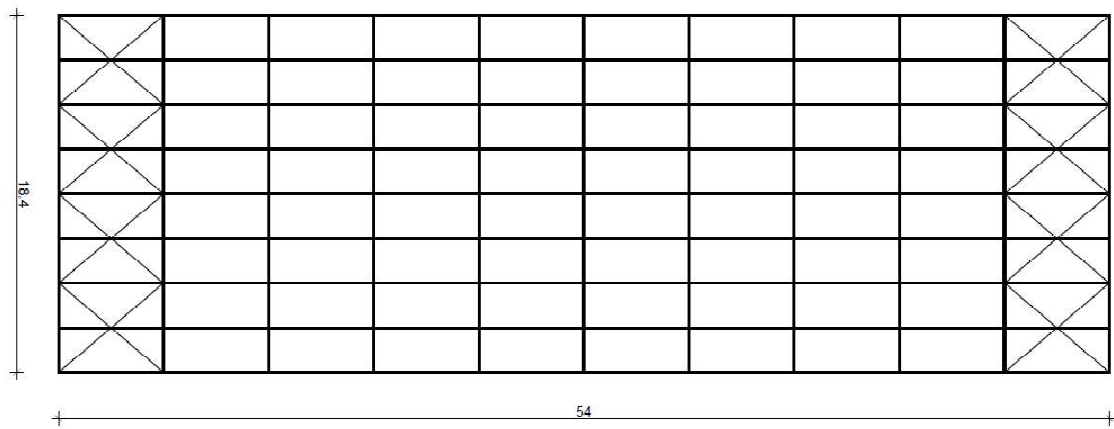
1.1.1. OPĆENITO

Predmetna građevina nalazi se na području grada Zagreba. Tlocrte dimenzije su $18,4 \times 54,0$ metra, a visina iznosi 8,29 (m). Krovna ploha je u odnosu na horizontalnu ravninu nagnuta pod kutom $\alpha = 4^\circ$, što je ekvivalentno nagibu od 7%. Projektirana je za potrebu skladištenja.



Slika 1.1. Prikaz glavnog nosača

Glavni nosivi sustav hale je zamišljen kao sustav 10 ravninskih okvira raspona 18,4 (m), stabilnih u svojoj ravnini, na međusobnom osnom razmaku od 5,4 (m).



Slika 1.2. Tlocrtni prikaz konstrukcije

Na gornje pojaseve se oslanjaju sekundarni krovni nosači, tj. podrožnice na međusobnom osnom razmaku od 2,3 (m), a na stupove su oslonjeni sekundarni bočni nosači na međusobnom osnom razmaku od 2,27 (m). Stabilizacija hale u smjeru okomitom na glavni nosivi sustav ostvarena je spregovima u krovnim (horizontalnim) i bočnim (zidnim) ravninama i to u krajnjim poljima, odnosno prvom i posljednjem polju. Kao pokrov koriste se aluminijski sendvič paneli.

1.1.2. KONSTRUKTIVNI ELEMENTI

Stupovi

Proračunom su odabrani stupovi valjanih H profila HEA260 duljine 6800 mm. Za zatvarene stupove su odabrani profile HEA140. Odabrani stupovi zadovoljavaju pomake konstrukcije uslijed djelovanja opterećenja.

Glavna rešetka

Glavne rešetke su dimenzionirane da prime utjecaj od vlastite težine čitave konstrukcije i opterećenja od snijega i vjetra. Profili gornjeg i donjeg pojasa su pravokutnog šupljeg poprečnog presjeka CFRHS 140X140X8.8 spojeni u čvorovima. Profili vertikala su pravokutnog šupljeg poprečnog presjeka CFRHS 60X60X5, dok su profili dijagonala pravokutnog šupljeg poprečnog presjeka CFRHS 80X60X5. Sami elementi geometrije prikazani su na generalnom nacrtu.

Podrožnice

Podrožnica prenosi opterećenje s krovne plohe na glavne nosače. Podrožnica je okomita na nagib krovne plohe. Pri dimenzioniranju podrožnice koristi se djelovanje snijega, gravitacije i vjetra. Profili krovnih podrožnica su IPE200, dok su profili bočnih podrožnica IPE120. Duljina podrožnica je 5,4 m.

Spregovi

Spreg služi za prihvatanje horizontalnih sila vjetra i za pridržavanje glavnih nosača da ne bi došlo do izbočavanja. Horizontalni i vertikalni spregovi su dijagonale koje su izvedene od čelika okruglog poprečnog presjeka RD14.

1.1.3. SPOJEVI

Vlačni nastavak rešetke

Spojevi gornjeg i donjeg pojasa izvode se čeonim pločama dimenzija 360x360x25(mm) navarenim na krajeve greda međusobno pričvršćenim vijcima M20; k.v. 5.6 nosivim na vlak i odrez.

Stup-temelj

Spoj se izvodi podložnom pločom dimenzija 450x300x20 (mm) navarenom na kraj stupa i pričvršćenom vijcima M20; k.v. 5.6 nosivim na vlak i odrez, te sidrenim u armirano–betonski temelj. Između podložne ploče i armirano–betonskog temelja podlijeva se ekspandirajući mort.

Stup-rešetka

Spoj donje pojasnice rešetke sa stupom ostvaruje se čeonom pločom dimenzija 390x340x10(mm) i vijcima M12; k.v. 5.6 nosivim na odrez.

1.2. O PRORAČUNU KONSTRUKCIJE

Statičkom analizom obuhvaćena su opterećenja koja djeluju na metalnu konstrukciju. Ta opterećenja stalna ili promjenjiva te njihove kombinacije:

STALNA OPTEREĆENJA: vlastita težina, instalacije, pokrov

PROMJENJIVA OPTEREĆENJA: -snijeg
-vjetar(tlačno ili podtlačno djelovanje)

Za proračun uzimamo najnepovoljniju kombinaciju opterećenja. Za proračun statičkog odgovora konstrukcije i izračun unutarnjih sila (momenti savijanja, poprečne i uzdužne sile) korišten je računalni program "SCIA". Gornji i donji pojas su izračunati kao kontinuirane grede na koje su zglobno vezane dijagonale i vertikale. Ovakvim načinom računanja dolazi se do stvarnog stanja naprezanja u presjecima rešetke.

Izvršena je i analiza bočnog opterećenja u kombinaciji s vjetrom koji djeluje okomito na glavni nosač i izbočava ga. Cilj ovog proračuna je prostorna stabilizacija konstrukcije.

1.3. MATERIJALI ZA IZRADU KONSTRUKCIJE

Svi elementi konstrukcije (glavni nosivi okvir, sekundarne konstrukcije, spregovi i spojne ploče) izrađeni su od građevinskog čelika S235 (Fe-360).

Temelji su izrađeni od armiranog betona klase C25/30, s betonskim čelikom B500B kao armaturom.

Računske vrijednosti koeficijenata čelika su:

$$E=210\ 000 \text{ N/mm}^2$$

$$G\approx 81\ 000 \text{ N/mm}^2$$

$$v=0.3$$

$$f_y=235 \text{ N/mm}^2 \text{ za } t\leq 40\text{mm}$$

$$f_y=235 \text{ N/mm}^2 \text{ za } 40\text{mm} \leq t \leq 80\text{mm}$$

1.5. PRIMIJENJENI PROPISI

Proračun čelične konstrukcije proveden je prema sljedećim propisima:

-Analiza opterećenja:

HRN EN 1991 vlastita težina građevine

HRN EN 1992 djelovanje snijega na konstrukciju

HRN EN 1993 djelovanje vjetra na konstrukciju

-Dimenzioniranje:

HRN ENV 1993 dimenzioniranje čeličnih konstrukcija

HRN ENV 1992 dimenzioniranje armirano betonskih konstrukcija

1.6. ANTIKOROZIJSKA ZAŠTITA

Svi dijelovi čelične konstrukcije moraju biti zaštićeni od korozije.

Kao vrsta zaštite od korozije koristi se zaštita vrućim pocinčavanjem i zaštitnim premazom.

Ukupna debljina zaštitnog sloja usvaja se 200 µm.

1.7. ZAŠTITA OD POŽARA

Svi elementi moraju se zaštiti posebnim premazima otpornim na visoke temperature, s ciljem što veće zaštite od požara. Također je potrebno opremiti objekt za slučaj nastanka požara uređajima za najavu požara kao i opremom za njegovo gašenje.

1.8. MONTAŽA I TRANSPORT

Pozicije okvira će se izrezati u radionici te transportirati na gradilište. Pri tome je potrebno obratiti posebnu pažnju na montažu i transport da bi se izbjegla nepotrebna oštećenja.

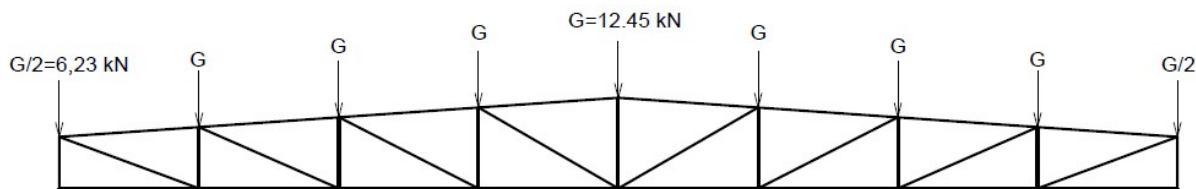
Izvođač je dužan izraditi plan montaže nosača kojeg treba zajedno sa transportnim planom dostaviti nadzornoj službi na suglasnost. Potrebno je poduzeti sve mjere u skladu s "Pravilnikom o zaštiti na radu".

2. ANALIZA OPTEREĆENJA

2.1 STALNO OPTEREĆENJE – KROVNA PLOHA

- sendvič paneli (aluminij)	0,20	kN/m ²
- sekundarna konstrukcija i spregovi	0,60	kN/m ²
- instalacije	0,20	kN/m ²
$\Sigma = \frac{1,00}{1,00} \text{ kN/m}^2$		

$$G = 1,00 \text{ kN/m}^2 \cdot 5,4 \text{ m} \cdot 2,305 \text{ m} = 12,45 \text{ kN}$$



Slika 2.1. Dodatno stalno opterećenje

2.2 PROMJENJIVO OPTEREĆENJE

2.2.1 DJELOVANJE SNIJEGA

$$s = s_k * \mu_i * c_e * c_t [\text{kN/m}^2]$$

$s_k \Rightarrow$ karakteristična vrijednost opterećenja na tlu u kN/m^2

$s_k = 1,0 \text{ kN/m}^2 \Rightarrow$ za Zagreb, od 0-100 m nadmorske visine

- Nagib krova :

$\mu_i \Rightarrow$ koeficijent oblika za opterećenje snijegom, očitamo ga ovisno o α (nagib krova)

$$\operatorname{tg} \alpha = 7/100 = 0,15 \Rightarrow \alpha = 4,00^\circ;$$

$$\mu_i = 0,8 \Leftrightarrow \text{za nagib krova } 0^\circ < \alpha < 15^\circ, \quad \alpha_1 = \alpha_2$$

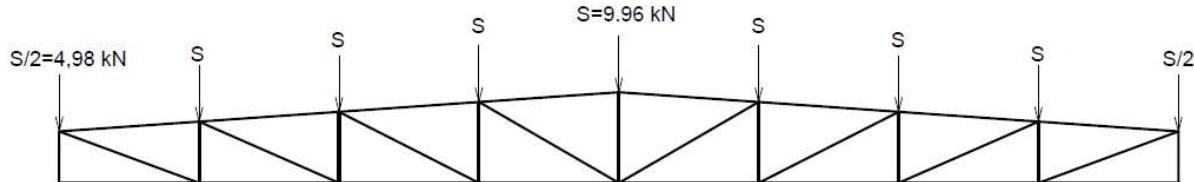
$c_e \Rightarrow$ koeficijent izloženosti (uzima se 1,0)

$c_t \Rightarrow$ toplinski koeficijent (uzima se 1,0)

Opterećenje snijegom preko cijele krovne površine: $s_l = 1,0 \cdot 0,8 \cdot 1,0 \cdot 1,0 = 0,8 \text{ kN/m}^2$

Sile u čvorovima glavnog nosača:

$$S = 0.8 \text{ kN/m}^2 \cdot 5,4 \text{ m} \cdot 2,305 \text{ m} = 9,96 \text{ kN}$$



Slika 2.2. Opterećenje snijegom

2.2.2 DJELOVANJE VJETRA

$$w_e = q_p(z_e) \cdot c_{pe} \quad [\text{kN/m}^2] \quad \text{- pritisak vjetra na vanjske površine}$$

$$w_i = q_p(z_i) \cdot c_{pi} \quad [\text{kN/m}^2] \quad \text{- pritisak vjetra na unutarnje površine}$$

$q_p(z_e) \Rightarrow$ pritisak brzine vjetra pri udaru

$z_e \Rightarrow$ referentna visina za vanjski(unutarnji) pritisak

$c_{pe} \Rightarrow$ vanjski koeficijent pritiska

$c_{pi} \Rightarrow$ unutarnji koeficijent pritiska

Određivanje pritiska brzine vjetra pri udaru:

$$q_b = \frac{1}{2} \cdot \rho \cdot v_b^2 \quad (\text{kN/m}^2)$$

$\rho \Rightarrow$ gustoća zraka(uzvaja se $\rho = 1,25 \text{ kg/m}^3$)

$v_b \Rightarrow$ osnovna brzina vjetra

$$v_b = c_{season} \cdot c_{dir} \cdot v_{b,0} \quad (\text{m/s})$$

$v_{b,0} \Rightarrow$ fundamentalna vrijednost brzine vjetra(očitano s karte $v_{b,0} = 20(\text{m/s})$)

$c_{dir} \Rightarrow$ faktor smjera vjetra(uzima se 1,0)

c_{season} => faktor doba godine(uzima se 1,0)

$$v_b = 20 \cdot 1,0 \cdot 1,0 = 20 \text{ (m/s)}$$

$v_m(z)$ => srednja brzina vjetra

$$v_m(z) = c_r(z) \cdot c_\theta(z) \cdot v_b \text{ (m/s)}$$

$c_0(z)$ => faktor hrapavosti

$c_r(z)$ => faktor orografije(uzima se 1,0)

$k_r(z)$ => faktor terena

$$k_r = 0,19 \cdot (z_0/z_{0,II})^{0,07} = 0,19 \cdot (0,3/0,05)^{0,07} = 0,22$$

$$c_r(z) = k_r \cdot \ln(z/z_0) = 0,22 \cdot \ln(8,29/0,3) = 0,73$$

$$v_m(z) = 0,73 \cdot 1,0 \cdot 25 = 14,60 \text{ (m/s)}$$

$I_v(z)$ => intenzitet turbulencije

k_1 => faktor turbulencije(uzima se 1,0)

$$I_v(z) = \frac{k_1}{c_0(z) \cdot \ln(z/z_0)} = \frac{1,0}{1,0 \cdot \ln(8,29/0,3)} = 0,30$$

$$q_b = \frac{1}{2} \cdot \rho \cdot v_b^2 = 0,5 \cdot 1,25 \cdot 20^2 = 0,250 \text{ (kN / m}^2\text{)}$$

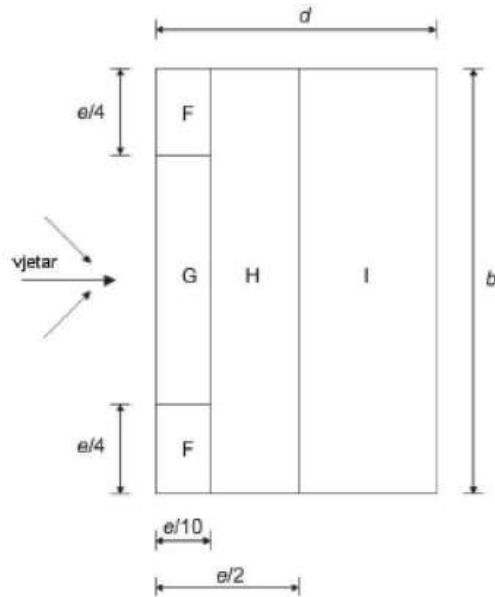
$c_e(z)$ => faktor izloženosti

$$c_e(z) = (1 + 7 \cdot I_v(z)) = 1 + 7 \cdot 0,30 = 3,10$$

Pritisak brzine vjetra pri udaru:

$$q_p = (1 + 7 \cdot I_v(z)) \cdot \frac{1}{2} \cdot \rho \cdot v_m^2 = (1 + 7 \cdot 0,30) \cdot 0,5 \cdot 1,25 \cdot 14,6^2 = 0,413 \text{ (kN/m}^2\text{)}$$

2.2.2.1 ODREĐIVANJE PRITISKA NA HALU ZA PODRUČJA DVOSTREŠNOG KROVA $\theta=0^\circ$



Slika 2.3. Prikaz područja vjetra za kose krovove

Koefficijenti vanjskog pritiska očitavaju se za ravne krovove, odnosno krovove za koje vrijedi:

$$|\alpha| \leq 5^\circ$$

$$e = \min(b; 2h) = \min(54m; 16,58m) = 16,58 \text{ m}$$

Koefficijenti se očitani za dvostrešni ravni krov s kutom $|\alpha| \leq 5^\circ$ i oštrim zabatom:

PODRUČJE	F	G	H	I
$c_{pe,10}$	-1,8	-1,2	-0,7	+0,2
$c_{pe,10}$	-1,8	-1,2	-0,7	-0,2

Pritisak vjetra na vanjske površine

$$w_e = q_p \cdot c_{pe} \quad [\text{kN/m}^2]$$

$$q_p = 0,413 \text{ kN/m}^2$$

PODRUČJE	F	G	H	I
$c_{pe,10}$	-1,8	-1,2	-0,7	-0,2
$w_{e1} (\text{kN/m}^2)$	-0,74	-0,50	-0,29	-0,08
$c_{pe,10}$	-1,8	-1,2	-0,7	+0,2
$w_{e2} (\text{kN/m}^2)$	-0,74	-0,50	-0,29	+0,08

Rezultirajuće djelovanje vjetra

$$w_k = w_e + w_i \quad [\text{kN/m}^2]$$

Vjetar W1 pozitivni unutarnji pritisak ($c_{pi} = +0,2$)

$$W_k = w_k \cdot n \quad [\text{kN/m'}], \quad n=5,4 \text{ m (razmak okvira)}$$

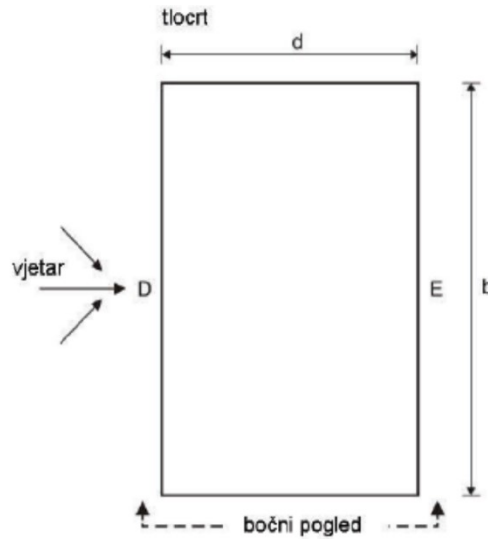
PODRUČJE	F	G	H	I
w _e (kN/m ²)	-0,74	-0,50	-0,29	-0,08
w _i (kN/m ²)	+0,08	+0,08	+0,08	+0,08
w _k (kN/m ²)	-0,82	-0,58	-0,37	-0,16
W _k (kN/m')	-4,43	-3,13	-2,00	-0,86

Vjetar W2 negativni unutarnji pritisak ($c_{pi} = -0,3$)

$$W_k = w_k \cdot n \quad [\text{kN/m'}], \quad n= 5,4 \text{ m (razmak okvira)}$$

PODRUČJE	F	G	H	I
w _e (kN/m ²)	-0,74	-0,50	-0,29	+0,08
w _i (kN/m ²)	-0,12	-0,12	-0,12	-0,12
w _k (kN/m ²)	-0,62	-0,38	-0,17	+0,20
W _k (kN/m')	-3,35	-2,05	-0,92	+1,08

2.2.2.2 ODREĐIVANJE PRITISKA NA HALU ZA VERTIKALNE ZIDOVE



Slika 2.4. Prikaz područja vjetra za vertikalne zidove

Koeficijent vanjskog pritiska na halu dobije se linearnom interpolacijom koeficijenata zadanih u tablici za vrijednost: $h/d=0,451$

PODRUČJE	D	E
$c_{pe,10}$	+0,73	-0,35

Određivanje koeficijenata unutarnjeg pritiska

Koeficijenti c_{pi} ovise o veličini i raspodjeli otvora na oblozi hale (fasada i krov). U ovom primjeru nije definiran raspored i veličina otvora, zato se za vrijednost c_{pi} usvajaju vrijednosti:

- Unutrašnji koeficijent pritiska $\rightarrow c_{pi} = -0,3$ i $+0,2$

Pritisak vjetra na vanjske površine

$$w_e = q_p \cdot c_{pe} \quad [\text{kN/m}^2]$$

$$q_p = 0,413 \text{ kN/m}^2 \rightarrow \text{preuzeto iz analize opterećenja glavne nosive konstrukcije}$$

PODRUČJE	D	E
c_{pe,10}	+0,73	-0,35
w_e (kN/m²)	+0,30	-0,15

Pritisak vjetra na unutarnje površine

$$w_i = q_p \cdot c_{pi} \text{ [kN/m}^2\text{]}$$

$$q_p = 0,413 \text{ kN/m}^2$$

$$w_i = 0,413 \cdot 0,2 = +0,08 \text{ kN/m}^2$$

$$w_i = 0,413 \cdot -0,3 = -0,12 \text{ kN/m}^2$$

Rezultirajuće djelovanje vjetra

$$w_k = w_e \text{ “+” } w_i \text{ [kN/m}^2\text{]}$$

$$W_k = w_k \cdot n, n = 5,4 \text{ m (razmak između okvira)}$$

Vjetar W1 pozitivni unutarnji pritisak (c_{pi} = +0,2)

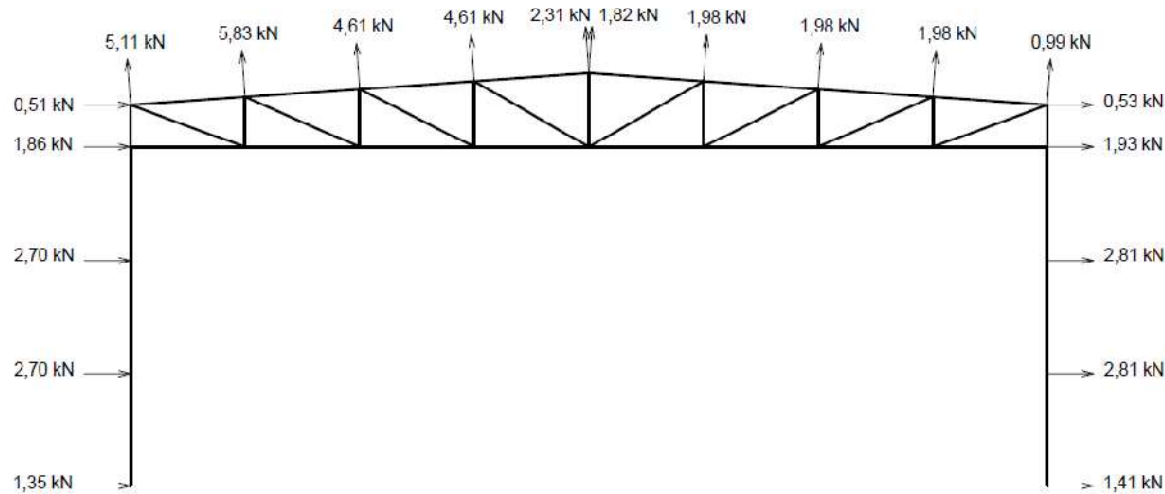
PODRUČJE	D	E
w_e (kN/m²)	+0,30	-0,15
w_i (kN/m²)	+0,08	+0,08
w_k (kN/m²)	+0,22	-0,23
W_k (kN/m')	+1,19	-1,24

Vjetar W2 negativni unutarnji pritisak (c_{pi} = -0,3)

PODRUČJE	D	E
w_e (kN/m²)	+0,30	-0,15
w_i (kN/m²)	-0,12	-0,12
w_k (kN/m²)	+0,42	-0,05
W_k (kN/m')	+2,27	-0,27

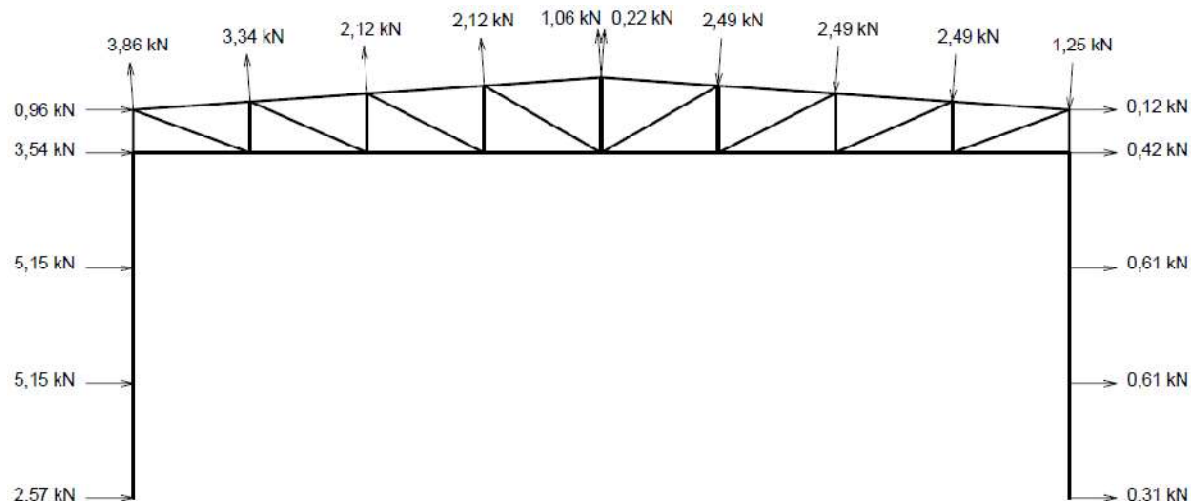
2.2.2.3 UKUPNO DJELOVANJE VJETRA NA GLAVNU NOSIVU KONSTRUKCIJU

Vjetar W1 pozitivni unutarnji pritisak ($c_{pi} = +0,2$)



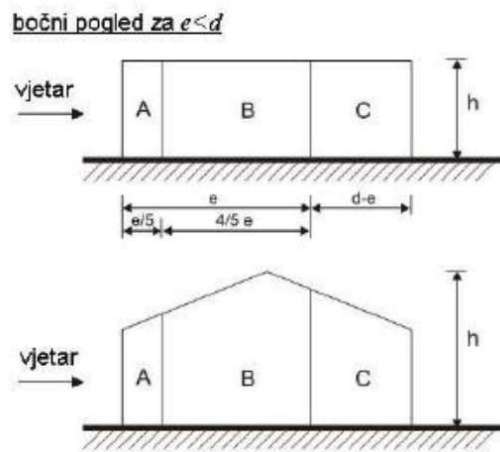
Slika 2.5. Prikaz djelovanja vjetra W1

Vjetar W2 negativni unutarnji pritisak ($c_{pi} = -0,3$)



Slika 2.6. Prikaz djelovanja vjetra W2

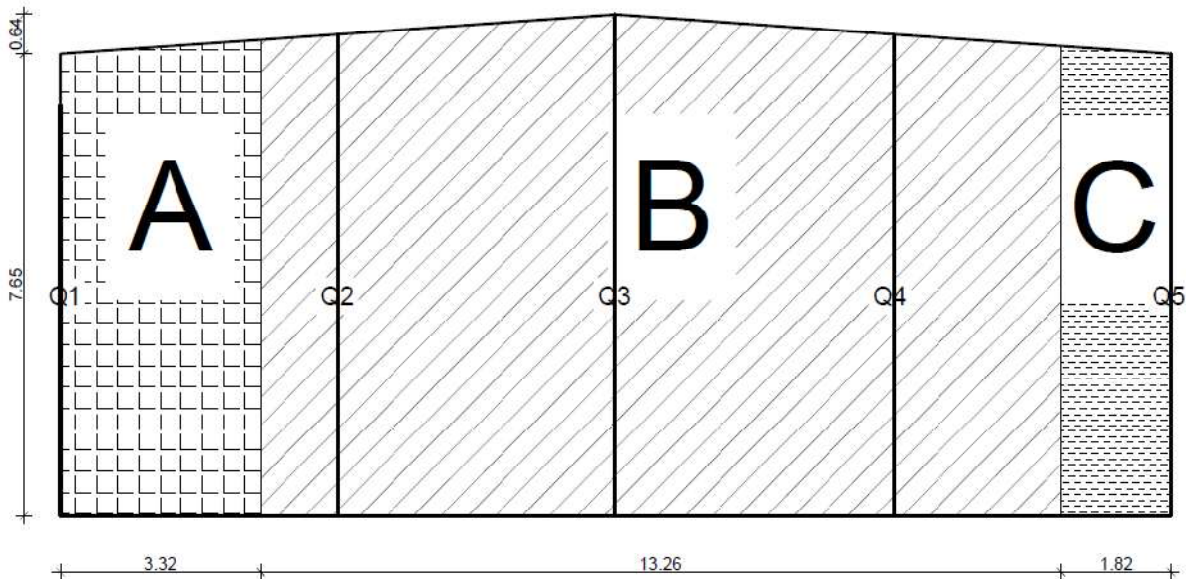
2.2.2.4 DJELOVANJE VJETRA NA ZABAT HALE



Slika 2.7. Područja pritiska vjetra na zabat

Koeficijent vanjskog pritiska na halu dobije se linearom interpolacijom koeficijenata zadanih u tablici za vrijednost: $h/d=0,451$

PODRUČJE	A	B	C
$c_{pe,10}$	-1,2	-0,8	-0,5



Slika 2.8. Prikaz područja pritiska vjetra na zabat

Vjetar W1 pozitivni unutarnji pritisak ($c_{pi} = +0,2$)

PODRUČJE	A	B	C
$w_e \text{ (kN/m}^2\text{)}$	-0,50	-0,33	-0,21
$w_i \text{ (kN/m}^2\text{)}$	+0,08	+0,08	+0,08
$w_k \text{ (kN/m}^2\text{)}$	-0,58	-0,41	-0,29

$$Q1 = 2,3 \cdot A = 1,33 \text{ kN/m}^2$$

$$Q2 = (3,32-2,3) \cdot A + (2,3-1,02) \cdot B + 2,3 \cdot B = 2,06 \text{ kN/m}^2$$

$$Q3 = 4,6 \cdot B = 1,89 \text{ kN/m}^2$$

$$Q4 = 4,6 \cdot B = 1,89 \text{ kN/m}^2$$

$$Q5 = (2,3-1,82) \cdot B + 1,82 \cdot C = 0,73 \text{ kN/m}^2$$

Vjetar W2 negativni unutarnji pritisak ($c_{pi} = -0,3$)

PODRUČJE	A	B	C
$w_e \text{ (kN/m}^2\text{)}$	-0,50	-0,33	-0,21
$w_i \text{ (kN/m}^2\text{)}$	-0,12	-0,12	-0,12
$w_k \text{ (kN/m}^2\text{)}$	-0,38	-0,21	-0,09

$$Q1 = 2,3 \cdot A = 0,87 \text{ kN/m}^2$$

$$Q2 = (3,32-2,3) \cdot A + (2,3-1,02) \cdot B + 2,3 \cdot B = 1,14 \text{ kN/m}^2$$

$$Q3 = 4,6 \cdot B = 0,97 \text{ kN/m}^2$$

$$Q4 = 4,6 \cdot B = 0,97 \text{ kN/m}^2$$

$$Q5 = (2,3-1,82) \cdot B + 1,82 \cdot C = 0,27 \text{ kN/m}^2$$

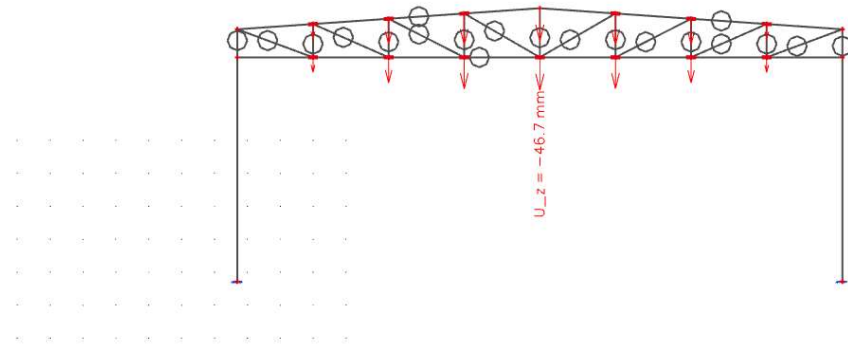
Napomena: Sile Q1-Q5 su dobivene kao jednoliko raspoređeno opterećenje po zabatnim zidovima.
Reakcije u ležejevima prenose se na krovni spreg, pri čemu je mjerodavno opterećenje vjetrom "W1".

3. KONTROLA PROGIBA - GSU

3.1 KROVIŠTE - VERTIKALNI PROGIB

Najveći progib izazvan je djelovanjem kombinacije 1.0LC1+1.0G+1.0S+1.0W2

Displacement of nodes
Values: U_z
Linear calculation
Combination: GSU: LC1+G+S+W2
Extreme: Global
Selection: All



Slika 3.1. Vertikalni progib glavnog nosača

$$\text{Dopušteni progib: } \frac{L}{300} = \frac{18400}{300} = 61.33 \text{ mm}$$

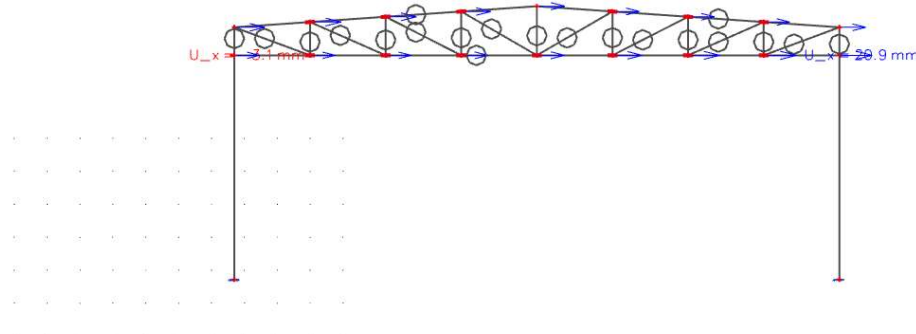
$$\frac{46.7}{61.33} = 0.76 = 76\%$$

Najveći progib zadovoljava u odnosu na dopušteni sa iskoristivosti od 76%.

3.2 STUPOVI - HORIZONTALNI PROGIB

Displacement of nodes

Values: U_x
Linear calculation
Combination: GSU: LC1+G+S+W2
Extreme: Global
Selection: All



Slika 3.2. Horizontalni progib glavnog nosača

$$\text{Dopušteni progib: } \frac{H}{300} = \frac{6800}{300} = 22.67 \text{ mm}$$

$$\frac{20.9}{22.67} = 0.92 = 92\%$$

Najveći pomak zadovoljava u odnosu na dopušteni sa iskoristivosti od 92%.

Profili konstrukcije glavnog nosača za koje su dobiveni navedeni progibi su:

- Gornji pojaz: CFRHS 140x140x8.8
- Donji pojaz: CFRHS 140x140x8.8
- Dijagonale: CFRHS 80x60x5
- Vertikale: CFRHS 60x60x5
- Stup: HEA 260

4. DIJAGRAMI REZNIH SILA ZA KOMBINACIJE DJELOVANJA - GSN

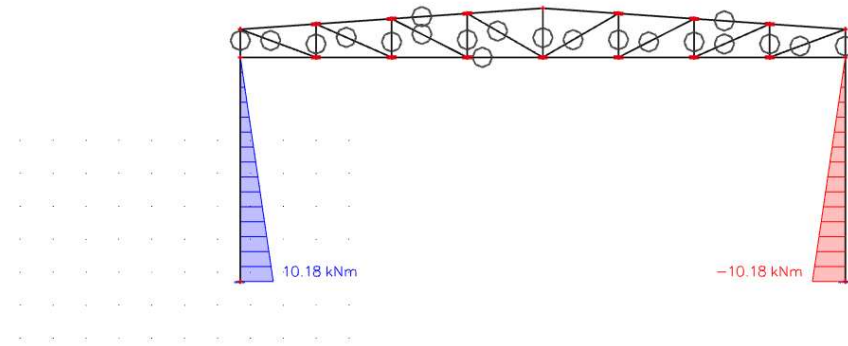
4.1 GLAVNA KONSTRUKCIJA

Dijagrami reznih sila dobiveni su za istoimene profile koji su korišteni pri računanju progiba. Profili su usvojeni sa iskoristivosti od 92%.

4.1.1 KOMBINACIJA 1.35(LG1+G) + 1.5S

1D internal forces

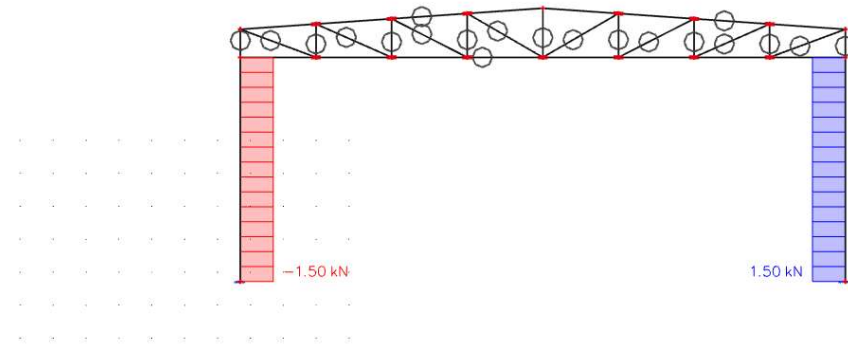
Values: M_y
Linear calculation
Combination: 1,35(LC1+G)+1,5S
Coordinate system: Principal
Extreme 1D: Global
Selection: All



Slika 4.1. Momentni dijagram za kombinaciju 1

1D internal forces

Values: V_z
Linear calculation
Combination: 1,35(LC1+G)+1,5S
Coordinate system: Principal
Extreme 1D: Global
Selection: All



Slika 4.2. Dijagram poprečnih sila za kombinaciju 1

1D internal forces

Values: **N**

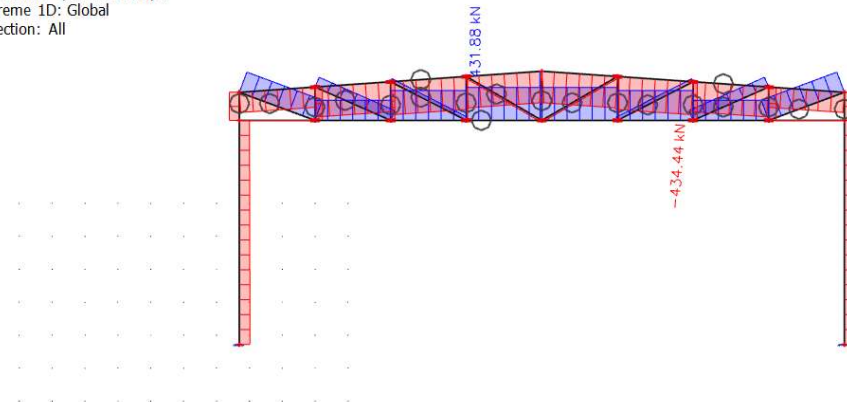
Linear calculation

Combination: 1,35(LC1+G)+1,5S

Coordinate system: Principal

Extreme 1D: Global

Selection: All



Slika 4.3. Dijagram uzdužnih sila za kombinaciju 1

4.1.2 KOMBINACIJA 1.35(LG1+G) + 1.5W2

1D internal forces

Values: **M_y**

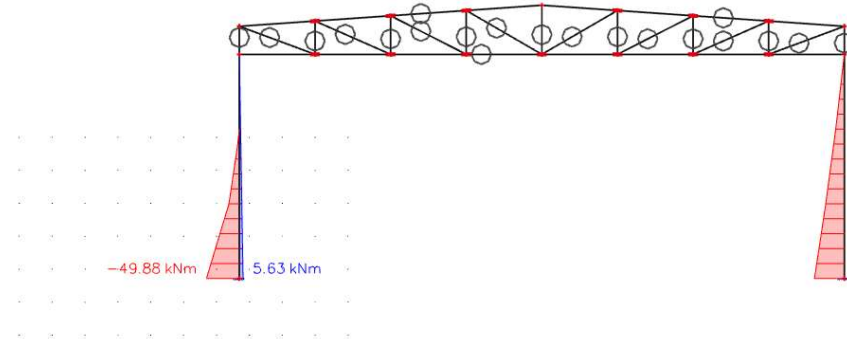
Linear calculation

Combination: 1,35(LC1+G)+1,5W2

Coordinate system: Principal

Extreme 1D: Global

Selection: All



Slika 4.4. Momentni dijagram za kombinaciju 2

1D internal forces

Values: V_z

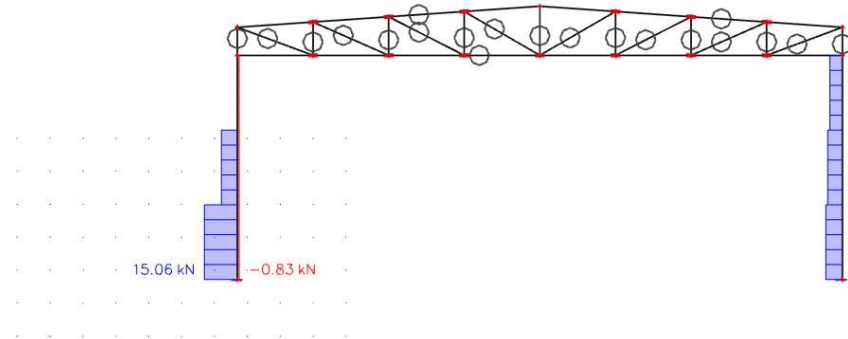
Linear calculation

Combination: 1,35(LC1+G)+1,5W2

Coordinate system: Principal

Extreme 1D: Global

Selection: All



Slika 4.5. Dijagram poprečnih sila za kombinaciju 2

1D internal forces

Values: N

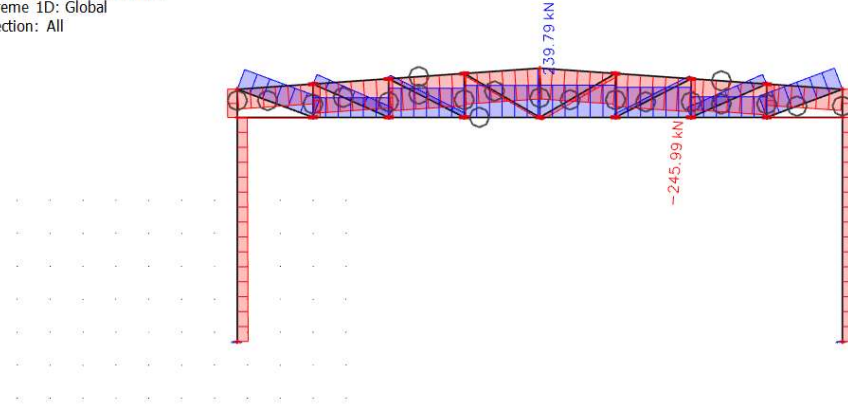
Linear calculation

Combination: 1,35(LC1+G)+1,5W2

Coordinate system: Principal

Extreme 1D: Global

Selection: All

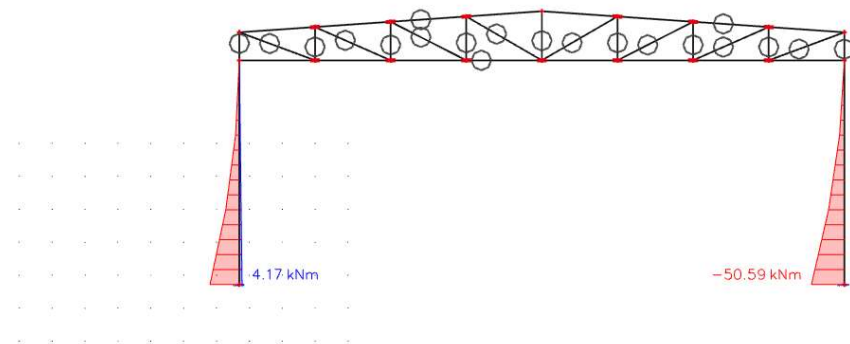


Slika 4.6. Dijagram uzdužnih sila za kombinaciju 2

4.1.3 KOMBINACIJA 1.0(LG1+G) + 1.5W1

1D internal forces

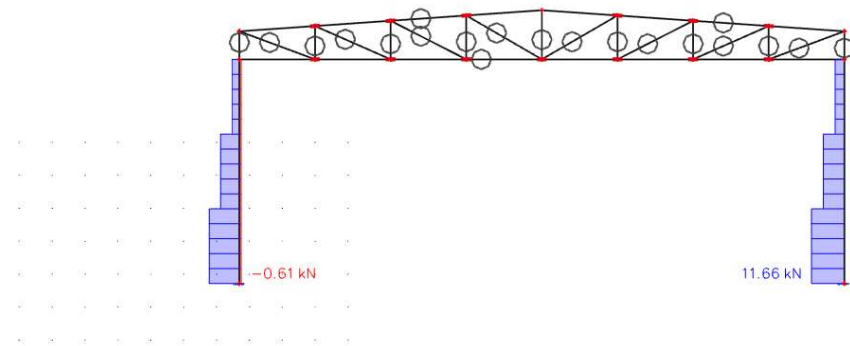
Values: M_y
Linear calculation
Combination: 1,0(LC1+G)+1,5W1
Coordinate system: Principal
Extreme 1D: Global
Selection: All



Slika 4.7. Momentni dijagram za kombinaciju 3

1D internal forces

Values: V_z
Linear calculation
Combination: 1,0(LC1+G)+1,5W1
Coordinate system: Principal
Extreme 1D: Global
Selection: All



Slika 4.8. Dijagram poprečnih sila za kombinaciju 3

1D internal forces

Values: **N**

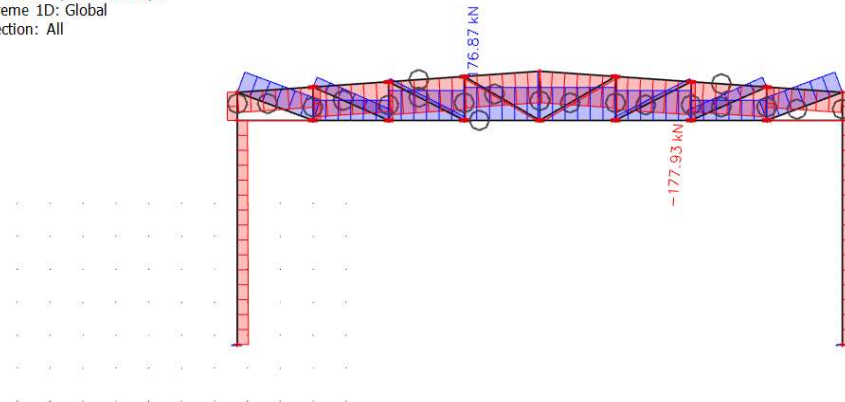
Linear calculation

Combination: 1,0(LC1+G)+1,5W1

Coordinate system: Principal

Extreme 1D: Global

Selection: All



Slika 4.9. Dijagram uzdužnih sila za kombinaciju 3

4.1.4 KOMBINACIJA 1.35(LG1+G) + 1.35(S+W2)

1D internal forces

Values: **M_y**

Linear calculation

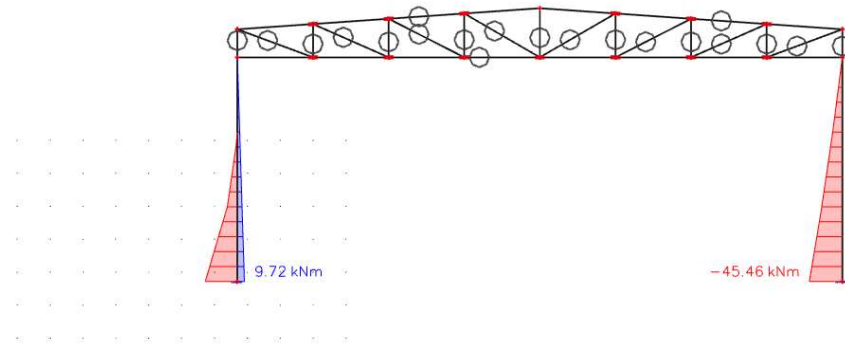
Combination:

1,35(LC1+G)+1,35(S+W2)

Coordinate system: Principal

Extreme 1D: Global

Selection: All



Slika 4.10. Momentni dijagram za kombinaciju 4

1D internal forces

Values: V_z

Linear calculation

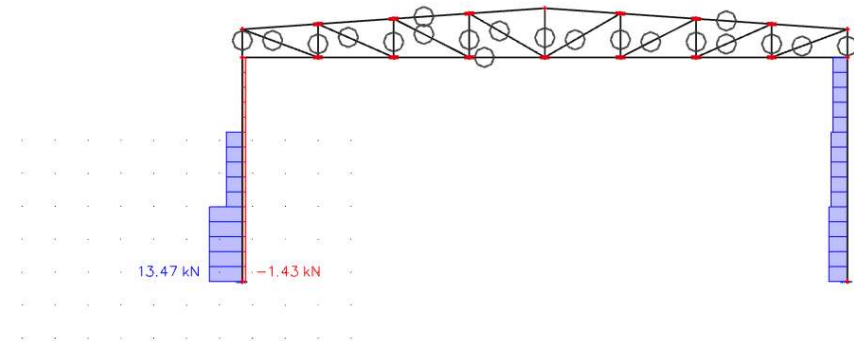
Combination:

1,35(LC1+G)+1,35(S+W2)

Coordinate system: Principal

Extreme 1D: Global

Selection: All



Slika 4.11. Dijagram poprečnih sila za kombinaciju 4

1D internal forces

Values: N

Linear calculation

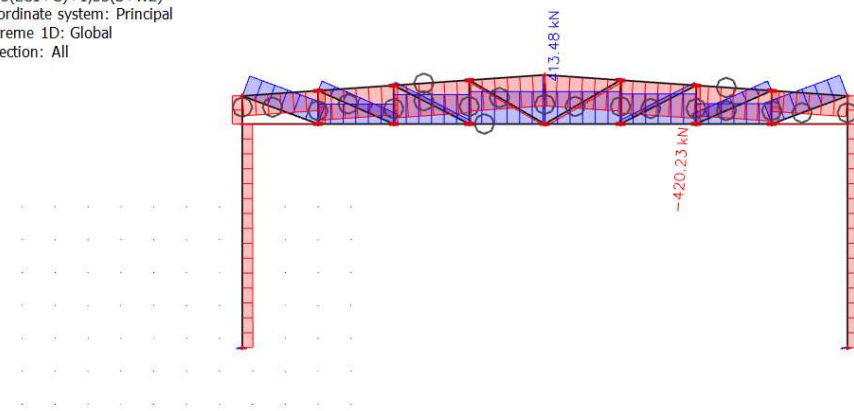
Combination:

1,35(LC1+G)+1,35(S+W2)

Coordinate system: Principal

Extreme 1D: Global

Selection: All

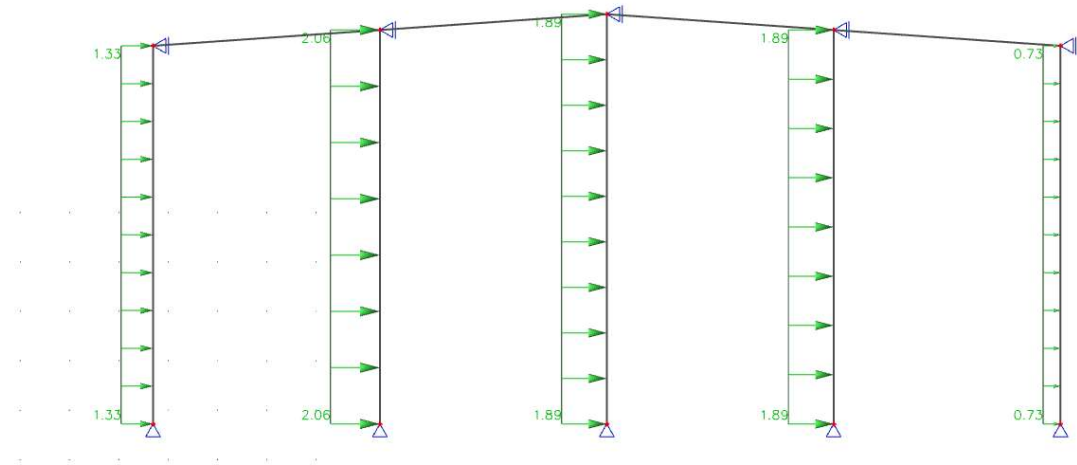


Slika 4.12. Dijagram uzdužnih sila za kombinaciju 4

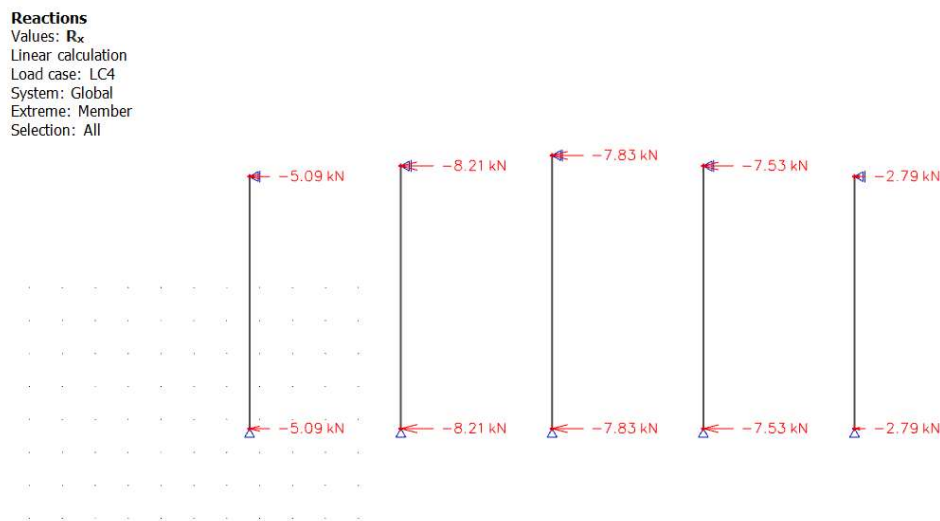
4.2 SEKUNDARNA KONSTRUKCIJA

4.2.1 ZABATNI STUPOVI

Kao mjerodavno djelovanje uzima se pritisak vjetra "W1" na zabat čelične hale.



Slika 4.13. Model zabatnih stupova



Slika 4.14. Reakcije za djelovanje vjetra W1

1D internal forces

Values: M_y

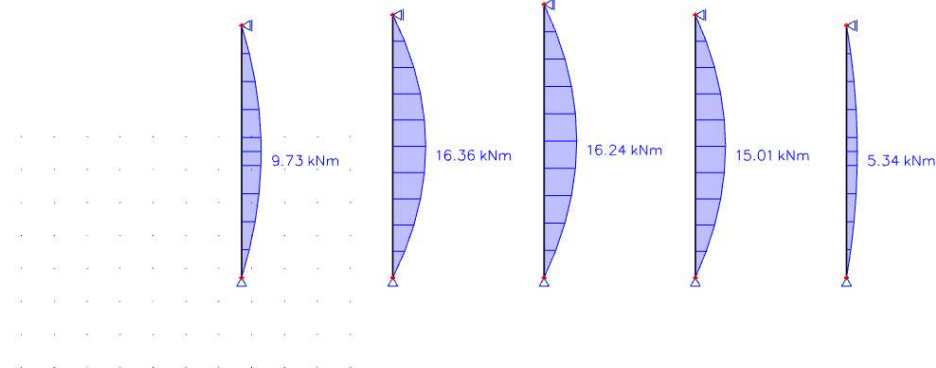
Linear calculation

Load case: LC4

Coordinate system: Principal

Extreme 1D: Member

Selection: All



Slika 4.15. Momentni dijagram za djelovanje vjetra W1

1D internal forces

Values: V_z

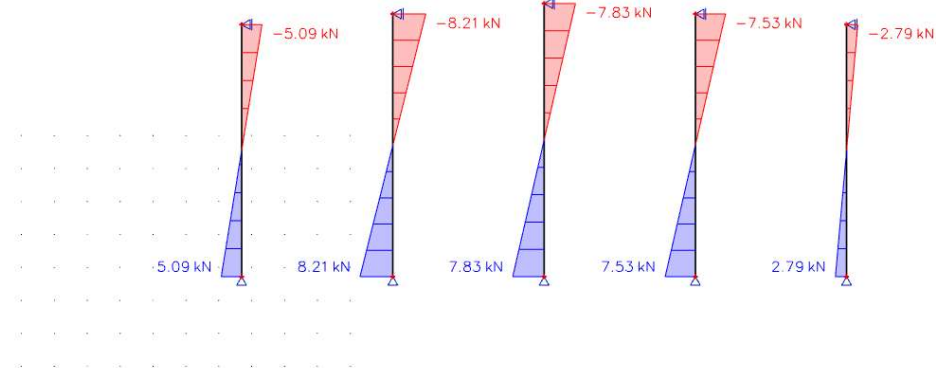
Linear calculation

Load case: LC4

Coordinate system: Principal

Extreme 1D: Member

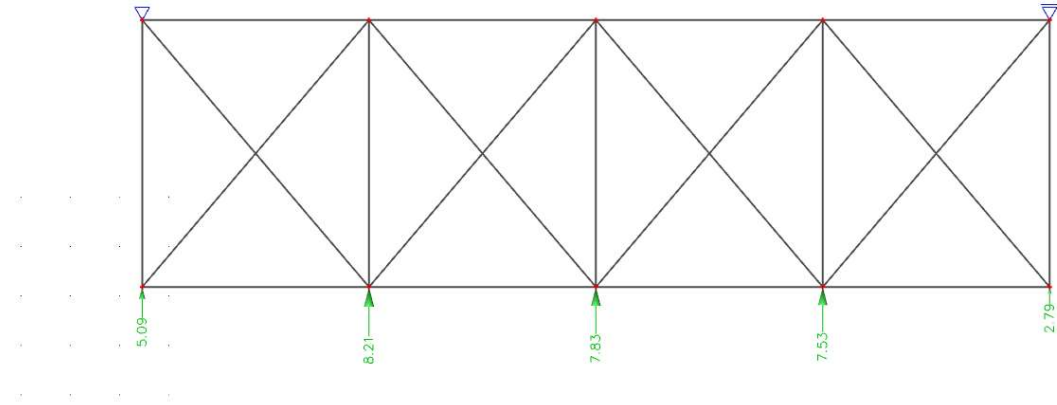
Selection: All



Slika 4.16. Dijagram poprečnih sila za djelovanje vjetra W1

4.2.2 KROVNI (HORIZONTALNI) SPREGOVI

Sile koje djeluju na krovne spregove su prenešene reakcije sa zabatnih stupova.



Slika 4.17. Model krovnog sprega

1D internal forces

Values: **N**

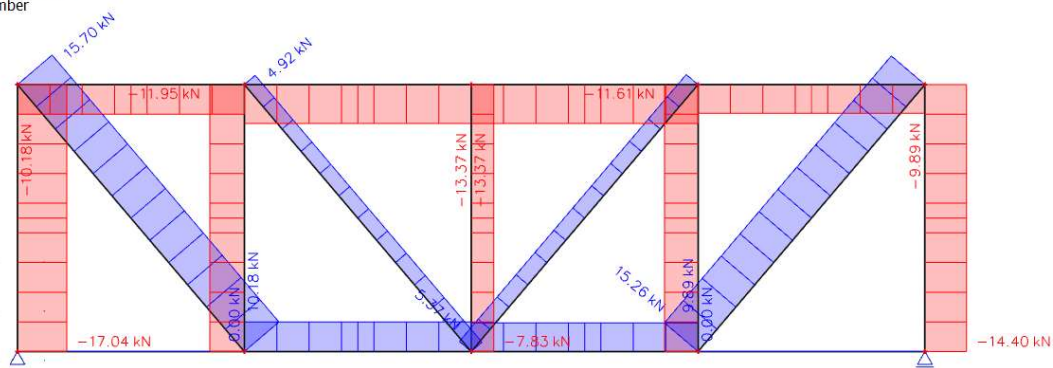
Linear calculation

Load case: LC4

Coordinate system: Principal

Extreme 1D: Member

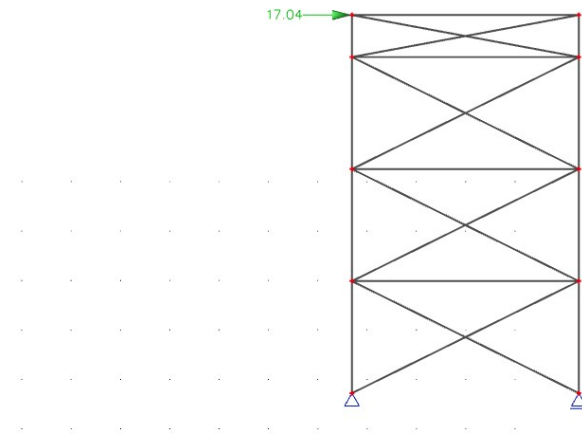
Selection: All



Slika 4.18. Dijagram uzdužnih sila horizontalnog sprega

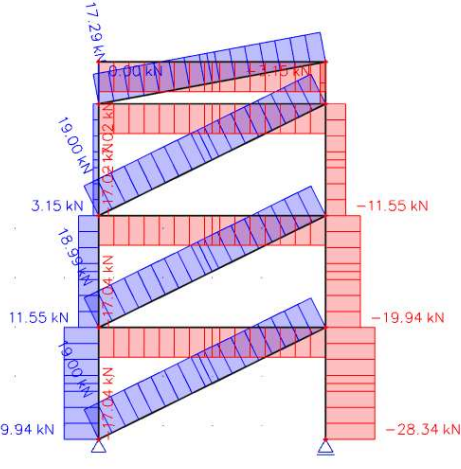
4.2.3 BOČNI (VERTIKALNI) SPREGOVI

Sile koje djeluju na krovne spregove su prenešene reakcije od djelovanja na krovne spregove.



Slika 4.17. Model bočnog sprega

1D internal forces
Values: **N**
Linear calculation
Load case: LC4
Coordinate system: Member
Extreme 1D: Member
Selection: All



Slika 4.18. Dijagram uzdužnih sila vertikalnog sprega

4.2.4 KROVNE PODROŽNICE

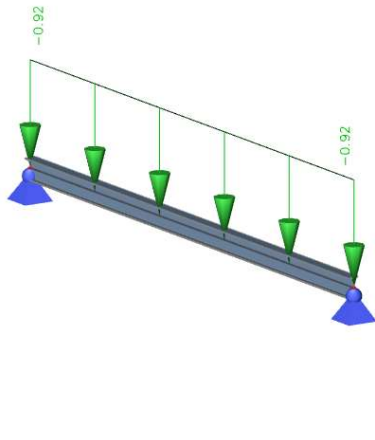
Krovne podrožnice su duljine 5,4 m. Nalaze se na osnovu razmaku od 2,3 m i pod kutom su od $\alpha=4^\circ$. Djelovanja na krovnu podrožnicu su sljedeća:

Dodatno stalno opterećenje: $G = 0,4 \text{ kN/m}^2 \cdot 2,305 \text{ m} = 0,92 \text{ kN/m}'$

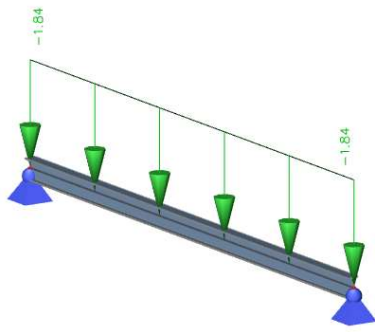
Snijeg: $S = 0,80 \text{ kN/m}^2 \cdot 2,305 \text{ m} = 1,84 \text{ kN/m}'$

Vjetar W1: $W1 = 0,82 \text{ kN/m}^2 \cdot 2,305 \text{ m} = 1,89 \text{ kN/m}'$

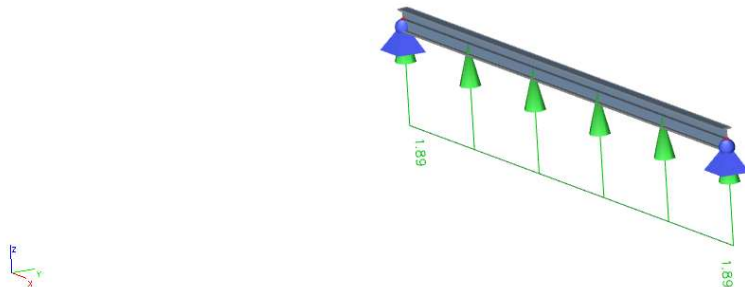
Vjetar W2: $W2 = 0,20 \text{ kN/m}^2 \cdot 2,305 \text{ m} = 0,46 \text{ kN/m}'$



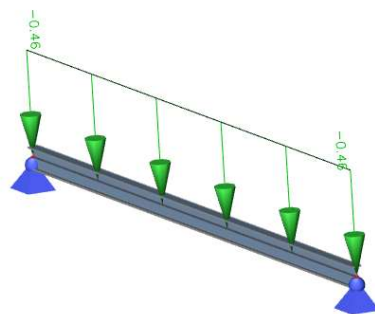
Slika 4.19. Model krovne podrožnice za djelovanje G



Slika 4.20. Model krovne podrožnice za djelovanje S



Slika 4.21. Model krovne podrožnice za djelovanje W1

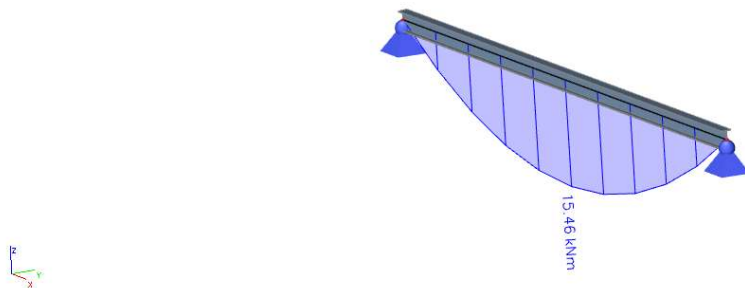


Slika 4.22. Model krovne podrožnice za djelovanje W2

1. KOMBINACIJA 1.35(LG1+G) + 1.5S

1D internal forces

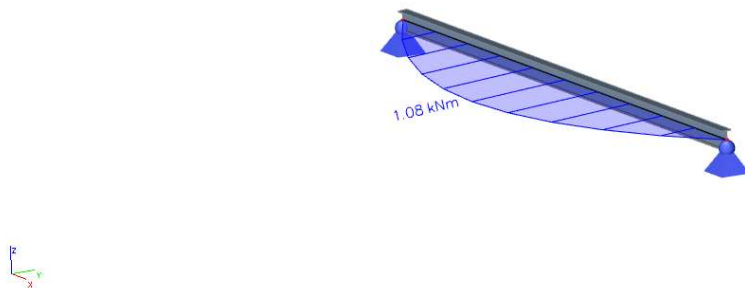
Values: M_y
Linear calculation
Combination: 1,35(LC1+G)+1,5S
Coordinate system: Principal
Extreme 1D: Global
Selection: All



Slika 4.23. Momentni dijagram M_y za kombinaciju 1

1D internal forces

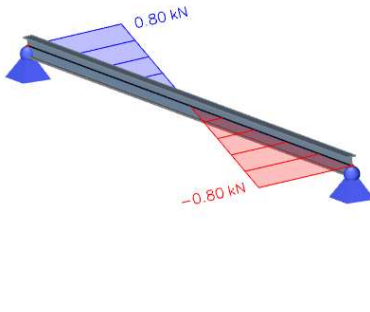
Values: M_z
Linear calculation
Combination: 1,35(LC1+G)+1,5S
Coordinate system: Principal
Extreme 1D: Global
Selection: All



Slika 4.24. Momentni dijagram M_z za kombinaciju 1

1D internal forces

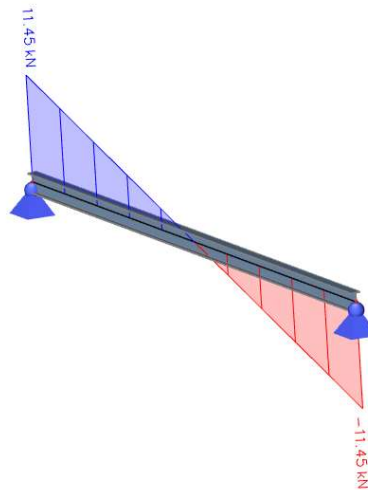
Values: V_y
Linear calculation
Combination: 1,35(LC1+G)+1,5S
Coordinate system: Principal
Extreme 1D: Global
Selection: All



Slika 4.25. Dijagram poprečnih sila V_y za kombinaciju 1

1D internal forces

Values: V_z
Linear calculation
Combination: 1,35(LC1+G)+1,5S
Coordinate system: Principal
Extreme 1D: Global
Selection: All



Slika 4.26. Dijagram poprečnih sila V_z za kombinaciju 1

2. KOMBINACIJA 1,35(LG1+G) + 1,5W2

1D internal forces

Values: M_y

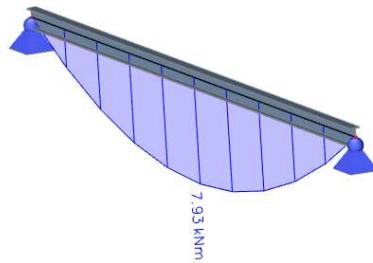
Linear calculation

Combination: 1,35(LC1+G)+1,5W2

Coordinate system: Principal

Extreme 1D: Global

Selection: All



Slika 4.27. Momentni dijagram M_y za kombinaciju 2

1D internal forces

Values: M_z

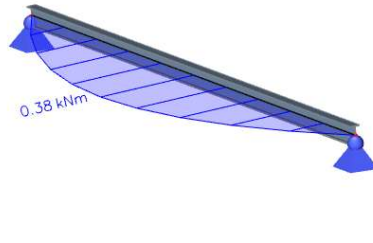
Linear calculation

Combination: 1,35(LC1+G)+1,5W2

Coordinate system: Principal

Extreme 1D: Global

Selection: All



Slika 4.28. Momentni dijagram M_z za kombinaciju 2

1D internal forces

Values: V_y

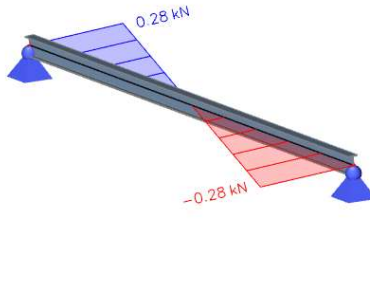
Linear calculation

Combination: 1,35(LC1+G)+1,5W2

Coordinate system: Principal

Extreme 1D: Global

Selection: All



Slika 4.29. Dijagram poprečnih sila V_y za kombinaciju 2

1D internal forces

Values: V_z

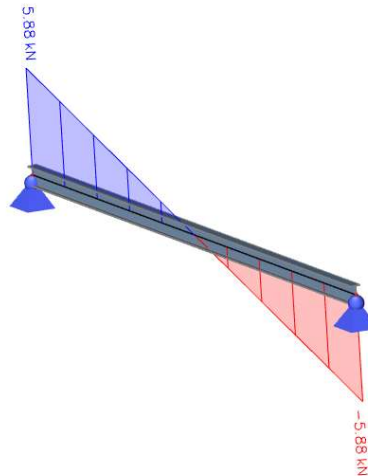
Linear calculation

Combination: 1,35(LC1+G)+1,5W2

Coordinate system: Principal

Extreme 1D: Global

Selection: All



Slika 4.30. Dijagram poprečnih sila V_z za kombinaciju 2

3. KOMBINACIJA 1.0(LG1+G) + 1.5W1

1D internal forces

Values: M_y

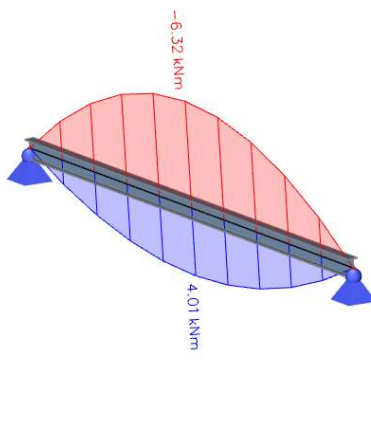
Linear calculation

Combination: 1,0(LC1+G)+1,5W1

Coordinate system: Principal

Extreme 1D: Global

Selection: All



Slika 4.31. Momentni dijagram M_y za kombinaciju 3

1D internal forces

Values: M_z

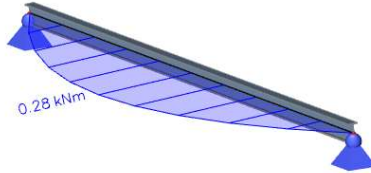
Linear calculation

Combination: 1,0(LC1+G)+1,5W1

Coordinate system: Principal

Extreme 1D: Global

Selection: All



Slika 4.32. Momentni dijagram M_z za kombinaciju 3

1D internal forces

Values: V_y

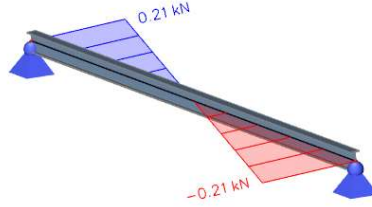
Linear calculation

Combination: 1,0(LC1+G)+1,5W1

Coordinate system: Principal

Extreme 1D: Global

Selection: All



Slika 4.33. Dijagram poprečnih sila V_y za kombinaciju 3

1D internal forces

Values: V_z

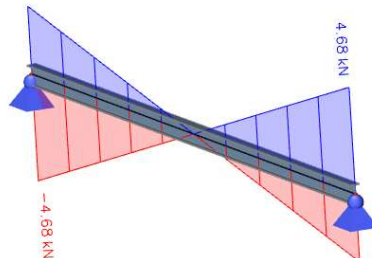
Linear calculation

Combination: 1,0(LC1+G)+1,5W1

Coordinate system: Principal

Extreme 1D: Global

Selection: All

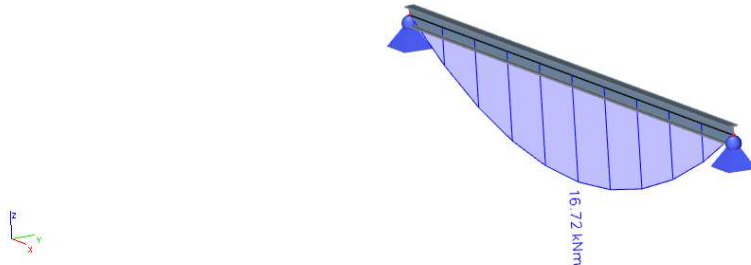


Slika 4.34. Dijagram poprečnih sila V_z za kombinaciju 3

4. KOMBINACIJA 1.35(LG1+G) + 1.35(S+W2)

1D internal forces

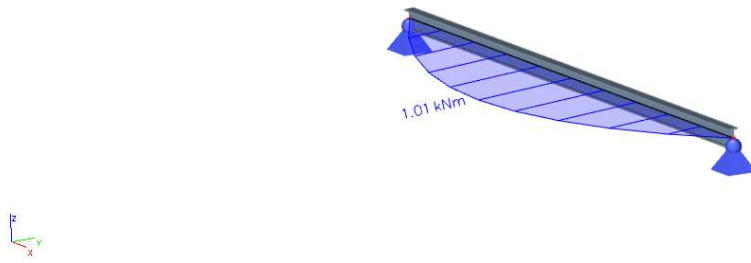
Values: M_y
Linear calculation
Combination:
 $1.35(LC1+G)+1.35(S+W2)$
Coordinate system: Principal
Extreme 1D: Global
Selection: All



Slika 4.35. Momentni dijagram M_y za kombinaciju 4

1D internal forces

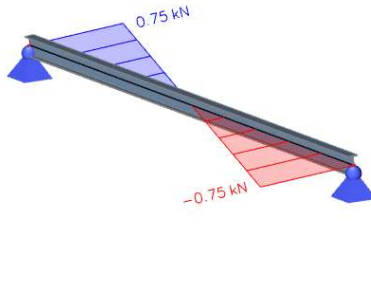
Values: M_z
Linear calculation
Combination:
 $1.35(LC1+G)+1.35(S+W2)$
Coordinate system: Principal
Extreme 1D: Global
Selection: All



Slika 4.36. Momentni dijagram M_z za kombinaciju 4

1D internal forces

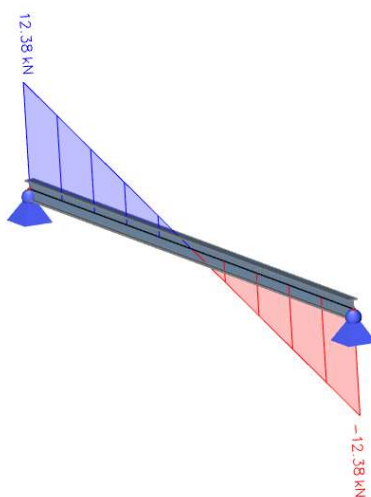
Values: V_y
Linear calculation
Combination:
 $1,35(LC1+G)+1,35(S+W2)$
Coordinate system: Principal
Extreme 1D: Global
Selection: All



Slika 4.37. Dijagram poprečnih sila V_y za kombinaciju 4

1D internal forces

Values: V_z
Linear calculation
Combination:
 $1,35(LC1+G)+1,35(S+W2)$
Coordinate system: Principal
Extreme 1D: Global
Selection: All



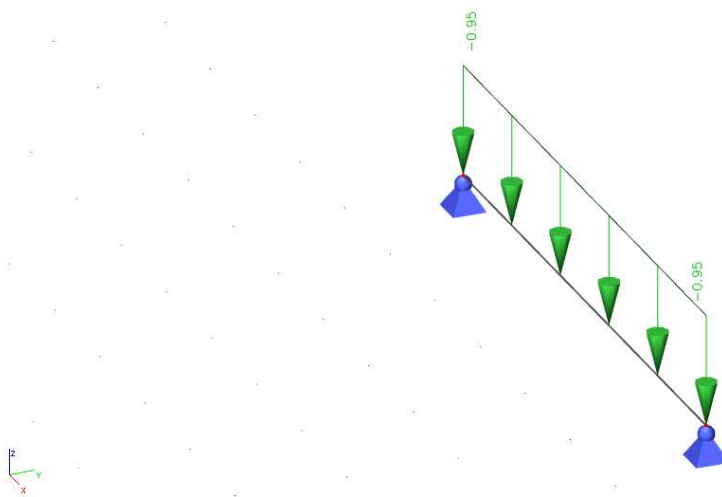
Slika 4.38. Dijagram poprečnih sila V_z za kombinaciju 4

4.2.5 BOČNE PODROŽNICE

Opterećenje bočne podrožnice vjetrom je uzeto za područje D i pritisak na vertikalne zidove koji iznosi $w_k=0,42 \text{ kN/m}^2$.

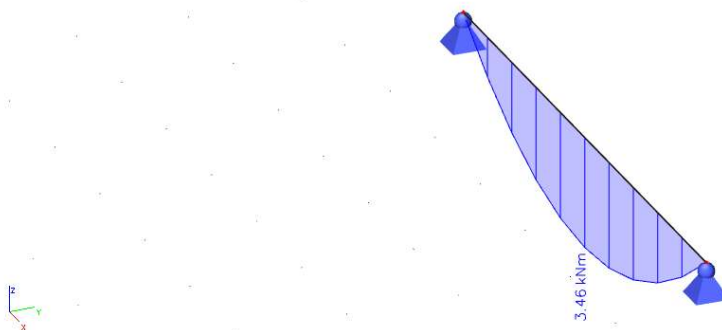
$$W_k = w_k \cdot n = 0,42 \text{ kN/m}^2 \cdot 2,266\text{m} = 0,95 \text{ kN/m}$$

n - razmak između bočnih podrožnica

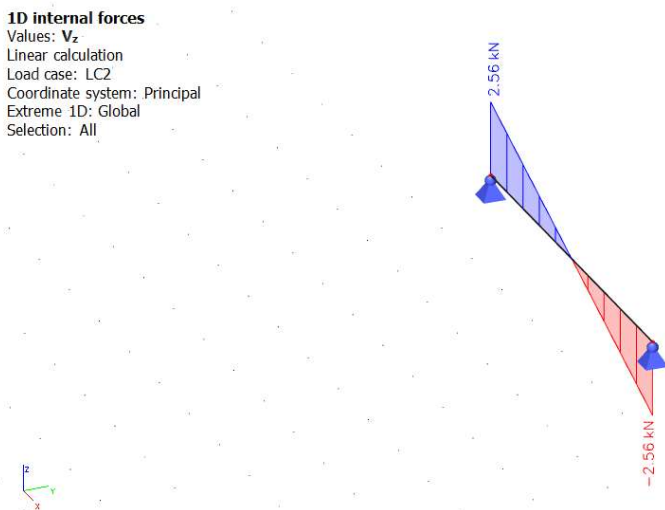


Slika 4.19. Model bočne podrožnice

1D internal forces
Values: M_y
Linear calculation
Load case: LC2
Coordinate system: Principal
Extreme 1D: Global
Selection: All



Slika 4.20. Momentni dijagram bočne podrožnice

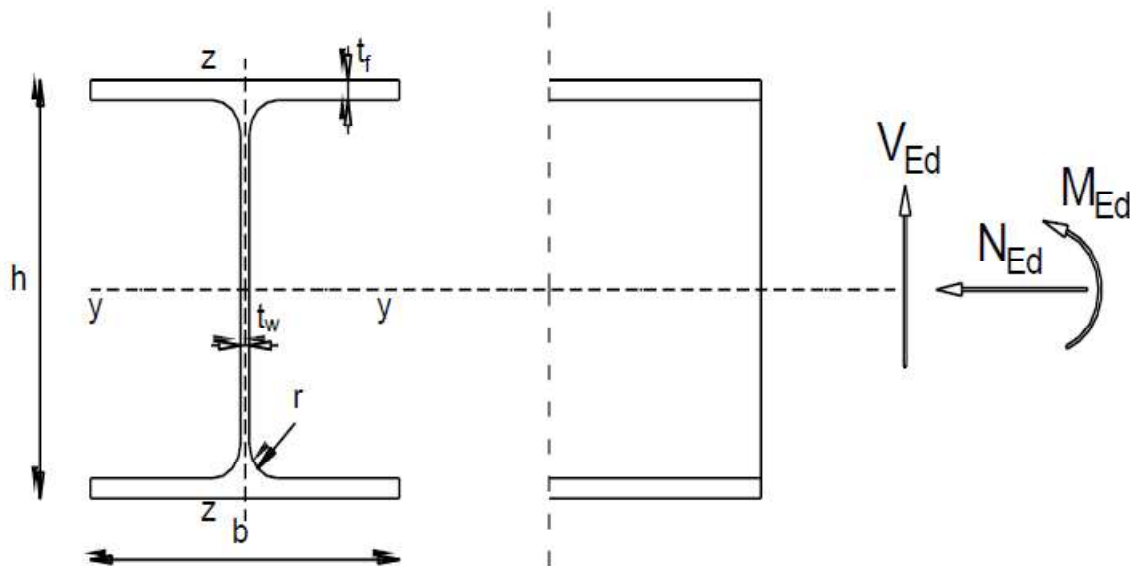


Slika 4.21. Dijagram poprečnih sila bočne podrožnice

5. DIMENZIONIRANJE KONSTRUKCIJE

5.1. GLAVNA NOSIVA KONSTRUKCIJA

5.1.1. DIMENZIONIRANJE STUPA



Slika 5.1. Poprečni presjek stupa

Karakteristike presjeka			
Profil:	HEA 260	Moment tromosti:	$I_y = 10\ 500 \text{ cm}^4$
Tip presjeka:	Valjani		$I_z = 3\ 670 \text{ cm}^4$
Visina presjeka:	$h = 250 \text{ mm}$	Moment otpora:	$W_{pl,y} = 920.83 \text{ cm}^3$
Širina presjeka:	$b = 260 \text{ mm}$	Konstanta krivljenja:	$W_{pl,z} = 429.17 \text{ cm}^3$
Debljina pojasnice:	$t_f = 13 \text{ mm}$	Torzijska konstanta:	$I_w = 516\ 350 \text{ cm}^6$
Debljina hrpta:	$t_w = 8 \text{ mm}$		$I_t = 52.4 \text{ cm}^4$
Radijus:	$r = 24 \text{ mm}$		
Površina:	$A = 86.8 \text{ cm}^2$		
Ulagani podaci (rezne sile)		Materijal S235	$f_y = 235 \text{ N/mm}^2$
$M_{y,Ed} =$	49.88 kNm		$\varepsilon = 1.0$
$V_{z,Ed} =$	15.06 kN		$E = 210\ 000 \text{ N/mm}^2$
$N_{Ed} =$	-80.85 kN		$v = 0.3$

Tablica 5.1. Karakteristike poprečnog presjeka stupa

KLASIFIKACIJA POPREČNOG PRESJEKA

Hrbat:

$$d = h - 2 \cdot t_f - 2 \cdot r = 250 - 2 \cdot 13 - 2 \cdot 24 = 176 \text{ mm}$$

$$\frac{d}{t_w} = \frac{176}{8} = 22$$

$$a = \frac{N_{Ed}}{2 \cdot t_w \cdot f_y / \gamma_{M0}} = \frac{80.85}{2 \cdot 0.8 \cdot 23.5 / 1.0} = 2.15 \text{ cm}$$

$$\alpha = \frac{1}{d} \cdot \left(\frac{d}{2} + a \right) = \frac{1}{17.6} \cdot \left(\frac{17.6}{2} + 2.15 \right) = 0.622$$

$$\frac{d}{t_w} = 22 < \frac{396 \cdot \varepsilon}{13 \cdot \alpha - 1} = \frac{396 \cdot 1}{13 \cdot 0.622 - 1} = 55.88$$

-> HRBAT ZADOVOLJAVA KLASU 1

Pojasnice:

$$c = \frac{b - t_w - 2 \cdot r}{2} = \frac{260 - 8 - 2 \cdot 24}{2} = 102$$

$$\frac{c}{t_f} = \frac{102}{13} = 7.85 < 9 \cdot \varepsilon = 9 \cdot 1 = 9$$

-> POJASNICA ZADOVOLJAVA KLASU 1

POPREČNI PRESJEK JE SVRSTAN U KLASU 1.

OTPORNOST POPREČNOG PRESJEKA

Otpornost poprečnog presjeka izloženog tlačnoj sili

$$N_{c,Rd} = N_{pl,Rd} = \frac{A \cdot f_y}{\gamma_{M0}} = \frac{86.8 \cdot 23.5}{1.0} = 2039.80 \text{ kN}$$

$$N_{Ed} = 80.85 \text{ kN} < N_{c,Rd} = 2039.80 \text{ kN}$$

Otpornost poprečnog presjeka izloženog momentu savijanja

$$M_{c,Rd} = M_{pl,Rd} = \frac{W_{pl} \cdot f_y}{\gamma_{M0}} = \frac{920.83 \cdot 23.5}{1.0} = 21639.51 \text{ kNm} = 216.40 \text{ kNm}$$

$$M_{y,Ed} = 49.88 \text{ kNm} < M_{c,Rd} = 216.40 \text{ kNm}$$

Posmična otpornost poprečnog presjeka

$$\frac{h_w}{t_w} = \frac{h - 2 \cdot t_f}{t_w} = \frac{250 - 2 \cdot 13}{8} = 28$$

$$\frac{h_w}{t_w} = 28 < 72 \cdot \frac{\varepsilon}{\eta} = 72 \cdot \frac{1.0}{1.2} = 60$$

-> Nije potrebna provjera izbočavanja hrpta na posmik

$$A_{v,z} = A - 2 \cdot b \cdot t_f + (t_w + 2 \cdot r) \cdot t_f \geq \eta \cdot h_w \cdot t_w$$

$$A_{v,z} = 86.8 - 2 \cdot 26 \cdot 1.3 + (0.8 + 2 \cdot 2.4) \cdot 1.3 = 26.48$$

$$A_{v,z} = 26.48 \text{ cm}^2 > 1.2 \cdot 22.4 \cdot 0.8 = 21.50 \text{ cm}^2$$

$$V_{pl,z,Rd} = \frac{A_{v,z}(f_y/\sqrt{3})}{\gamma_{M0}} = \frac{26.48 \cdot (23.5/\sqrt{3})}{1.0} = 359.27 \text{ kN}$$

$$V_{z,Ed} = 15.06 \text{ kN} < V_{pl,z,Rd} = 359.27 \text{ kN}$$

INTERAKCIJA M-V-N

Presjek u x=0 m:

$$M_{Ed} = 49.88 \text{ kNm}$$

$$V_{z,Ed} = 15.06 \text{ kN}$$

$$N_{Ed} = 80.85 \text{ kN}$$

$$0.5 \cdot V_{Rd} = 0.5 \cdot 359.27 = 179.64 \text{ kN} > V_{Ed} = 15.06 \text{ kN}$$

-> Nema redukcije otpornosti na savijanje od poprečne sile

$$0.25 \cdot N_{Rd} = 0.25 \cdot 2039.80 = 509.95 \text{ kN} > N_{Ed} = 80.85 \text{ kN}$$

$$\frac{d \cdot t \cdot f_y}{2 \cdot \gamma_{M0}} = \frac{17.6 \cdot 0.8 \cdot 23.5}{2 \cdot 1} = 165.44 \text{ kN} > N_{Ed} = 80.85 \text{ kN}$$

-> Nema redukcije otpornosti na savijanje (niska razina uzdužne sile)

OTPORNOST ELEMENTA IZLOŽENOG MOMENTU SAVIJANJA I UZDUŽNOJ SILI

Otpornost elementa na izvijanje

$$N_{cr} = \frac{\pi^2 \cdot EI}{L_{cr}^2}$$

$$\bar{\lambda} = \sqrt{\frac{A \cdot f_y}{N_{cr}}}$$

$$\Phi = 0.5 [1 + \alpha(\bar{\lambda} - 0.2) + \bar{\lambda}^2]$$

$$\chi = \frac{1}{\Phi + \sqrt{\Phi^2 - \bar{\lambda}^2}} \leq 1.0$$

$$N_{b,Rd} = \frac{\chi \cdot A \cdot f_y}{\gamma_{M1}}$$

Os y-y (valjani profil -> krivulja izvijanja: b; $\alpha=0.34$)

$$L_{cr} = 2 \cdot 680 \text{ cm} = 1360 \text{ cm}$$

$$N_{cr} = \frac{\pi^2 \cdot 21000 \cdot 10500}{1360^2} = 1176.60 \text{ kN}$$

$$\bar{\lambda}_y = \sqrt{\frac{86.80 \cdot 23.5}{1176.60}} = 1.317$$

$$\Phi_y = 0.5 [1 + 0.34(1.317 - 0.2) + 1.317^2] = 1.557$$

$$\chi_y = \frac{1}{1.557 + \sqrt{1.557^2 - 1.317^2}} = 0.419 \leq 1.0$$

$$N_{b,Rd} = \frac{0.419 \cdot 86.8 \cdot 23.5}{1} = 854.68 \text{ kN}$$

Os z-z (valjani profil -> krivulja izvijanja: c; $\alpha=0.49$)

$$L_{cr} = \frac{1}{3} \cdot 680 \text{ cm} = 226.67 \text{ cm}$$

$$N_{cr} = \frac{\pi^2 \cdot 21000 \cdot 10500}{226.67^2} = 42356.52 \text{ kN}$$

$$\bar{\lambda}_z = \sqrt{\frac{86.80 \cdot 23.5}{42356.52}} = 0.219$$

$$\Phi_z = 0.5 [1 + 0.49(0.219 - 0.2) + 0.219^2] = 0.529$$

$$\chi_z = \frac{1}{0.529 + \sqrt{0.529^2 - 0.219^2}} = 0.99 \leq 1.0$$

$$N_{b,Rd} = \frac{0.99 \cdot 86.8 \cdot 23.5}{1} = 2019.40 \text{ kN}$$

Mjerodavna je manja vrijednost:

$$N_{b,Rd} = 854.68 \text{ kN} > N_{Ed} = 80.85 \text{ kN}$$

Otpornost elementa na bočno izvijanje

$$z_g = \frac{h}{2} = \frac{26}{2} = 13 \text{ cm}$$

$$M_{cr} = C_1 \cdot \frac{\pi^2 \cdot E \cdot I_z}{(k \cdot L)^2} \cdot \left[\sqrt{\left(\frac{k}{k_w}\right)^2 \cdot \frac{I_w}{I_z} + \frac{(k \cdot L)^2 \cdot G \cdot I_t}{\pi^2 \cdot E \cdot I_z} + (C_2 \cdot z_g)^2} - C_2 \cdot z_g \right]$$

$$\bar{\lambda}_{LT} = \sqrt{\frac{W_y \cdot f_y}{M_{cr}}} > \bar{\lambda}_{LT,0} = 0.4$$

$$\Phi_{LT} = 0.5 \left[1 + \alpha_{LT} (\bar{\lambda}_{LT} - 0.2) + \bar{\lambda}_{LT}^2 \right]$$

$$\chi_{LT} = \frac{1}{\Phi_{LT} + \sqrt{\Phi_{LT}^2 - \bar{\lambda}_{LT}^2}} \leq 1.0$$

$$M_{b,Rd} = \frac{\chi_{LT} \cdot W_y \cdot f_y}{\gamma_{M1}}$$

$$k = 1.0$$

$$k_w = 1.0$$

$$\psi = 0 \longrightarrow C_1 = 1.77; C_2 = 0$$

$$G = 8077 \text{ kN/cm}^2$$

$$L_{cr} = 2 \cdot 680 = 1360 \text{ cm}$$

$$\frac{h}{b} = \frac{250}{260} = 0.96 < 2 \longrightarrow \text{krivulja izvijanja : a}$$

$$\alpha_{LT} = 0.21$$

$$M_{cr} = 1.77 \cdot \frac{\pi^2 \cdot 21000 \cdot 3670}{(1 \cdot 1360)^2} \cdot \left[\sqrt{\left(\frac{1}{1}\right)^2 \cdot \frac{516350}{3670} + \frac{(1 \cdot 1360)^2 \cdot 8077 \cdot 52.4}{\pi^2 \cdot 21000 \cdot 3670} + (0 \cdot 13)^2} - 0 \cdot 13 \right]$$

$$M_{cr} = 24896.75 \text{ kNm} = 248.98 \text{ kNm}$$

$$\bar{\lambda}_{LT} = \sqrt{\frac{920.83 \cdot 23.5}{24896.75}} = 0.93 > \bar{\lambda}_{LT,0} = 0.4$$

$$\Phi_{LT} = 0.5[1 + 0.21 \cdot (0.93 - 0.2) + 0.93^2] = 1$$

$$\chi_{LT} = \frac{1}{1 + \sqrt{1^2 - 0.93^2}} = 0.73 \leq 1.0$$

$$M_{b,Rd} = \frac{0.73 \cdot 920.83 \cdot 23.5}{1} = 157.99 \text{ kNm}$$

$$M_{b,Rd} = 157.99 \text{ kNm} > M_{Ed} = 49.88 \text{ kNm}$$

Otpornost elementa na interakciju M-N

$$\frac{N_{Ed}}{\chi_y \cdot N_{Rk} / \gamma_{M1}} + k_{yy} \cdot \frac{M_{y,Ed}}{\chi_{LT} \cdot M_{y,Rk} / \gamma_{M1}} \leq 1.0$$

$$\frac{N_{Ed}}{\chi_y \cdot N_{Rk} / \gamma_{M1}} + k_{zy} \cdot \frac{M_{y,Ed}}{\chi_{LT} \cdot M_{y,Rk} / \gamma_{M1}} \leq 1.0$$

$$\text{Za } \psi = 0 \longrightarrow C_{mi} = 0.6 + 0.4 \cdot \psi \geq 0.4$$

$$C_{my} = 0.6; C_{mz} = 0.6; C_{mLT} = 0.6$$

$$k_{yy} = C_{my} \left(1 + (\bar{\lambda}_y - 0.2) \cdot \frac{N_{Ed}}{\chi_y \cdot N_{Rk} / \gamma_{M1}} \right) \leq C_{my} \left(1 + 0.8 \cdot \frac{N_{Ed}}{\chi_y \cdot N_{Rk} / \gamma_{M1}} \right)$$

$$k_{zy} = \left[1 - \frac{0.1 \cdot \bar{\lambda}_z}{(C_{mLT} - 0.25)} \cdot \frac{N_{Ed}}{\chi_z \cdot N_{Rk} / \gamma_{M1}} \right] \geq \left[1 - \frac{0.1}{(C_{mLT} - 0.25)} \cdot \frac{N_{Ed}}{\chi_z \cdot N_{Rk} / \gamma_{M1}} \right]$$

$$k_{yy} = 0.6 \left(1 + (1.317 - 0.2) \cdot \frac{80.85}{0.419 \cdot 2039.80 / 1} \right) = 0.66 \leq 0.6 \left(1 + 0.8 \cdot \frac{80.85}{0.419 \cdot 2039.80 / 1} \right) = 0.64$$

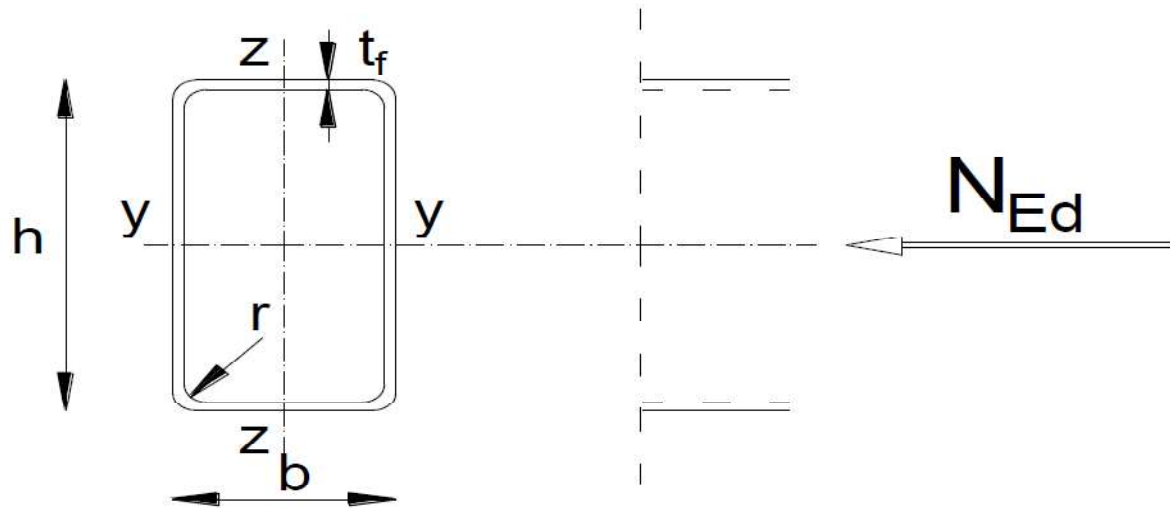
$$k_{zy} = \left[1 - \frac{0.1 \cdot 0.219}{(0.6 - 0.25)} \cdot \frac{80.85}{0.99 \cdot 2039.80 / 1} \right] = 0.99 \geq \left[1 - \frac{0.1}{(0.6 - 0.25)} \cdot \frac{80.85}{0.99 \cdot 2039.80 / 1} \right] = 0.98$$

$$\frac{80.85}{0.419 \cdot 2039.8 / 1.0} + 0.64 \cdot \frac{49.88}{0.73 \cdot 216.40 / 1} = 0.30 \leq 1.0$$

$$\frac{80.85}{0.419 \cdot 2039.8 / 1.0} + 0.98 \cdot \frac{49.88}{0.73 \cdot 216.40 / 1} = 0.43 \leq 1.0$$

Profil HEA260, kvalitete čelika S235 zadovoljava GSN sa iskoristivosti $\eta=43\%$. Iako je mala iskoristivost prema GSN, prema GSU iskoristivost je $\eta=92\%$, stoga prihvaćamo ovaj profil.

5.1.2. DIMENZIONIRANJE GORNJEG POJASA



Slika 5.2. Poprečni presjek gornjeg pojasa

Karakteristike presjeka			
Profil:	CFRHS140X140X8.8	Moment tromosti:	$I_y = 1205 \text{ cm}^4$
Tip presjeka:	Valjani		$I_z = 1205 \text{ cm}^4$
Visina presjeka:	$h = 140 \text{ mm}$	Moment otpora:	$W_{el,y} = 172.15 \text{ cm}^3$
Širina presjeka:	$b = 140 \text{ mm}$		$W_{el,z} = 172.15 \text{ cm}^3$
Debljina pojasnice:	$t = 8.8 \text{ mm}$	Konstanta krivljenja:	$I_w = 2055.4 \text{ cm}^6$
Debljina hrpta:	$t = 8.8 \text{ mm}$	Torzijska konstanta:	$I_t = 39440 \text{ cm}^4$
Radijus:	$r = 22 \text{ mm}$		
Površina:	$A = 43.52 \text{ cm}^2$		
Ulazni podaci (rezne sile)		Materijal S235	$f_y = 235 \text{ N/mm}^2$
$N_{Ed} =$	-434.44 kN		$\epsilon = 1.0$
			$E = 210\,000 \text{ N/mm}^2$
			$v = 0.3$

Tablica 5.2. Karakteristike poprečnog presjeka gornjeg pojasa

KLASIFIKACIJA POPREČNOG PRESJEKA

Hrbat:

$$d = h - 3 \cdot t = 140 - 3 \cdot 8.8 = 113.6 \text{ mm}$$

$$\frac{d}{t} = \frac{113.6}{8.8} = 12.9$$

$$\frac{d}{t} = 12.9 < 33 \cdot \varepsilon = 33 \cdot 1 = 33$$

-> HRBAT ZADOVOLJAVA KLASU 1

Pojasnice:

$$c = h - 3 \cdot t = 140 - 3 \cdot 6 = 113.6 \text{ mm}$$

$$\frac{c}{t} = \frac{113.6}{8.8} = 12.9$$

$$\frac{c}{t} = 12.9 < 14 \cdot \varepsilon = 14 \cdot 1 = 14$$

-> POJASNICA ZADOVOLJAVA KLASU 3

POPREČNI PRESJEK JE SVRSTAN U KLASU 3.

OTPORNOST POPREČNOG PRESJEKA

Otpornost poprečnog presjeka izloženog tlačnoj sili

$$N_{c,Rd} = N_{pl,Rd} = \frac{A \cdot f_y}{\gamma_{M0}} = \frac{43.52 \cdot 23.5}{1.0} = 1022.72 \text{ kN}$$

$$N_{Ed} = 434.44 \text{ kN} < N_{c,Rd} = 1022.72 \text{ kN}$$

OTPORNOST ELEMENTA IZLOŽENOG UZDUŽNOJ SILI

Otpornost elementa na izvijanje

$$N_{cr} = \frac{\pi^2 \cdot EI}{L_{cr}^2}$$

$$\bar{\lambda} = \sqrt{\frac{A \cdot f_y}{N_{cr}}}$$

$$\Phi = 0.5 [1 + \alpha(\bar{\lambda} - 0.2) + \bar{\lambda}^2]$$

$$\chi = \frac{1}{\Phi + \sqrt{\Phi^2 - \bar{\lambda}^2}} \leq 1.0$$

$$N_{b,Rd} = \frac{\chi \cdot A \cdot f_y}{\gamma_{M1}}$$

Krivulja izvijanja: a -> $\alpha=0.21$

Izvijanje oko osi y-y

$$L_{cr} = 230.5 \text{ cm}$$

$$N_{cr} = \frac{\pi^2 \cdot 21000 \cdot 1205}{230.5^2} = 4700.71 \text{ kN}$$

$$\bar{\lambda}_y = \sqrt{\frac{43.52 \cdot 23.5}{4700.71}} = 0.47$$

$$\Phi_y = 0.5 [1 + 0.21(0.47 - 0.2) + 0.47^2] = 0.64$$

$$\chi_y = \frac{1}{0.64 + \sqrt{0.64^2 - 0.47^2}} = 0.93 \leq 1.0$$

$$N_{b,Rd} = \frac{0.93 \cdot 43.52 \cdot 23.5}{1} = 951.13 \text{ kN}$$

Izvijanje oko osi z-z

$$L_{cr} = 461 \text{ cm}$$

$$N_{cr} = \frac{\pi^2 \cdot 21000 \cdot 1205}{461^2} = 1175.18 \text{ kN}$$

$$\bar{\lambda}_z = \sqrt{\frac{43.52 \cdot 23.5}{1175.18}} = 0.93$$

$$\Phi_z = 0.5 [1 + 0.21(0.94 - 0.2) + 0.94^2] = 1.01$$

$$\chi_z = \frac{1}{1.01 + \sqrt{1.01^2 - 0.93^2}} = 0.67 \leq 1.0$$

$$N_{b,Rd} = \frac{0.67 \cdot 48.57 \cdot 23.5}{1} = 685.22 \text{ kN}$$

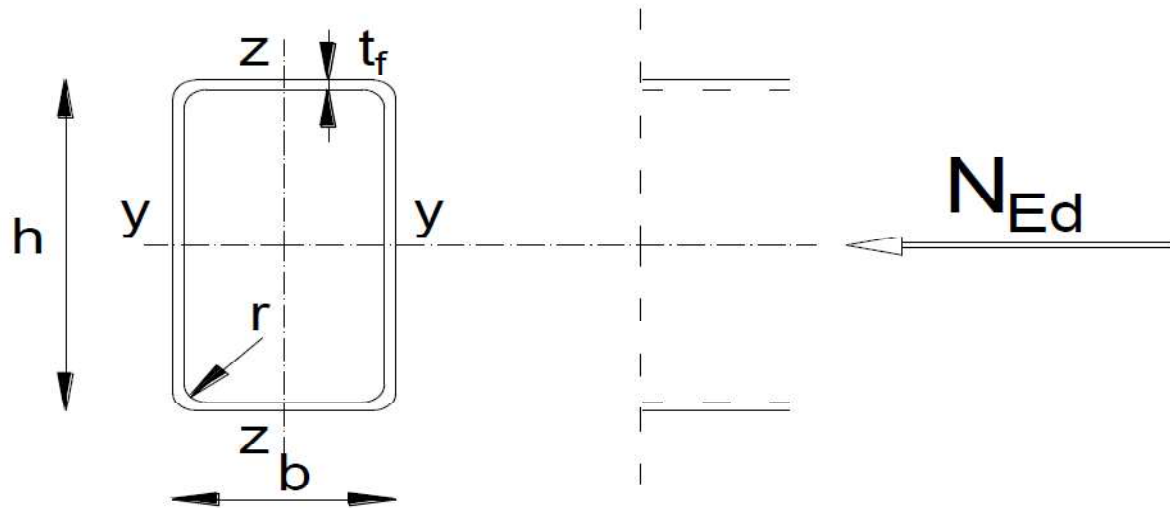
$$N_{b,Rd} = 685.22 \text{ kN} > N_{Ed} = 434.44 \text{ kN}$$

$$\eta = \frac{434.44}{685.22} \cdot 100 = 65\%$$

Profil CFRHS140X140X8.8, kvalitete čelika S235, zadovoljava GSN sa iskoristivosti $\eta=65\%$.
Prema GSU iskoristivost je $\eta=76\%$, stoga prihvaćamo ovaj profil.

Napomena: Gornji pojas je u svim kombinacijama izložen uzdužnoj tlačnoj sili.

5.1.3. DIMENZIONIRANJE DONJEG POJASA



Slika 5.3. Poprečni presjek donjeg pojasa

Karakteristike presjeka			
Profil:	CFRHS140X140X8.8	Moment tromosti:	$I_y = 1205 \text{ cm}^4$
Tip presjeka:	Valjani		$I_z = 1205 \text{ cm}^4$
Visina presjeka:	$h = 140 \text{ mm}$	Moment otpora:	$W_{pl,y} = 209.23 \text{ cm}^3$
Širina presjeka:	$b = 140 \text{ mm}$	Konstanta krivljenja:	$W_{pl,z} = 209.23 \text{ cm}^3$
Debljina pojasnice:	$t = 8.8 \text{ mm}$		$I_w = 2055.4 \text{ cm}^6$
Debljina hrpta:	$t = 8.8 \text{ mm}$	Torzijska konstanta:	$I_t = 39440 \text{ cm}^4$
Radijus:	$r = 22 \text{ mm}$		
Površina:	$A = 43.52 \text{ cm}^2$		
Ulazni podaci (rezne sile)		Materijal S235	$f_y = 235 \text{ N/mm}^2$
$N_{Ed} =$	+432.32 kN		$\epsilon = 1.0$
			$E = 210\,000 \text{ N/mm}^2$
			$v = 0.3$

Tablica 5.3. Karakteristike poprečnog presjeka donjeg pojasa

KLASIFIKACIJA POPREČNOG PRESJEKA

Hrbat:

$$d = h - 3 \cdot t = 140 - 3 \cdot 8.8 = 113.6 \text{ mm}$$

$$\frac{d}{t} = \frac{113.6}{8.8} = 12.9$$

$$\frac{d}{t} = 12.9 < 33 \cdot \varepsilon = 33 \cdot 1 = 33$$

-> HRBAT ZADOVOLJAVA KLASU 1

Pojasnice:

$$c = h - 3 \cdot t = 140 - 3 \cdot 6 = 113.6 \text{ mm}$$

$$\frac{c}{t} = \frac{113.6}{8.8} = 12.9$$

$$\frac{c}{t} = 12.9 < 14 \cdot \varepsilon = 14 \cdot 1 = 14$$

-> POJASNICA ZADOVOLJAVA KLASU 3

POPREČNI PRESJEK JE SVRSTAN U KLASU 3.

OTPORNOST POPREČNOG PRESJEKA

Otpornost poprečnog presjeka izloženog vlačnoj sili

$$N_{t,Rd} = \frac{A \cdot f_y}{\gamma_{M0}} = \frac{43.52 \cdot 23.5}{1.0} = 1022.72 \text{ kN}$$

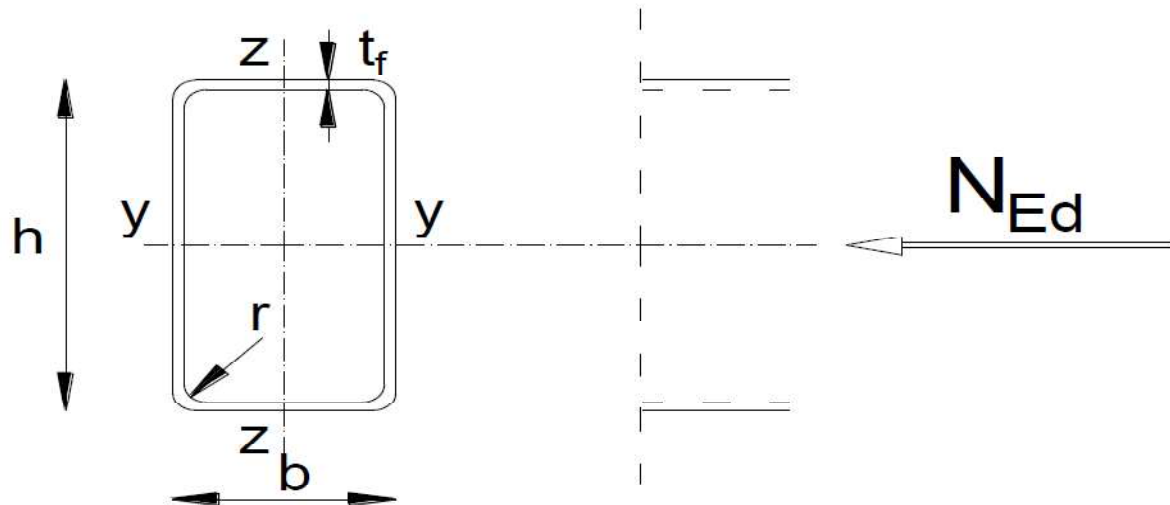
$$N_{Ed} = 432.32 \text{ kN} < N_{t,Rd} = 1022.72 \text{ kN}$$

$$\eta = \frac{432.32}{1022.72} \cdot 100 = 43\%$$

**Profil CFRHS140X140X8.8, kvalitete čelika S235, zadovoljava GSN sa iskoristivosti $\eta=43\%$.
Prema GSU iskoristivost je $\eta=76\%$, stoga prihvaćamo ovaj profil.**

Napomena: Donji pojas je u svim kombinacijama izložen uzdužnoj vlačnoj sili.

5.1.4. DIMENZIONIRANJE VERTIKALA



Slika 5.4. Poprečni presjek vertikala

Karakteristike presjeka			
Profil:	CFRHS60X60X5	Moment tromosti:	$I_y = 50.49 \text{ cm}^4$
Tip presjeka:	Valjani	$I_z = 50.49 \text{ cm}^4$	
Visina presjeka:	$h = 60 \text{ mm}$	$W_{pl,y} = 16.83 \text{ cm}^3$	
Širina presjeka:	$b = 60 \text{ mm}$	$W_{pl,z} = 16.83 \text{ cm}^3$	
Debljina pojasnice:	$t = 5 \text{ mm}$	Konstanta krivljenja:	$I_w = 324.00 \text{ cm}^6$
Debljina hrpta:	$t = 5 \text{ mm}$	Torzijska konstanta:	$I_t = 86.42 \text{ cm}^4$
Radijus:	$r = 10 \text{ mm}$		
Površina:	$A = 10.36 \text{ cm}^2$		
Ulazni podaci (rezne sile)		Materijal S235	$f_y = 235 \text{ N/mm}^2$
$N_{Ed} =$	-133.47 kN		$\epsilon = 1.0$
$N_{Ed} =$	+25.15 kN		$E = 210\,000 \text{ N/mm}^2$
			$v = 0.3$

Tablica 5.4. Karakteristike poprečnog presjeka vertikala

KLASIFIKACIJA POPREČNOG PRESJEKA

Hrbat:

$$d = h - 3 \cdot t = 60 - 3 \cdot 5 = 45 \text{ mm}$$

$$\frac{d}{t} = \frac{45}{5} = 9$$

$$\frac{d}{t} = 9 < 33 \cdot \varepsilon = 33 \cdot 1 = 33$$

-> HRBAT ZADOVOLJAVA KLASU 1

Pojasnice:

$$c = h - 3 \cdot t = 60 - 3 \cdot 5 = 45 \text{ mm}$$

$$\frac{c}{t} = \frac{45}{5} = 9$$

$$\frac{c}{t} = 9 \leq 9 \cdot \varepsilon = 9 \cdot 1 = 9$$

-> POJASNICA ZADOVOLJAVA KLASU 1

POPREČNI PRESJEK JE SVRSTAN U KLASU 1.

OTPORNOST POPREČNOG PRESJEKA

Otpornost poprečnog presjeka izloženog tlačnoj sili

$$N_{c,Rd} = N_{pl,Rd} = \frac{A \cdot f_y}{\gamma_{M0}} = \frac{12.36 \cdot 23.5}{1.0} = 290.46 \text{ kN}$$

$$N_{Ed} = 133.47 \text{ kN} < N_{c,Rd} = 290.46 \text{ kN}$$

OTPORNOST ELEMENTA IZLOŽENOG UZDUŽNOJ SILI

Otpornost elementa na izvijanje

$$N_{cr} = \frac{\pi^2 \cdot EI}{L_{cr}^2}$$

$$\bar{\lambda} = \sqrt{\frac{A \cdot f_y}{N_{cr}}}$$

$$\Phi = 0.5 [1 + \alpha(\bar{\lambda} - 0.2) + \bar{\lambda}^2]$$

$$\chi = \frac{1}{\Phi + \sqrt{\Phi^2 - \bar{\lambda}^2}} \leq 1.0$$

$$N_{b,Rd} = \frac{\chi \cdot A \cdot f_y}{\gamma_{M1}}$$

Krivulja izvijanja: $a \rightarrow \alpha=0.21$

Jednake su mogućnosti izvijanja oko osi y-y i z-z, stoga je dovoljno napraviti proračun za jednu os.

$$L_{cr} = 101.1 \text{ cm}$$

$$N_{cr} = \frac{\pi^2 \cdot 21000 \cdot 50.49}{101.1^2} = 1023.82 \text{ kN}$$

$$\bar{\lambda}_y = \sqrt{\frac{12.36 \cdot 23.5}{1023.82}} = 0.49$$

$$\Phi_y = 0.5 [1 + 0.21(0.49 - 0.2) + 0.49^2] = 0.65$$

$$\chi_y = \frac{1}{0.65 + \sqrt{0.65^2 - 0.49^2}} = 0.93 \leq 1.0$$

$$N_{b,Rd} = \frac{0.93 \cdot 12.36 \cdot 23.5}{1} = 226.42 \text{ kN}$$

$$N_{b,Rd} = 226.42 \text{ kN} > N_{Ed} = 133.47 \text{ kN}$$

$$\eta = \frac{133.47}{226.42} \cdot 100 = 60\%$$

OTPORNOST POPREČNOG PRESJEKA

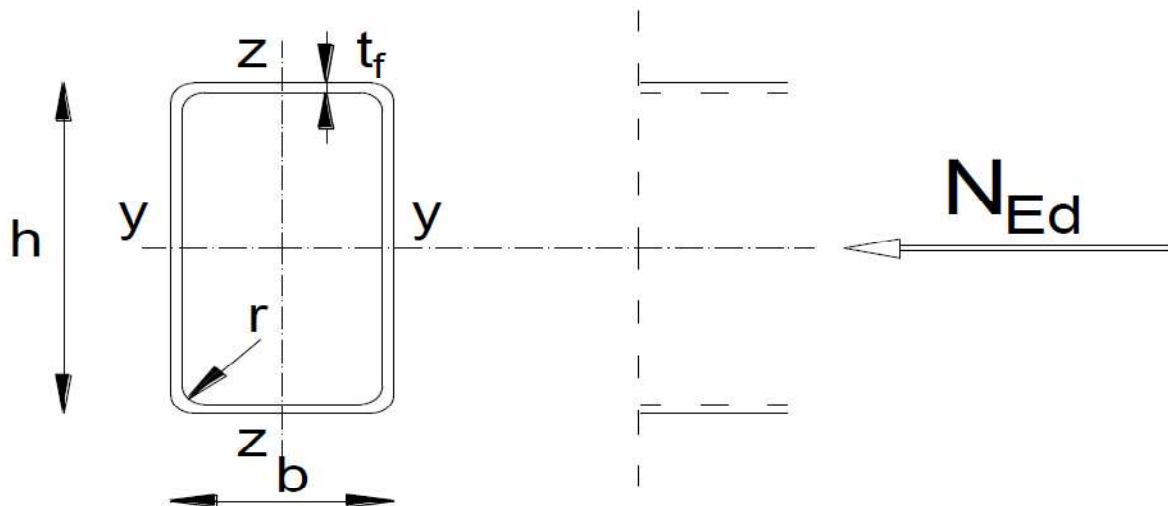
Otpornost poprečnog presjeka izloženog vlačnoj sili

$$N_{t,Rd} = N_{t,Rd} = \frac{A \cdot f_y}{\gamma_{M0}} = \frac{10.36 \cdot 23.5}{1.0} = 243.46 \text{ kN}$$

$$N_{Ed} = 25.15 \text{ kN} < N_{t,Rd} = 243.46 \text{ kN}$$

Profil CFRHS60X60X5, kvalitete čelika S235, zadovoljava GSN sa iskoristivosti $\eta=60\%$.

5.1.5. DIMENZIONIRANJE DIJAGONALA



Slika 5.5. Poprečni presjek dijagonalala

Karakteristike presjeka			
Profil: Tip presjeka: Visina presjeka: Širina presjeka: Debljina pojasnice: Debljina hrpta: Radijus: Površina:	CFRHS80X60X5 Valjani $h= 80 \text{ mm}$ $b= 60 \text{ mm}$ $t= 5 \text{ mm}$ $t= 5 \text{ mm}$ $r= 10 \text{ mm}$ $A= 12.36 \text{ cm}^2$	Moment tromosti: Moment otpora: Konstanta krivljenja: Torzijska konstanta:	$I_y= 103.28 \text{ cm}^4$ $I_z= 65.66 \text{ cm}^4$ $W_{pl,y}= 32.24 \text{ cm}^3$ $W_{pl,z}= 26.38 \text{ cm}^3$ $I_w= 135.53 \text{ cm}^6$ $I_t= 6666.7 \text{ cm}^4$
Ulagani podaci (rezne sile)		Materijal S235	$f_y=235 \text{ N/mm}^2$ $\varepsilon=1.0$ $E=210\,000 \text{ N/mm}^2$ $v=0.3$
$N_{Ed}=$ $N_{Ed}=$	-24.04 kN +283.88 kN		

Tablica 5.5. Karakteristike poprečnog presjeka dijagonalala

KLASIFIKACIJA POPREČNOG PRESJEKA

Hrbat:

$$d = h - 3 \cdot t = 80 - 3 \cdot 5 = 65 \text{ mm}$$

$$\frac{d}{t} = \frac{65}{5} = 13$$

$$\frac{d}{t} = 13 < 33 \cdot \varepsilon = 33 \cdot 1 = 33$$

-> HRBAT ZADOVOLJAVA KLASU 1

Pojasnice:

$$c = h - 3 \cdot t = 60 - 3 \cdot 5 = 45 \text{ mm}$$

$$\frac{c}{t} = \frac{45}{5} = 9$$

$$\frac{c}{t} = 9 \leq 9 \cdot \varepsilon = 9 \cdot 1 = 9$$

-> POJASNICA ZADOVOLJAVA KLASU 1

POPREČNI PRESJEK JE SVRSTAN U KLASU 1.

OTPORNOST POPREČNOG PRESJEKA

Otpornost poprečnog presjeka izloženog tlačnoj sili

$$N_{c,Rd} = N_{pl,Rd} = \frac{A \cdot f_y}{\gamma_{M0}} = \frac{12.36 \cdot 23.5}{1.0} = 290.46 \text{ kN}$$

$$N_{Ed} = 24.04 \text{ kN} < N_{c,Rd} = 290.46 \text{ kN}$$

OTPORNOST ELEMENTA IZLOŽENOG UZDUŽNOJ SILI

Otpornost elementa na izvijanje

$$N_{cr} = \frac{\pi^2 \cdot EI}{L_{cr}^2}$$

$$\bar{\lambda} = \sqrt{\frac{A \cdot f_y}{N_{cr}}}$$

$$\Phi = 0.5 [1 + \alpha(\bar{\lambda} - 0.2) + \bar{\lambda}^2]$$

$$\chi = \frac{1}{\Phi + \sqrt{\Phi^2 - \bar{\lambda}^2}} \leq 1.0$$

$$N_{b,Rd} = \frac{\chi \cdot A \cdot f_y}{\gamma_{M1}}$$

Krivulja izvijanja: a $\rightarrow \alpha=0.21$

Izvijanje oko osi y-y

$$L_{cr} = 245.5 \text{ cm}$$

$$N_{cr} = \frac{\pi^2 \cdot 21000 \cdot 103.28}{245.5^2} = 355.17 \text{ kN}$$

$$\bar{\lambda}_y = \sqrt{\frac{12.36 \cdot 23.5}{2094.27}} = 0.90$$

$$\Phi_y = 0.5 [1 + 0.21(0.90 - 0.2) + 0.90^2] = 0.98$$

$$\chi_y = \frac{1}{0.98 + \sqrt{0.98^2 - 0.90^2}} = 0.73 \leq 1.0$$

$$N_{b,Rd} = \frac{0.73 \cdot 12.36 \cdot 23.5}{1} = 212.04 \text{ kN}$$

Izvijanje oko osi z-z

$$L_{cr} = 245.5 \text{ cm}$$

$$N_{cr} = \frac{\pi^2 \cdot 21000 \cdot 65.66}{245.5^2} = 225.80 \text{ kN}$$

$$\bar{\lambda}_y = \sqrt{\frac{12.36 \cdot 23.5}{225.8}} = 1.13$$

$$\Phi_y = 0.5 [1 + 0.21(1.13 - 0.2) + 1.13^2] = 1.23$$

$$\chi_y = \frac{1}{1.23 + \sqrt{1.23^2 - 1.13^2}} = 0.58 \leq 1.0$$

$$N_{b,Rd} = \frac{0.58 \cdot 12.36 \cdot 23.5}{1} = 168.47 \text{ kN}$$

Kritičnije je izvijanje oko slabije osi z-z

$$N_{b,Rd} = 24.04 \text{ kN} > N_{Ed} = 168.47 \text{ kN}$$

OTPORNOST POPREČNOG PRESJEKA

Otpornost poprečnog presjeka izloženog vlačnoj sili

$$N_{t,Rd} = N_{t,Rd} = \frac{A \cdot f_y}{\gamma_{M0}} = \frac{12.36 \cdot 23.5}{1.0} = 290.46 \text{ kN}$$

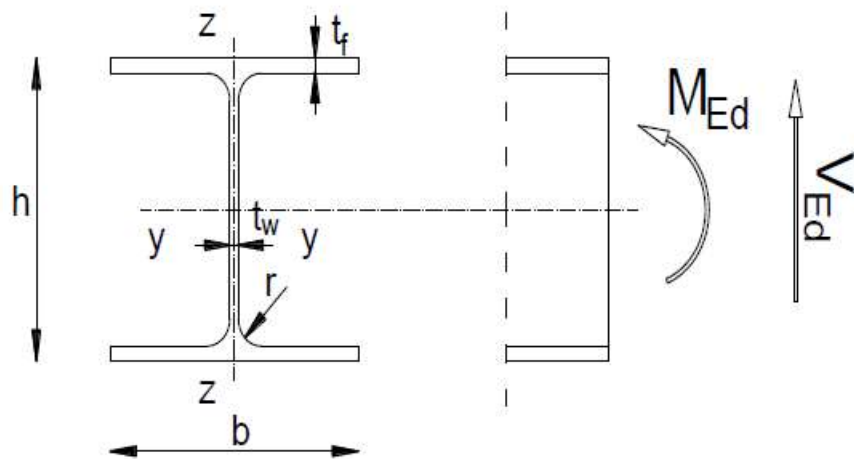
$$N_{Ed} = 283.88 \text{ kN} < N_{t,Rd} = 290.46 \text{ kN}$$

$$\eta = \frac{283.88}{290.46} \cdot 100 = 98\%$$

Profil CFRHS80X60X5, kvalitete čelika S235, zadovoljava GSN sa iskoristivosti $\eta=98\%$.

5.2. SEKUNDARNA KONSTRUKCIJA

5.2.1. DIMENZIONIRANJE ZABATNOG STUPA



Slika 5.6. Poprečni presjek zbatnog stupa

Karakteristike presjeka				
Profil:	HEA 140	Moment tromosti:	$I_y = 1030 \text{ cm}^4$	
Tip presjeka:	Valjani		$I_z = 389 \text{ cm}^4$	
Visina presjeka:	$h = 133 \text{ mm}$	Moment otpora:	$W_{pl,y} = 173.3 \text{ cm}^3$	
Širina presjeka:	$b = 140 \text{ mm}$	Konstanta krivljenja:	$W_{pl,z} = 85 \text{ cm}^3$	
Debljina pojasnice:	$t_f = 9 \text{ mm}$		$I_w = 15064 \text{ cm}^6$	
Debljina hrpta:	$t_w = 6 \text{ mm}$	Torzijska konstanta:	$I_t = 8.13 \text{ cm}^4$	
Radijus:	$r = 12 \text{ mm}$			
Površina:	$A = 31.4 \text{ cm}^2$			
Ulagani podaci (rezne sile)		Materijal S235	$f_y = 235 \text{ N/mm}^2$	
$M_{y,Ed} =$	16.24 kNm		$\varepsilon = 1.0$	
$V_{z,Ed} =$	7.83 kN		$E = 210\,000 \text{ N/mm}^2$	
			$v = 0.3$	

Tablica 5.6. Karakteristike poprečnog presjeka zbatnog stupa

KLASIFIKACIJA POPREČNOG PRESJEKA

Hrbat:

$$d = h - 2 \cdot t_f - 2 \cdot r = 133 - 2 \cdot 9 - 2 \cdot 12 = 91 \text{ mm}$$

$$\frac{d}{t_w} = \frac{91}{6} = 15.2$$

$$\frac{d}{t_w} = 15.2 < 72 \cdot \varepsilon = 72 \cdot 1 = 72$$

-> HRBAT ZADOVOLJAVA KLASU 1

Pojasnice:

$$c = \frac{b - t_w - 2 \cdot r}{2} = \frac{140 - 6 - 2 \cdot 12}{2} = 55$$

$$\frac{c}{t_f} = \frac{55}{9} = 6.11 < 9 \cdot \varepsilon = 9 \cdot 1 = 9$$

-> POJASNICA ZADOVOLJAVA KLASU 1

POPREČNI PRESJEK JE SVRSTAN U KLASU 1.

OTPORNOST POPREČNOG PRESJEKA

Otpornost poprečnog presjeka izloženog momentnog savijanja

$$M_{c,Rd} = M_{pl,Rd} = \frac{W_{pl} \cdot f_y}{\gamma_{M0}} = \frac{173.3 \cdot 23.5}{1.0} = 4072.55 \text{ kNm} = 40.73 \text{ kNm}$$

$$M_{y,Ed} = 16.24 \text{ kNm} < M_{c,Rd} = 40.73 \text{ kNm}$$

Posmična otpornost poprečnog presjeka

$$\frac{h_w}{t_w} = \frac{h - 2 \cdot t_f}{t_w} = \frac{133 - 2 \cdot 12}{5} = 21.8$$

$$\frac{h_w}{t_w} = 21.8 < 72 \cdot \frac{\varepsilon}{\eta} = 72 \cdot \frac{1.0}{1.2} = 60$$

-> Nije potrebna provjera izbočavanja hrpta na posmik

$$A_{v,z} = A - 2 \cdot b \cdot t_f + (t_w + 2 \cdot r) \cdot t_f \geq \eta \cdot h_w \cdot t_w$$

$$A_{v,z} = 31.4 - 2 \cdot 14 \cdot 0.9 + (0.6 + 2 \cdot 1.2) \cdot 0.9 = 8.9$$

$$A_{v,z} = 8.9 \text{ cm}^2 > 1.2 \cdot 10.9 \cdot 0.6 = 7.85 \text{ cm}^2$$

$$V_{pl,z,Rd} = \frac{A_{v,z} (f_y / \sqrt{3})}{\gamma_{M0}} = \frac{8.9 \cdot (23.5 / \sqrt{3})}{1.0} = 120.75 \text{ kN}$$

$$V_{z,Ed} = 7.83 \text{ kN} < V_{pl,z,Rd} = 120.75 \text{ kN}$$

INTERAKCIJA M-V

Presjek u x=8.29/4 = 2.07 m:

$$M_{Ed} = 13.64 \text{ kNm}$$

$$V_{z,Ed} = 4.70 \text{ kN}$$

$$0.5 \cdot V_{Rd} = 0.5 \cdot 120.75 = 60.34 \text{ kN} > V_{Ed} = 4.70 \text{ kN}$$

-> Nema redukcije otpornosti na savijanje od poprečne sile

OTPORNOST ELEMENTA IZLOŽENOG MOMENTU SAVIJANJA

Otpornost elementa na bočno izvijanje

$$k = 1.0$$

$$k_w = 1.0$$

$$C_1 = 1.127; C_2 = 0.454$$

$$G = 8077 \text{ kN/cm}^2$$

$$L_{cr} = 829 \text{ cm}$$

$$\frac{h}{b} = \frac{133}{140} = 0.95 < 2 \longrightarrow \text{krivulja izvijanja : a}$$

$$\alpha_{LT} = 0.21$$

$$z_g = \frac{h}{2} = \frac{13.3}{2} = 6.65 \text{ cm}$$

$$M_{cr} = C_1 \cdot \frac{\pi^2 \cdot E \cdot I_z}{(k \cdot L)^2} \cdot \left[\sqrt{\left(\frac{k}{k_w} \right)^2 \cdot \frac{I_w}{I_z} + \frac{(k \cdot L)^2 \cdot G \cdot I_t}{\pi^2 \cdot E \cdot I_z} + (C_2 \cdot z_g)^2} - C_2 \cdot z_g \right]$$

$$\bar{\lambda}_{LT} = \sqrt{\frac{W_y \cdot f_y}{M_{cr}}} > \bar{\lambda}_{LT,0} = 0.4$$

$$\Phi_{LT} = 0.5 \left[1 + \alpha_{LT} (\bar{\lambda}_{LT} - 0.2) + \bar{\lambda}_{LT}^2 \right]$$

$$\chi_{LT} = \frac{1}{\Phi_{LT} + \sqrt{\Phi_{LT}^2 - \bar{\lambda}_{LT}^2}} \leq 1.0$$

$$M_{b,Rd} = \frac{\chi_{LT} \cdot W_y \cdot f_y}{\gamma_{M1}}$$

$$M_{cr} = 1.127 \cdot \frac{\pi^2 \cdot 21000 \cdot 389}{(1 \cdot 829)^2} \cdot \left[\sqrt{\left(\frac{1}{1} \right)^2 \cdot \frac{15064}{389} + \frac{(1 \cdot 829)^2 \cdot 8077 \cdot 8.13}{\pi^2 \cdot 21000 \cdot 389} + (0.454 \cdot 6.65)^2} - 0.454 \cdot 6.65 \right]$$

$$M_{cr} = 2859.83 \text{ kNm} = 28.60 \text{ kNm}$$

$$\bar{\lambda}_{LT} = \sqrt{\frac{173.3 \cdot 23.5}{2859.83}} = 1.19 > \bar{\lambda}_{LT,0} = 0.4$$

$$\Phi_{LT} = 0.5 \left[1 + 0.21 \cdot (1.19 - 0.2) + 1.19^2 \right] = 1.31$$

$$\chi_{LT} = \frac{1}{1.31 + \sqrt{1.31^2 - 1.19^2}} = 0.54 \leq 1.0$$

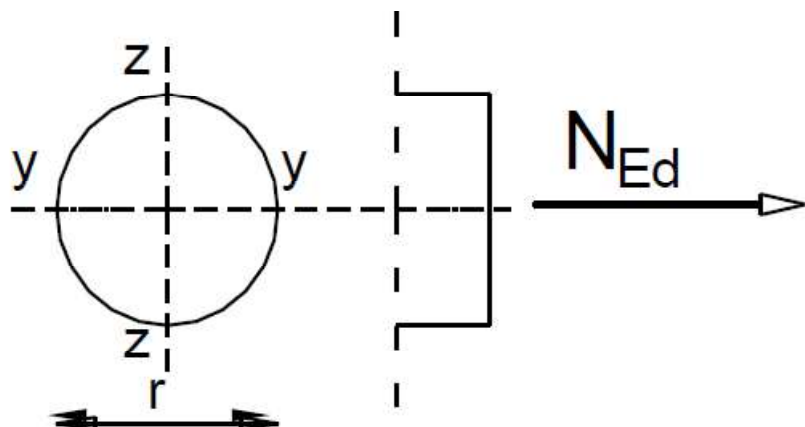
$$M_{b,Rd} = \frac{0.54 \cdot 173.3 \cdot 23.5}{1} = 21.99 \text{ kNm}$$

$$M_{b,Rd} = 21.99 \text{ kNm} > M_{Ed} = 16.24 \text{ kNm}$$

$$\eta = \frac{16.24}{21.99} \cdot 100\% = 73.85\%$$

Profil HEA140, kvalitete čelika S235, zadovoljava GSN sa iskoristivosti $\eta=73\%$.

5.2.2. DIMENZIONIRANJE HORIZONTALNOG SPREGA



Slika 5.7. Poprečni presjek horizontalnog sprega

Karakteristike presjeka			
Profil:	RD14	Površina:	A = 1.54 cm ²
Ulazni podaci (rezne sile)		Materijal S235	f _y =235 N/mm ²
N _{Ed} =	15.70 kN		ε=1.0 E=210 000 N/mm ² ν=0.3

Tablica 5.7. Karakteristike poprečnog presjeka horizontalnog sprega

OTPORNOST POPREČNOG PRESJEKA

Otpornost poprečnog presjeka izloženog vlačnoj sili

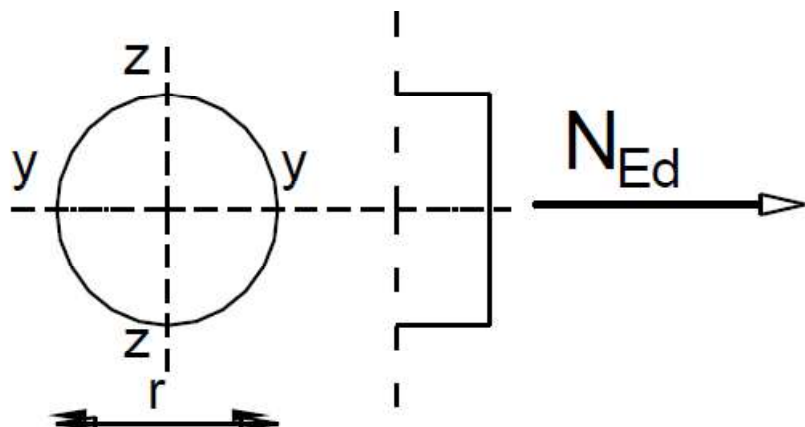
$$N_{t,Rd} = N_{pl,Rd} = \frac{A \cdot f_y}{\gamma_{M0}} = \frac{1.54 \cdot 23.5}{1.0} = 36.19 \text{ kN}$$

$$N_{Ed} = 15.70 \text{ kN} < N_{t,Rd} = 36.19 \text{ kN}$$

$$\eta = \frac{15.70}{36.19} \cdot 100 = 44\%$$

Profil RD14, kvalitete čelika S235, zadovoljava GSN sa iskoristivosti η=44%.

5.2.3. DIMENZIONIRANJE VERTIKALNOG SPREGA



Slika 5.8. Poprečni presjek vertikalnog sprega

Karakteristike presjeka			
Profil:	RD14	Površina:	A = 1.54 cm ²
Ulazni podaci (rezne sile)		Materijal S235	f _y =235 N/mm ²
N _{Ed} =	19.00 kN		ε=1.0 E=210 000 N/mm ² ν=0.3

Tablica 5.8. Karakteristike poprečnog presjeka vertikalnog sprega

OTPORNOST POPREČNOG PRESJEKA

Otpornost poprečnog presjeka izloženog vlačnoj sili

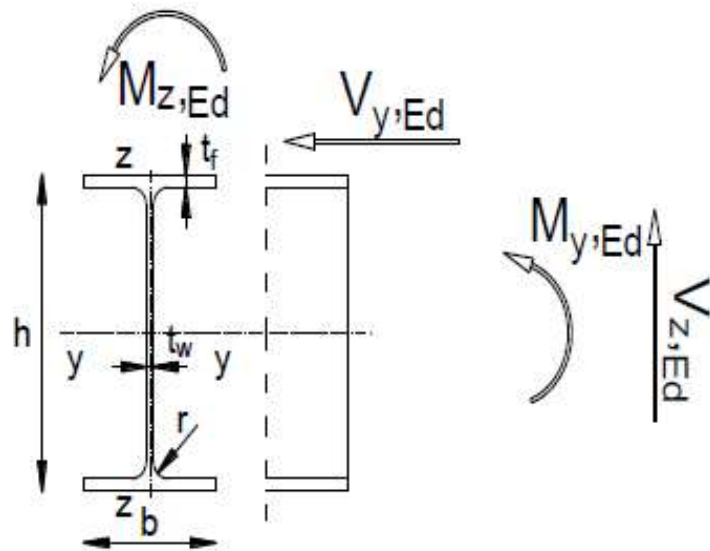
$$N_{t,Rd} = N_{pl,Rd} = \frac{A \cdot f_y}{\gamma_{M0}} = \frac{1.54 \cdot 23.5}{1.0} = 36.19 \text{ kN}$$

$$N_{Ed} = 19.00 \text{ kN} < N_{t,Rd} = 36.19 \text{ kN}$$

$$\eta = \frac{19.0}{36.19} \cdot 100 = 53\%$$

Profil RD14, kvalitete čelika S235, zadovoljava GSN sa iskoristivosti η=53%.

5.2.4. DIMENZIONIRANJE KROVNIH PODROŽNICA



Slika 5.9. Poprečni presjek krovne podrožnice

Karakteristike presjeka			
Profil:	IPE 200	Moment tromosti:	$I_y = 1943 \text{ cm}^4$
Tip presjeka:	Valjani		$I_z = 142 \text{ cm}^4$
Visina presjeka:	$h = 200 \text{ mm}$	Moment otpora:	$W_{pl,y} = 221 \text{ cm}^3$
Širina presjeka:	$b = 100 \text{ mm}$		$W_{pl,z} = 44.6 \text{ cm}^3$
Debljina pojasnice:	$t_f = 9 \text{ mm}$	Konstanta krivljenja:	$I_w = 13\,000 \text{ cm}^6$
Debljina hrpta:	$t_w = 6 \text{ mm}$	Torzijska konstanta:	$I_t = 6.98 \text{ cm}^4$
Radius:	$r = 12 \text{ mm}$		
Površina:	$A = 28.50 \text{ cm}^2$		
Ulazni podaci (rezne sile)		Materijal S235	
$M_{y,Ed} =$	16.72 kNm		$f_y = 235 \text{ N/mm}^2$
$V_{z,Ed} =$	12.38 kN		$\epsilon = 1.0$
$M_{z,Ed} =$	1.01 kNm		$E = 210\,000 \text{ N/mm}^2$
$V_{y,Ed} =$	0.75 kNm		$\nu = 0.3$

Tablica 5.9. Karakteristike poprečnog presjeka krovne podrožnice

KLASIFIKACIJA POPREČNOG PRESJEKA

Hrbat:

$$d = h - 2 \cdot t_f - 2 \cdot r = 200 - 2 \cdot 9 - 2 \cdot 12\sqrt{2} = 148.06 \text{ mm}$$

$$\frac{d}{t_w} = \frac{148.06}{6} = 24.68$$

$$\frac{d}{t_w} = 24.68 < 72 \cdot \varepsilon = 72 \cdot 1 = 72$$

-> HRBAT ZADOVOLJAVA KLASU 1

Pojasnice:

$$c = \frac{b - t_w - 2 \cdot r}{2} = \frac{90 - 6 - 2 \cdot 12\sqrt{2}}{2} = 25.02$$

$$\frac{c}{t_f} = \frac{25.02}{9} = 2.78 < 9 \cdot \varepsilon = 9 \cdot 1 = 9$$

-> POJASNICA ZADOVOLJAVA KLASU 1

POPREČNI PRESJEK JE SVRSTAN U KLASU 1.

OTPORNOST POPREČNOG PRESJEKA

Otpornost poprečnog presjeka izloženog momentu savijanja

Os y-y

$$M_{c,y,Rd} = M_{pl,y,Rd} = \frac{W_{pl,y} \cdot f_y}{\gamma_{M0}} = \frac{221 \cdot 23.5}{1.0} = 5193.5 \text{ kNm} = 51.94 \text{ kNm}$$

$$M_{y,Ed} = 16.72 \text{ kNm} < M_{c,Rd} = 51.94 \text{ kNm}$$

Os z-z

$$M_{c,z,Rd} = M_{pl,z,Rd} = \frac{W_{pl,z} \cdot f_y}{\gamma_{M0}} = \frac{44.6 \cdot 23.5}{1.0} = 1048.1 \text{ kNm} = 10.48 \text{ kNm}$$

$$M_{z,Ed} = 1.01 \text{ kNm} < M_{c,Rd} = 10.48 \text{ kNm}$$

Posmična otpornost poprečnog presjeka

U smjeru osi z-z

$$\frac{h_w}{t_w} = \frac{h - 2 \cdot t_f}{t_w} = \frac{200 - 2 \cdot 9}{6} = 30.3$$

$$\frac{h_w}{t_w} = 30.3 < 72 \cdot \frac{\varepsilon}{\eta} = 72 \cdot \frac{1.0}{1.2} = 60$$

-> Nije potrebna provjera izbočavanja hrpta na posmik

$$A_{v,z} = A - 2 \cdot b \cdot t_f + (t_w + 2 \cdot r) \cdot t_f \geq \eta \cdot h_w \cdot t_w$$

$$A_{v,z} = 28.5 - 2 \cdot 10 \cdot 0.9 + (0.6 + 2 \cdot 1.2) \cdot 0.9 = 13.2$$

$$A_{v,z} = 13.20 \text{ cm}^2 > 1.2 \cdot 18.2 \cdot 0.6 = 13.10 \text{ cm}^2$$

$$V_{pl,z,Rd} = \frac{A_{v,z}(f_y/\sqrt{3})}{\gamma_{M0}} = \frac{13.2 \cdot (23.5/\sqrt{3})}{1.0} = 179.10 \text{ kN}$$

$$V_{z,Ed} = 11.45 \text{ kN} < V_{pl,z,Rd} = 179.10 \text{ kN}$$

U smjeru osi y-y

$$A_{v,y} = A - \sum h_w \cdot t_w$$

$$V_{pl,y,Rd} = \frac{A_{v,y}(f_y/\sqrt{3})}{\gamma_{M0}}$$

$$A_{v,y} = 28.5 - \sum 18.2 \cdot 0.6 = 17.58 \text{ cm}^2$$

$$V_{pl,y,Rd} = \frac{17.58 \cdot (23.5/\sqrt{3})}{1.0} = 238.52 \text{ kN}$$

$$V_{y,Ed} = 1.08 \text{ kN} < V_{pl,z,Rd} = 238.52 \text{ kN}$$

INTERAKCIJA M-V

Presjek u x=5.4/4=1.35 m:

Savijanje u smjeru osi y-y

$$M_{y,Ed} = 10.70 \text{ kNm}$$

$$V_{z,Ed} = 7.43 \text{ kN}$$

$$0.5 \cdot V_{z,Rd} = 0.5 \cdot 179.10 = 89.55 \text{ kN} > V_{z,Ed} = 7.43 \text{ kN}$$

-> Nema redukcije otpornosti na savijanje od poprečne sile

Savijanje u smjeru osi z-z

$$M_{z,Ed} = 0.85 \text{ kNm}$$

$$V_{y,Ed} = 0.45 \text{ kN}$$

$$0.5 \cdot V_{y,Rd} = 0.5 \cdot 238.52 = 119.26 \text{ kN} > V_{y,Ed} = 0.45 \text{ kN}$$

-> Nema redukcije otpornosti na savijanje od poprečne sile

$$\left(\frac{M_{y,Ed}}{M_{V,y,Rd}} \right)^\alpha + \left(\frac{M_{z,Ed}}{M_{V,z,Rd}} \right)^\beta \leq 1$$

$\alpha = 2$ ——> za I i H profile

$\beta = 1$

$$\left(\frac{16.72}{51.94} \right)^2 + \left(\frac{1.01}{10.48} \right)^1 = 0.20 \leq 1$$

Profil IPE200 zadovoljava provjere otpornosti na razini poprečnog presjeka.

OTPORNOST ELEMENTA IZLOŽENOG MOMENTU SAVIJANJA

Otpornost elementa na bočno izvijanje

Izvijanje oko osi y-y

$$k = 1.0$$

$$k_w = 1.0$$

$$C_1 = 1.127; C_2 = 0.454$$

$$G = 8077 \text{ kN/cm}^2$$

$$L_{cr} = 540 \text{ cm}$$

$$\frac{h}{b} = \frac{180}{91} = 1.97 < 2 \longrightarrow \text{krivulja izvijanja : a}$$

$$\alpha_{LT} = 0.21$$

$$z_g = \frac{h}{2} = \frac{18}{2} = 9.0 \text{ cm}$$

$$M_{cr} = C_1 \cdot \frac{\pi^2 \cdot E \cdot I_z}{(k \cdot L)^2} \cdot \left[\sqrt{\left(\frac{k}{k_w}\right)^2 \cdot \frac{I_w}{I_z} + \frac{(k \cdot L)^2 \cdot G \cdot I_t}{\pi^2 \cdot E \cdot I_z} + (C_2 \cdot z_g)^2} - C_2 \cdot z_g \right]$$

$$\bar{\lambda}_{LT} = \sqrt{\frac{W_y \cdot f_y}{M_{cr}}} > \bar{\lambda}_{LT,0} = 0.4$$

$$\Phi_{LT} = 0.5 \left[1 + \alpha_{LT} (\bar{\lambda}_{LT} - 0.2) + \bar{\lambda}_{LT}^2 \right]$$

$$\chi_{LT} = \frac{1}{\Phi_{LT} + \sqrt{\Phi_{LT}^2 - \bar{\lambda}_{LT}^2}} \leq 1.0$$

$$M_{b,Rd} = \frac{\chi_{LT} \cdot W_y \cdot f_y}{\gamma_{M1}}$$

$$M_{cr} = 1.127 \cdot \frac{\pi^2 \cdot 21000 \cdot 142}{(1 \cdot 540)^2} \cdot \left[\sqrt{\left(\frac{1}{1}\right)^2 \cdot \frac{13000}{142} + \frac{(1 \cdot 540)^2 \cdot 8077 \cdot 6.98}{\pi^2 \cdot 21000 \cdot 142} + (0.454 \cdot 10.0)^2} - 0.454 \cdot 10.0 \right]$$

$$M_{cr} = 2429.51 \text{ kNm} = 24.30 \text{ kNm}$$

$$\bar{\lambda}_{LT} = \sqrt{\frac{221 \cdot 23.5}{2429.51}} = 1.46 > \bar{\lambda}_{LT,0} = 0.4$$

$$\Phi_{LT} = 0.5[1 + 0.21 \cdot (1.46 - 0.2) + 1.46^2] = 1.70$$

$$\chi_{LT} = \frac{1}{1.70 + \sqrt{1.70^2 - 1.46^2}} = 0.39 \leq 1.0$$

$$M_{b,Rd} = \frac{0.39 \cdot 221.0 \cdot 23.5}{1} = 20.02 \text{ kNm}$$

$$M_{b,Rd} = 20.25 \text{ kNm} > M_{Ed} = 16.72 \text{ kNm}$$

INTERAKCIJA M_y - M_z

$$\frac{N_{Ed}}{\chi_y * N_{Rk}/\gamma_{M,1}} + k_{yy} * \frac{M_{y,Ed}}{\chi_{LT} * M_{y,Rk}/\gamma_{M,1}} + k_{yz} * \frac{M_{z,Ed}}{M_{z,Rk}/\gamma_{M,1}} \leq 1,0$$

$$\frac{N_{Ed}}{\chi_z * N_{Rk}/\gamma_{M,1}} + k_{zy} * \frac{M_{y,Ed}}{\chi_{LT} * M_{y,Rk}/\gamma_{M,1}} + k_{zz} * \frac{M_{z,Ed}}{M_{z,Rk}/\gamma_{M,1}} \leq 1,0$$

$$k_{yy} = C_{my} \cdot \left[1 + \left(\bar{\lambda}_y - 0,2 \right) \cdot \frac{N_{Ed}}{\chi_y \cdot N_{Rk}/\gamma_{M,1}} \right] \leq C_{my} \cdot \left[1 + 0,8 \cdot \frac{N_{Ed}}{\chi_y \cdot N_{Rk}/\gamma_{M,1}} \right]$$

$$k_{yz} = 0,6 * k_{zz}$$

$$L_{cr,z} = 540 \text{ cm}$$

$$k_{zy} = \left[1 - \frac{0,1 \cdot \bar{\lambda}_z}{C_{mLT} - 0,25} \cdot \frac{N_{Ed}}{\chi_z \cdot N_{Rk}/\gamma_{M,1}} \right] \geq \left[1 - \frac{0,1}{C_{mLT} - 0,25} \cdot \frac{N_{Ed}}{\chi_z \cdot N_{Rk}/\gamma_{M,1}} \right]$$

$$k_{zz} = C_{mz} * \left[1 + 2 * \bar{\lambda}_z - 0,6 \right] \cdot \frac{N_{Ed}}{\chi_z * N_{Rk}/\gamma_{M,1}} \leq \left[1 + 1,4 \cdot \frac{N_{Ed}}{\chi_z \cdot N_{Rk}/\gamma_{M,1}} \right]$$

$$\alpha_h = \frac{M_h}{M_s} = 0 \rightarrow C_{my} = 0,95 + 0,05 * \alpha_h = 0,95$$

$$\psi = 0 \rightarrow C_{mz} = 0,95 + 0,05 * \alpha_h = 0,95$$

$$C_{mLT} = 0,95 + 0,05 * \alpha_h = 0,95$$

$$k_{yy} = 0,95$$

$$k_{zz} = 0,95$$

$$k_{yz} = 0,57$$

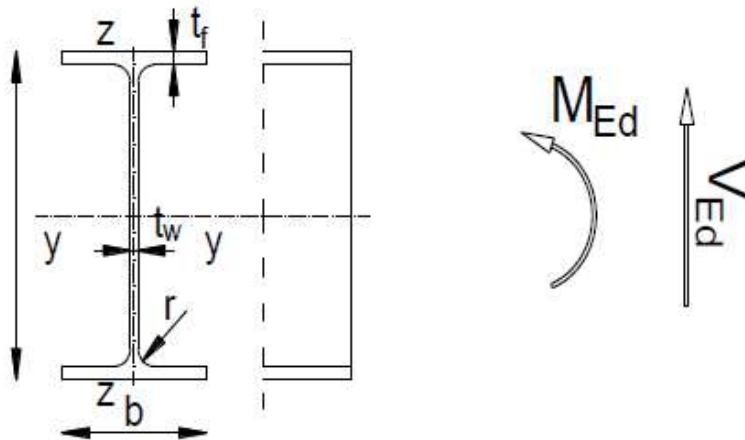
$$k_{zy} = 1$$

$$0 + 0,95 * \frac{16,72}{0,42 * 51,94} + 0,57 * \frac{1,01}{10,48} = 0,78 \leq 1,0$$

$$0 + 1 * \frac{16,72}{0,42 * 51,94} + 0,95 * \frac{1,01}{10,48} = 0,86 \leq 1,0$$

Profil IPE200, kvalitete čelika S235, zadovoljava GSN sa iskoristivosti $\eta=86\%$.

5.2.5. DIMENZIONIRANJE BOČNIH PODROŽNICA



Slika 5.10. Poprečni presjek bočne podrožnice

Karakteristike presjeka			
Profil:	IPE 120	Moment tromosti:	$I_y = 318 \text{ cm}^4$
Tip presjeka:	Valjani		$I_z = 27.7 \text{ cm}^4$
Visina presjeka:	$h = 120 \text{ mm}$	Moment otpora:	$W_{pl,y} = 60.7 \text{ cm}^3$
Širina presjeka:	$b = 64 \text{ mm}$	Konstanta krivljenja:	$W_{pl,z} = 13.6 \text{ cm}^3$
Debljina pojasnice:	$t_f = 6 \text{ mm}$		$I_w = 890 \text{ cm}^6$
Debljina hrpta:	$t_w = 4 \text{ mm}$	Torzijska konstanta:	$I_t = 1.74 \text{ cm}^4$
Radijus:	$r = 7 \text{ mm}$		
Površina:	$A = 13.2 \text{ cm}^2$		
Ulagani podaci (rezne sile)		Materijal S235	$f_y = 235 \text{ N/mm}^2$
$M_{y,Ed} =$	3.46 kNm		$\epsilon = 1.0$
$V_{z,Ed} =$	2.56 kN		$E = 210\,000 \text{ N/mm}^2$
			$v = 0.3$

Tablica 5.10. Karakteristike poprečnog presjeka bočne podrožnice

KLASIFIKACIJA POPREČNOG PRESJEKA

Hrbat:

$$d = h - 2 \cdot t_f - 2 \cdot r = 120 - 2 \cdot 6 - 2 \cdot 7\sqrt{2} = 88.2 \text{ mm}$$

$$\frac{d}{t_w} = \frac{88.2}{4} = 22.05$$

$$\frac{d}{t_w} = 22.05 < 72 \cdot \varepsilon = 72 \cdot 1 = 72$$

-> HRBAT ZADOVOLJAVA KLASU 1

Pojasnice:

$$c = \frac{b - t_w - 2 \cdot r}{2} = \frac{62 - 4 - 2 \cdot 7\sqrt{2}}{2} = 19.10$$

$$\frac{c}{t_f} = \frac{19.10}{6} = 3.18 < 9 \cdot \varepsilon = 9 \cdot 1 = 9$$

-> POJASNICA ZADOVOLJAVA KLASU 1

POPREČNI PRESJEK JE SVRSTAN U KLASU 1.

OTPORNOST POPREČNOG PRESJEKA

Otpornost poprečnog presjeka izloženog momentu savijanja

$$M_{c,Rd} = M_{pl,Rd} = \frac{W_{pl,y} \cdot f_y}{\gamma_{M0}} = \frac{60.7 \cdot 23.5}{1.0} = 1426.45 \text{ kNm} = 14.27 \text{ kNm}$$

$$M_{y,Ed} = 3.46 \text{ kNm} < M_{c,Rd} = 14.27 \text{ kNm}$$

Posmična otpornost poprečnog presjeka

$$\frac{h_w}{t_w} = \frac{h - 2 \cdot t_f}{t_w} = \frac{120 - 2 \cdot 6}{4} = 27.0$$

$$\frac{h_w}{t_w} = 27.0 < 72 \cdot \frac{\varepsilon}{\eta} = 72 \cdot \frac{1.0}{1.2} = 60$$

-> Nije potrebna provjera izbočavanja hrpta na posmik

$$A_{v,z} = A - 2 \cdot b \cdot t_f + (t_w + 2 \cdot r) \cdot t_f \geq \eta \cdot h_w \cdot t_w$$

$$A_{v,z} = 13.2 - 2 \cdot 6.4 \cdot 0.6 + (0.4 + 2 \cdot 0.7) \cdot 0.6 = 6.60$$

$$A_{v,z} = 6.60 \text{ cm}^2 \geq 1.2 \cdot 10.8 \cdot 0.4 = 5.18 \text{ cm}^2$$

$$V_{pl,z,Rd} = \frac{A_{v,z} (f_y / \sqrt{3})}{\gamma_{M0}} = \frac{6.60 \cdot (23.5 / \sqrt{3})}{1.0} = 89.55 \text{ kN}$$

$$V_{z,Ed} = 2.56 \text{ kN} < V_{pl,z,Rd} = 89.55 \text{ kN}$$

INTERAKCIJA M-V

Presjek u x=5.4/4=1.35 m:

$$M_{Ed} = 2.22 \text{ kNm}$$

$$V_{z,Ed} = 1.54 \text{ kN}$$

$$0.5 \cdot V_{Rd} = 0.5 \cdot 89.55 = 44.78 \text{ kN} > V_{Ed} = 1.54 \text{ kN}$$

-> Nema redukcije otpornosti na savijanje od poprečne sile

OTPORNOST ELEMENTA IZLOŽENOG MOMENTU SAVIJANJA

Otpornost elementa na bočno izvijanje

$$k = 1.0$$

$$k_w = 1.0$$

$$C_1 = 1.127; C_2 = 0.454$$

$$G = 8077 \text{ kN/cm}^2$$

$$L_{cr} = 540 \text{ cm}$$

$$\frac{h}{b} = \frac{120}{64} = 1.87 < 2 \longrightarrow \text{krivulja izvijanja : a}$$

$$\alpha_{LT} = 0.21$$

$$z_g = \frac{h}{2} = \frac{12}{2} = 6.0 \text{ cm}$$

$$M_{cr} = C_1 \cdot \frac{\pi^2 \cdot E \cdot I_z}{(k \cdot L)^2} \cdot \left[\sqrt{\left(\frac{k}{k_w} \right)^2 \cdot \frac{I_w}{I_z} + \frac{(k \cdot L)^2 \cdot G \cdot I_t}{\pi^2 \cdot E \cdot I_z} + (C_2 \cdot z_g)^2} - C_2 \cdot z_g \right]$$

$$\bar{\lambda}_{LT} = \sqrt{\frac{W_y \cdot f_y}{M_{cr}}} > \bar{\lambda}_{LT,0} = 0.4$$

$$\Phi_{LT} = 0.5 \left[1 + \alpha_{LT} (\bar{\lambda}_{LT} - 0.2) + \bar{\lambda}_{LT}^2 \right]$$

$$\chi_{LT} = \frac{1}{\Phi_{LT} + \sqrt{\Phi_{LT}^2 - \bar{\lambda}_{LT}^2}} \leq 1.0$$

$$M_{b,Rd} = \frac{\chi_{LT} \cdot W_y \cdot f_y}{\gamma_{M1}}$$

$$M_{cr} = 1.127 \cdot \frac{\pi^2 \cdot 21000 \cdot 27.7}{(1.540)^2} \cdot \left[\sqrt{\left(\frac{1}{1} \right)^2 \cdot \frac{890}{27.7} + \frac{(1.540)^2 \cdot 8077 \cdot 1.74}{\pi^2 \cdot 21000 \cdot 27.7} + (0.454 \cdot 6.0)^2} - 0.454 \cdot 6.0 \right]$$

$$M_{cr} = 548.59 \text{ kNm} = 54.86 \text{ kNm}$$

$$\bar{\lambda}_{LT} = \sqrt{\frac{60.7 \cdot 23.5}{548.59}} = 1.61 > \bar{\lambda}_{LT,0} = 0.4$$

$$\Phi_{LT} = 0.5 \left[1 + 0.21 \cdot (1.61 - 0.2) + 1.61^2 \right] = 1.94$$

$$\chi_{LT} = \frac{1}{1.94 + \sqrt{1.94^2 - 1.61^2}} = 0.33 \leq 1.0$$

$$M_{b,Rd} = \frac{0.33 \cdot 60.70 \cdot 23.5}{1} = 4.71 \text{ kNm}$$

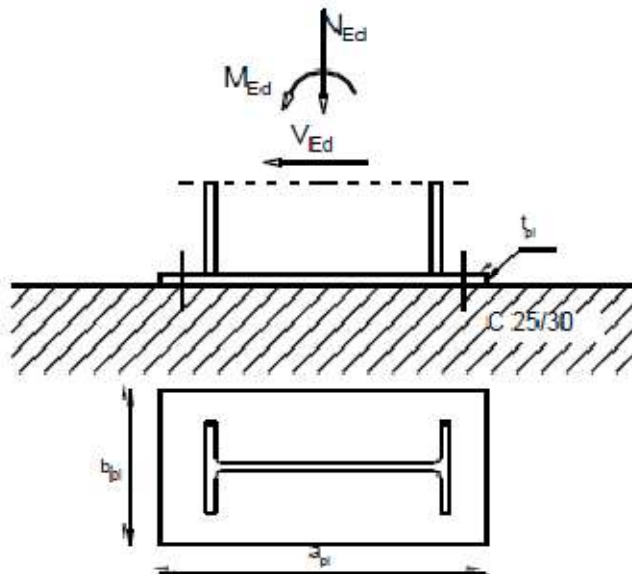
$$M_{b,Rd} = 4.71 \text{ kNm} > M_{Ed} = 3.46 \text{ kNm}$$

$$\eta = \frac{3.46}{4.71} \cdot 100\% = 74\%$$

Profil IPE120, kvalitete čelika S235, zadovoljava GSN sa iskoristivosti $\eta=74\%$.

6. DIMENZIONIRANJE SPOJEVA

6.1. SPOJ STUP-TEMELJ



Slika 6.1. Spoj stup-temelj

Poprečni presjek: HEA260

$h = 250 \text{ mm}$

$b = 260 \text{ mm}$

$t_f = 13 \text{ mm}$

$t_w = 8 \text{ mm}$

$A = 86.8 \text{ mm}^2$

Osnovni materijal: S235

Vijci k.v. 5.6.

Veličina djelovanja:

$M_{Ed} = 49.88 \text{ kNm}$

$V_{Ed} = 15.06 \text{ kN}$

$N_{Ed} = -80.85 \text{ kN}$

RASPODJELA SILA PO PRESJEKU NOSAČA

Pojasnice

Vlačna sila u pojasu od momenta savijanja:

$$N_p^{*M} = \frac{M_{Ed}}{h'} = \frac{49.88}{(0.25 - 0.013)} = 210.46 \text{ kN}$$

Tlačna sila u pojasu od uzdužne sile:

$$N_p^N = \frac{A_p}{A} \cdot N_{Ed} = \frac{26 \cdot 1.3}{86.8} \cdot 80.85 = -31.48 \text{ kN}$$

Ukupna sila u vlačnoj pojascnici:

$$N_p = N_p^{*M} + N_p^N = 210.46 - 31.48 = 178.98 \text{ kN}$$

$$F_{w,Ed} = 178.98 \text{ kN}$$

KONTROLA VARA NA POJASNICAMA I HRPTU

Dužina vara pojascnice:

$$l \approx 2 \cdot b = 2 \cdot 260 = 520 \text{ mm}$$

Dužina vara hrpta:

$$l \approx 2 \cdot (h - 2 \cdot t_f) = 2 \cdot (250 - 2 \cdot 13) = 448 \text{ mm}$$

Maksimalna debljina vara obzirom na debljinu hrpta i pojaseva nosača:

$$a_{\max} = 0.7 \cdot t_{\min} = 0.7 \cdot 8 = 5.6 \text{ mm}$$

- Za pretpostavljeni $a=5$ mm $\rightarrow F_{w,Rk} = 129.9 \text{ kN}$; $\beta_w = 0.8$

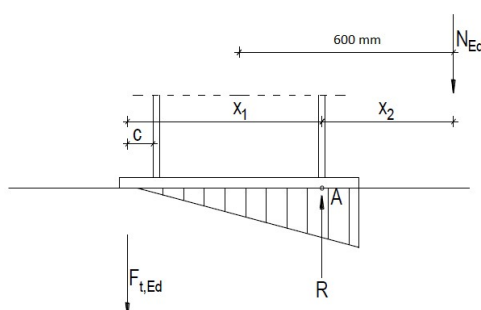
$$\text{Uzdužna sila: } F_{w,Rd} = \frac{F_{w,Rk}}{1.25} \cdot \frac{L}{100} = \frac{129.9}{1.25} \cdot \frac{520}{100} = 540.38 \text{ kN} > F_{w,Ed} = 178.98 \text{ kN}$$

$$\text{Poprečna sila: } F_{w,Rd} = \frac{F_{w,Rk}}{1.25} \cdot \frac{L}{100} = \frac{129.9}{1.25} \cdot \frac{448}{100} = 465.56 \text{ kN} > V_{Ed} = 15.06 \text{ kN}$$

PRORAČUN VIJAKA

Uz pretpostavku vijaka M20, udaljenost vijaka od ruba pojascnice c_{\min} iznosi:

$$c_{\min} = 2d + a\sqrt{2} = 2 \cdot 20 + 5\sqrt{2} = 47.05 \text{ mm}$$



- Usvojeno: $c=50 \text{ mm}$

- Ekscentricitet uzdužne sile: $e = M_{Ed} / N_{Ed} = 49.88 / 80.85 = 0.60 \text{ m} = 60 \text{ cm}$

- Ekscentricitet x_1 : $x_1 = 50 + 250 - 6.5 = 293.5 \text{ mm} = 0.294 \text{ m}$

- Ekscentricitet x_2 : $x_2 = 600 - \frac{250}{2} + 6.5 = 481.5 \text{ mm} = 0.482 \text{ m}$

$$N_{Ed} \cdot x_2 = F_{t,Ed} \cdot x_1 \longrightarrow F_{t,Ed} = N_{Ed} \cdot \frac{x_2}{x_1} = 49.88 \cdot \frac{0.482}{0.294} = 81.78 \text{ kN}$$

OTPORNOST VIJAKA NA VLAK

$$F_{t,Rd} = \frac{F_{t,Rk}}{\gamma_{M1}} = \frac{110.3}{1.25} = 88.24 \text{ kN} \geq \frac{F_{t,Ed}}{2} = \frac{81.78}{2} = 40.89 \text{ kN}$$

OTPORNOST VIJAKA NA POSMIK

$$F_{v,Rd} = \frac{F_{v,Rk}}{\gamma_{M1}} = \frac{73.5}{1.25} = 58.8 \text{ kN} \geq \frac{F_{v,Ed}}{4} = \frac{V_{Ed}}{4} = 3.77 \text{ kN}$$

INTERAKCIJA UZDUŽNE I ODREZNE SILE NA VIJAK

$$\frac{F_{v,Ed}}{F_{v,Rd}} + \frac{F_{t,Ed}}{1.4 \cdot F_{t,Rd}} \leq 1.0$$
$$\frac{3.77}{58.8} + \frac{40.89}{1.4 \cdot 88.24} = 0.41 \leq 1.0$$

PRORAČUN PLOČE

Proračun dimenzija ploče

$$a_{pl}^{\min} = h + 2(c + e_1) = 250 + 2(50 + 50) = 450 \text{ mm}$$

$$b_{pl}^{\min} = b + 2a\sqrt{2} + 20 \text{ mm} = 260 + 2 \cdot 5\sqrt{2} + 20 \text{ mm} = 294.14 \text{ mm}$$

$$b_{pl}^{\min} = p_2 + 2e_2 = 70 + 2 \cdot 40 = 150 \text{ mm}$$

-> ODABRANE DIMENZIJE PLOČE: 450x300 mm

PRORAČUN DEBLJINE PLOČE

Pritisak po omotaču rupe osnovnog materijala

$$F_{v,Ed} = \frac{V_{Ed}}{4} = 3.77 \text{ kN} = F_{b,Ed}$$

$$F_{b,Rd} = \frac{F_{b,Rk}}{1.25} \cdot \frac{t_{pl}}{10} = \frac{136.4}{1.25} \cdot \frac{t_{pl}}{10} = 3.77$$

$$t_{pl}^{\min} = 0.4 \text{ mm}$$

Savijanje ploče od odgovora betonske podlage:

$$s = (450 - 250 + 13) / 2 = 106.5 \text{ mm} = 10.65 \text{ cm}$$

$$R = F_{t,Ed} + N_{Ed} = 81.78 + 80.85 = 162.63$$

Naprezanje u betonu:

$$f_{B,Ed} = \frac{R}{\frac{3 \cdot s \cdot b_{pl}}{2}} = \frac{162.63}{\frac{3 \cdot 10.65 \cdot 30}{2}} = 0.34 \text{ kN/cm}^2 \leq \frac{f_{ck}}{1.5} = \frac{2.5}{1.5} = 1.67 \text{ kN/cm}^2$$

Savijanje ploče:

$$M_{Ed} = \frac{2}{3} \cdot f_{B,Ed} \cdot s \cdot b_{pl} \cdot \frac{s}{2} + \frac{\frac{1}{3} \cdot f_{B,Ed} \cdot s \cdot b_{pl}}{2} \cdot \frac{2}{3} \cdot s = \frac{2}{3} \cdot 3400 \cdot 0.107 \cdot 0.3 \cdot \frac{0.107}{2} + \frac{\frac{1}{3} \cdot 3400 \cdot 0 - 107 \cdot 0.3}{2} \cdot \frac{2}{3} \cdot 0.107 \\ M_{Ed} = 5.2 \text{ kNm}$$

Savijanje ploče od vlačnih vijaka:

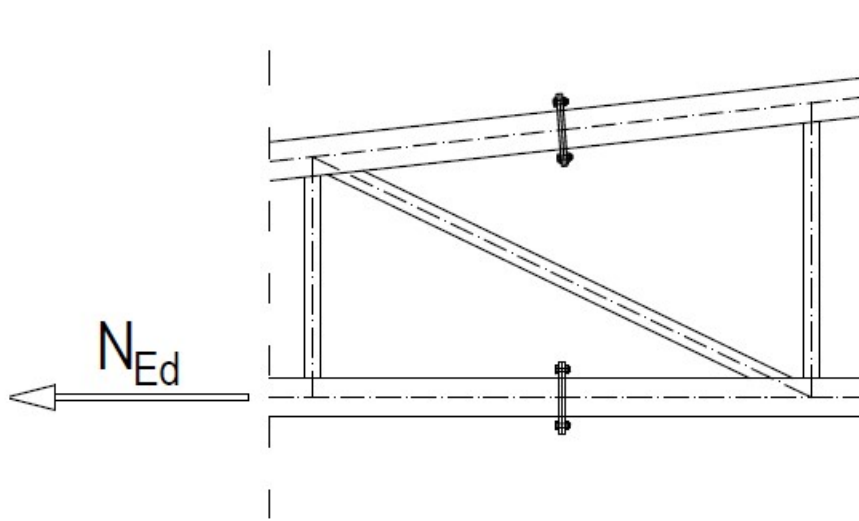
$$M_{Ed} = F_{t,Ed} \cdot \left(c + \frac{t_f}{2} \right) = 81.78 \cdot 0.0565 = 4.62 \text{ kNm}$$

$$M_{Ed} \leq \frac{W_{\min} \cdot f_y}{1.1} \longrightarrow W_{\min} = \frac{1.1 \cdot M_{Ed}}{f_y} = \frac{b_{pl} \cdot t_{pl,\min}^2}{6}$$

$$t_{pl,\min} = \sqrt{\frac{1.1 \cdot M_{Ed} \cdot 6}{b_{pl} \cdot f_y}} = \sqrt{\frac{1.1 \cdot 462 \cdot 6}{30 \cdot 23.5}} = 1.997 \text{ cm}$$

-> **USVOJENE DIMENZIJE PLOČE: 450x300x20 mm (4 vijka M20, k.v 5.6)**

6.2. VLAČNI NASTAVAK REŠETKE



Slika 6.2. Vlačni nastavak rešetke

Poprečni presjek:

CFRHS 140x140x8.8

Osnovni materijal: S235

Vijci k.v. 5.6.

$$h = 140 \text{ mm}$$

$$b = 140 \text{ mm}$$

$$t = 8.8 \text{ mm}$$

$$A = 43.52 \text{ mm}^2$$

Veličina djelovanja:

$$N_{Ed} = 264.72 \text{ kN}$$

KONTROLA VARA

$$a_{\max} = 0.7 \cdot t_{\min} = 0.7 \cdot 8.8 = 6.16 \text{ mm}$$

Odabrano: $a = 6 \text{ mm}$

Otpornost vara:

$$L_w = O = 4 \cdot 140 = 560 \text{ mm}$$

$$F_{w,Rd} = \frac{F_{w,Rk}}{\gamma_{Mw}} \cdot \frac{L_w}{100} = \frac{155.9}{1.25} \cdot \frac{560}{100} = 698.43 \text{ kN} > N_{Ed} = 264.72 \text{ kN}$$

PRORAČUN VIJAKA

Pretpostavka: vijci M20 k.v. 5.6.

n = 4 vijka

$$F_{t,Rd} = \frac{F_{t,Rk}}{\gamma_{M1}} = \frac{110.3}{1.25} = 88.24 \text{ kN}$$

$$F_{t,Ed} = \frac{N_{Ed}}{4} = \frac{264.72}{4} = 66.18 \text{ kN} \leq F_{t,Rd} = 88.24 \text{ kN}$$

PRORAČUN DIMENZIJA PLOČA

$$c = 2d + a\sqrt{2} = 2 \cdot 20 + 6\sqrt{2} = 48.49 \text{ mm}$$

$$b_{pl,min} = 2e_2 + p_2 = 2 \cdot 30 + 55 = 115$$

$$b_{pl,min} = b + a\sqrt{2} + 20 = 140 + 2 \cdot 6\sqrt{2} + 20 = 176.97$$

-> Odabrane dimenzije: 360x360 mm

PRORAČUN MINIMALNE DEBLJINE PLOČE t_{pl}^{min}

$$e = 57 \text{ mm}$$

$$b_{pl} = 360$$

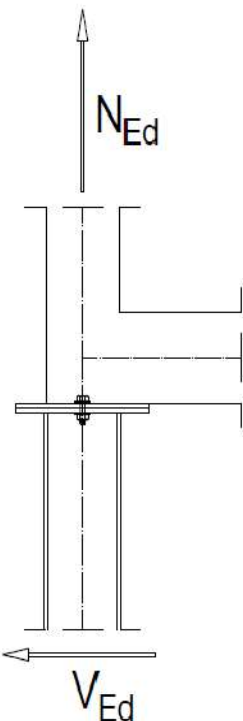
$$M_{Ed} = 2 \cdot 98.14 \cdot 0.057 = 11.19 \text{ kNm}$$

$$M_{Ed} \leq \frac{W_{min} \cdot f_y}{1.1} \longrightarrow W_{min} = \frac{1.1 \cdot M_{Ed}}{f_y} = \frac{b_{pl} \cdot t_{pl,min}^2}{6}$$

$$t_{pl,min} = \sqrt{\frac{1.1 \cdot M_{Ed} \cdot 6}{b_{pl} \cdot f_y}} = \sqrt{\frac{1.1 \cdot 1119 \cdot 6}{36 \cdot 23.5}} = 2.49 \text{ cm}$$

-> **USVOJENE DIMENZIJE PLOČE: 360x360x25 mm (4 vijka M20, k.v. 5.6)**

6.3. SPOJ STUP-REŠETKA



Slika 6.3. Spoj stup-rešetka

Poprečni presjek:

CFRHS 140x140x8.8

HEA260

$$h = 140 \text{ mm}$$

$$h = 250 \text{ mm}$$

$$b = 140 \text{ mm}$$

$$b = 260 \text{ mm}$$

$$t = 8.8 \text{ mm}$$

$$t_f = 13 \text{ mm}$$

$$A = 43.52 \text{ mm}^2$$

$$t_w = 8 \text{ mm}$$

$$A = 86.8 \text{ mm}^2$$

Osnovni materijal: S235

Vijci k.v. 5.6.

Veličina djelovanja:

$$V_{Ed} = 5.86 \text{ kN}$$

$$N_{Ed} = +0 \text{ kN}, -134 \text{ kN}$$

KONTROLA VARA NA POJASNICAMA I HRPTU

Dužina vara pojasnice:

$$l_2 \approx O = 4 \cdot 140 = 560 \text{ mm}$$

Dužina vara hrpta:

$$l \approx 2 \cdot (h - 2 \cdot t_f) = 2 \cdot (250 - 2 \cdot 13) = 448 \text{ mm}$$

Maksimalna debljina vara obzirom na debljinu hrpta i pojaseva nosača:

$$a_{\max} = 0.7 \cdot t_{\min} = 0.7 \cdot 8 = 5.6 \text{ mm}$$

- Za pretpostavljeni $a=5 \text{ mm}$ -> $F_{w,Rk} = 129.9 \text{ kN}$; $\beta_w = 0.8$

Uzdužna sila: $F_{w,Rd} = \frac{F_{w,Rk}}{1.25} \cdot \frac{L}{100} = \frac{129.9}{1.25} \cdot \frac{560}{100} = 581.95 \text{ kN} > N_{Ed} = 0 \text{ kN}$

Poprečna sila: $F_{v,Rd} = \frac{F_{v,Rk}}{1.25} \cdot \frac{L}{100} = \frac{129.9}{1.25} \cdot \frac{448}{100} = 465.56 \text{ kN} > V_{Ed} = 5.86 \text{ kN}$

PRORAČUN VIJAKA

Pretpostavka: vijci M12 k.v. 5.6.

$n = 2$ vijka

Otpornost vijaka na vlak:

$$F_{t,Rd} = \frac{F_{t,Rk}}{\gamma_{M1}} = \frac{37.9}{2} = 30.32 \text{ kN} \geq \frac{N_{Ed}}{2} = \frac{0}{2} = 0 \text{ kN}$$

Otpornost vijaka na posmik: (Poprečna sila se raspoređuje na 2 vijka)

$$F_{v,Rd} = \frac{F_{v,Rk}}{\gamma_{M1}} = \frac{25.3}{1.25} = 20.24 \text{ kN} \geq F_{v,Ed} = \frac{V_{Ed}}{2} = 2.93 \text{ kN}$$

Interakcija uzdužne i odrezne sile:

$$\frac{F_{v,Ed}}{F_{v,Rd}} + \frac{F_{t,Ed}}{1.4 \cdot F_{t,Rd}} \leq 1.0$$

$$\frac{2.93}{20.24} + \frac{0}{1.4 \cdot 30.32} = 0.15 \leq 1.0$$

PRORAČUN DIMENZIJA PLOČA

$$a_{pl,min} = h + 2(c + e_1) = 250 + 2 \cdot (40 + 30) = 390$$

$$b_{pl,min} = b + a\sqrt{2} + 20 = 260 + 2 \cdot 5\sqrt{2} = 274.14$$

-> Odabранe dimenzije: 390x340 mm

PRORAČUN MINIMALNE DEBLJINE PLOČE t_{pl}^{\min}

-> Pritisak po omotaču rupe osnovnog materijala

$$F_{v,Ed} = \frac{V_{Ed}}{2} = 2.93 = F_{b,Ed} < F_{b,Rd} = \frac{F_{b,Rk}}{\gamma_{Mb}} \cdot \frac{t_{pl,\min}}{10}$$
$$t_{pl,\min} > \frac{F_{b,Ed} \cdot \gamma_{Mb} \cdot 10}{F_{b,Rk}}$$

$$t_{pl,\min} > \frac{2.93 \cdot 1.25 \cdot 10}{83.1} = 0.44 \text{ mm}$$

-> **USVOJENE DIMENZIJE PLOČE: 390x340x10 mm (2 vijka M12, k.v. 5.6)**

7. PRORAČUN TEMELJA

ODABRANE DIMENZIJE TEMELJA:

$$L = 2.0 \text{ (m)}$$

$$B = 2.0 \text{ (m)}$$

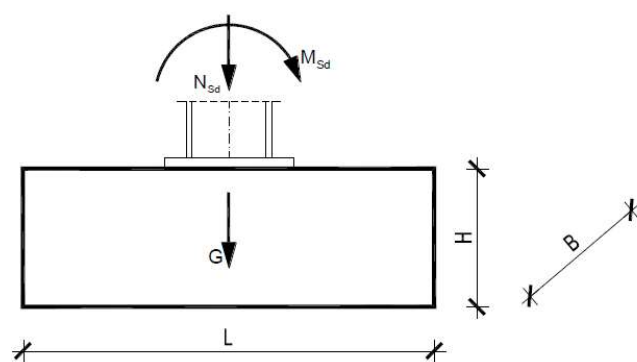
$$H = 1.5 \text{ (m)}$$

MATERIJALI:

Temeljno tlo: $\sigma_{\text{tlo,lim}} = 300 \text{ kN/m}^3$

Beton C 25/30: $f_{ck} = 2.5 \text{ kN/cm}^2$

Čelik B500B: $f_{yk} = 50.0 \text{ kN/cm}^2$



Slika 7.1. Rezne sile koje djeluju na temelj

REZNE SILE:

$$M_{Ed} = 49.88 \text{ kNm}$$

$$V_{Ed} = 15.06 \text{ kN}$$

$$N_{Ed} = -80.85 \text{ kN}$$

Površina temeljne stope: $A = L \cdot B = 2 \cdot 2 = 4 \text{ m}^2$

Težina temeljne stope: $G = L \cdot B \cdot H = 2 \cdot 2 \cdot 1.5 \cdot 25 = 150 \text{ kg}$

Moment otpora temeljne stope:

$$W = \frac{B \cdot L^2}{6} = \frac{2 \cdot 2^2}{6} = 1.3333 \text{ m}^3$$

Naprezanje u tlu ispod temeljne stope na dubini temljenja:

$$\sigma_{1,2} = \frac{N_{Ed} + G}{A} \pm \frac{M_{Ed}}{W} = \frac{80.85 + 150}{4} \pm \frac{49.88}{1.3333} \longrightarrow \sigma_1 = 95.12 \frac{\text{kN}}{\text{m}^2}; \sigma_2 = 20.30 \frac{\text{kN}}{\text{m}^2}$$

$$e = \frac{M_{Ed}}{N_{Ed} + G} = \frac{49.88}{80.85 + 150} = 0.22 \text{ m}$$

$$\frac{L}{2} = e + \frac{L'}{3} \longrightarrow L' = 3\left(\frac{L}{2} - e\right) = 3\left(\frac{2}{2} - 0.22\right) = 2.34 \text{ m}$$

$$\sigma_{ekv} = \frac{2 \cdot (N_{Ed} + G)}{L' \cdot B} = \frac{2 \cdot (80.85 + 150)}{2.34 \cdot 2} = 77.29 \text{ kN/m}^2 < \sigma_{tlo, dop} = 300 \text{ kN/m}^2$$

PRORAČUN ARMATURE TEMELJA:

$$L_1 = \frac{L - h_{stup}}{2} = \frac{2 - 0.26}{2} = 0.87 \text{ m}$$

$$\frac{\sigma_{1-1}}{L' - L_1} = \frac{\sigma_{ekv}}{L'} \Rightarrow \sigma_{1-1} = \frac{L' - L_1}{L'} \cdot \sigma_{ekv} = \frac{2.34 - 0.87}{2.34} \cdot 77.29 = 48.55 \text{ kN/m}^2$$

$$M_{Ed}^{1-1} = \gamma \cdot (\sigma_{1-1} \cdot \frac{L_1^2}{2} \cdot B + \frac{\sigma_{ekv} - \sigma_{1-1}}{2} \cdot L_1 \cdot B \cdot \frac{2}{3} \cdot L_1)$$

$$M_{Ed}^{1-1} = 1.4 \cdot (48.55 \cdot \frac{0.87^2}{2} \cdot 2 + \frac{77.29 - 48.55}{2} \cdot 0.87 \cdot 2 \cdot \frac{2}{3} \cdot 0.87) = 71.75 \text{ kNm}$$

Krak unutarnjih sila:

$$z \approx 0.8 \cdot H = 0.8 \cdot 1.5 = 1.2 \text{ m}$$

Potrebna površina armature:

$$A_{s1} = \frac{M_{Ed}^{1-1}}{z \cdot f_{yk}} = \frac{71.75}{1.2 \cdot \frac{50}{1.15}} = 1.38 \text{ cm}^2 < A_{s1,min} = \frac{0.1}{100} \cdot B \cdot H = 30 \text{ cm}^2$$

Odabrana je minimalna armatura.

Odabрано:

Glavna armatura -> ø12/15

Razdjelna armatura -> ø8/25

8. LITERATURA

- [1] B. Androić; D. Dumović; I. Džeba: Metalne konstrukcije 1, Institut građevinarstva Hrvatske, Zagreb, 1994.
- [2] B. Androić; D. Dumović; I. Džeba: Metalne konstrukcije 2, Institut građevinarstva Hrvatske, Zagreb, 1994.
- [3] B. Androić; D. Dumović; I. Džeba: Metalne konstrukcije 3, Institut građevinarstva Hrvatske, Zagreb, 1994.
- [4] ENV 1993-1-1: 1992: Eurocode 3: Bemessung nach EC3, Bemessung und Konstruktion von Stahlbauten – Teil 1-1: Allgemeine Bemessungsregeln, Bemessungsregeln für den Hochbau.
- [5] Prof.dr sc. Ivica Boko: Predavanja
- [6] FGAG repozitorij: Repozitorij Fakulteta građevinarstva, arhitekture i geodezije, Sveučilište u Splitu

9. NACRTI

9.1. GENERALNI PLAN POZICIJA

9.2. PRESJEK KROZ GLAVNI OKVIR

9.3. RADIONIČKI NACRT GLAVNE KONSTRUKCIJE

9.4. RADIONIČKI NACRT SEKUNDARNE KONSTRUKCIJE

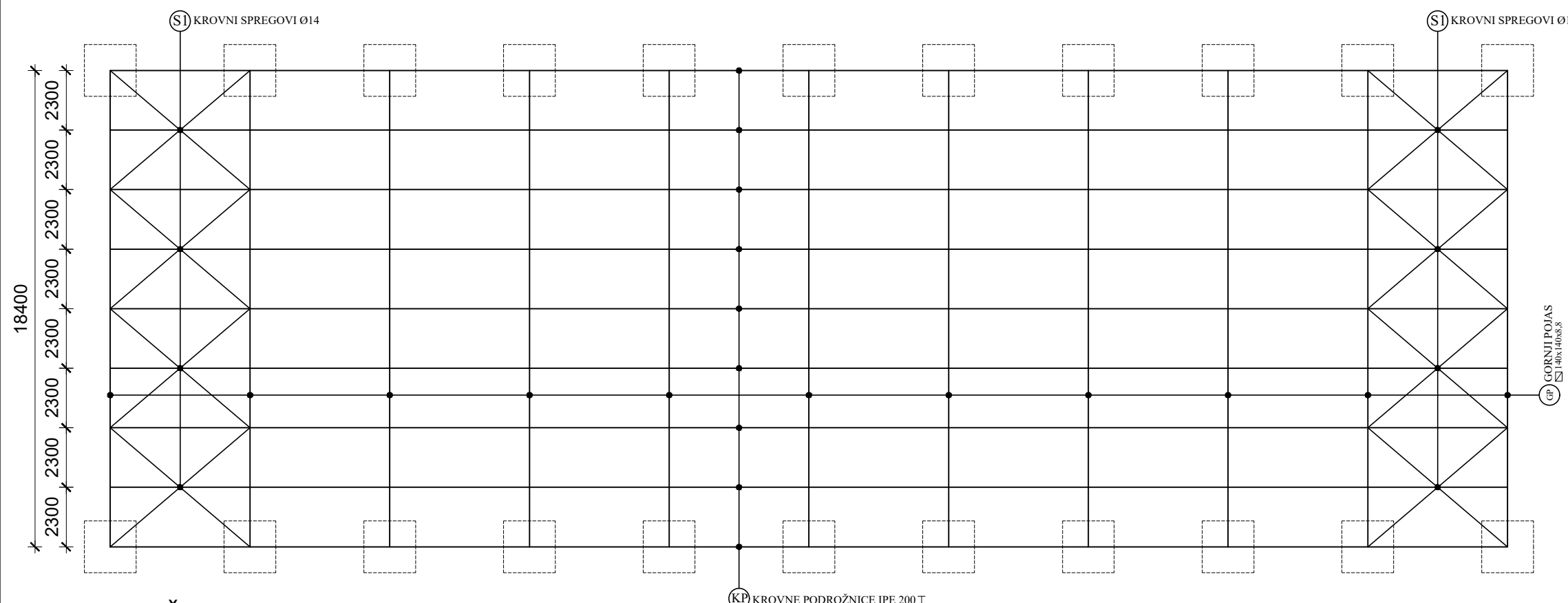
9.5. DETALJI SPOJEVA

9.6. ISKAZ MATERIJALA

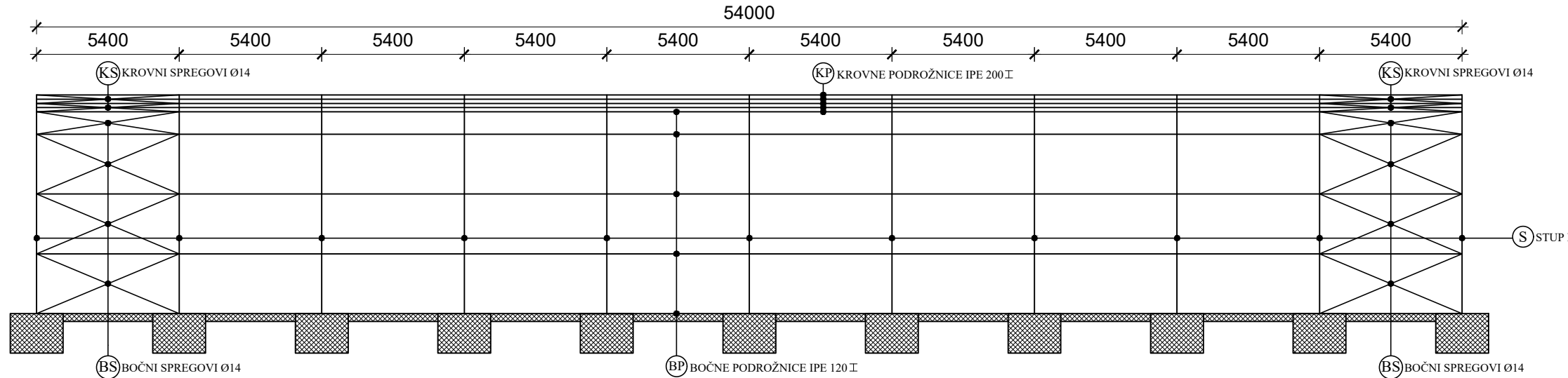
GENERALNI PLAN POZICIJA

M 1:200

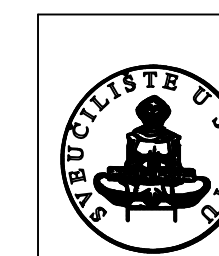
TLOCRT



UZDUŽNI PRESJEK



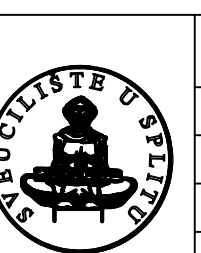
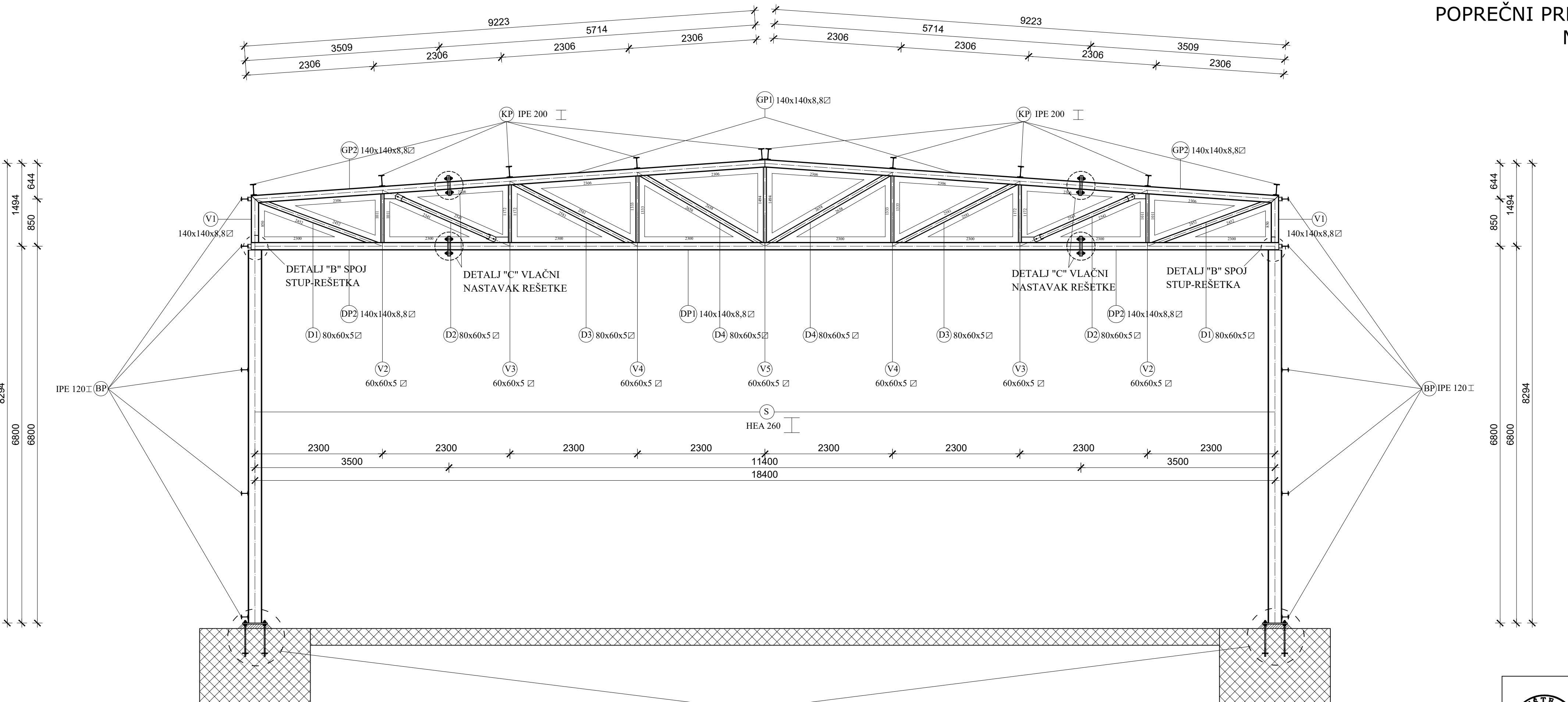
POPREČNI PRESJEK



FAKULTET GRAĐEVINARSTVA, ARHITEKTURE I GEODEZIJE U SPLITU

PREDMET	OSNOVE METALNIH KONSTRUKCIJA	DATUM: 04.07.2019.
ZADATAK	PROJEKTIRANJE I DIMENZIONIRANJE HALE	
SADRŽAJ LISTA	GENERALNI PLAN POZICIJA	M 1:200 BROJ PRILOGA 1
STUDENT	TONI FRASKA	

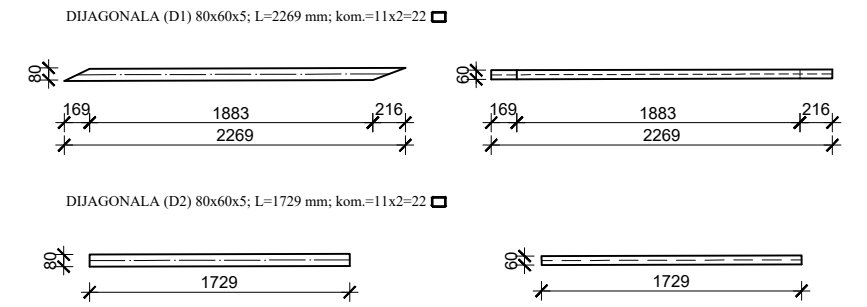
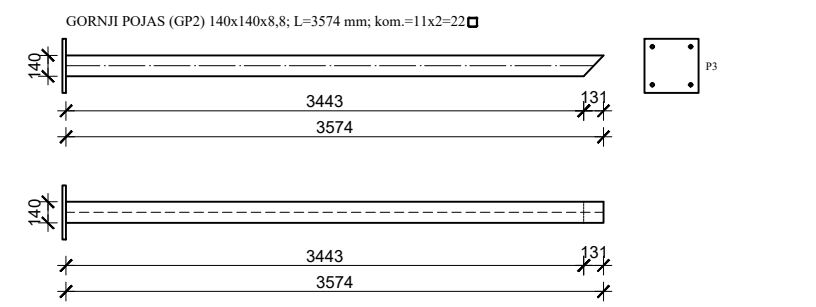
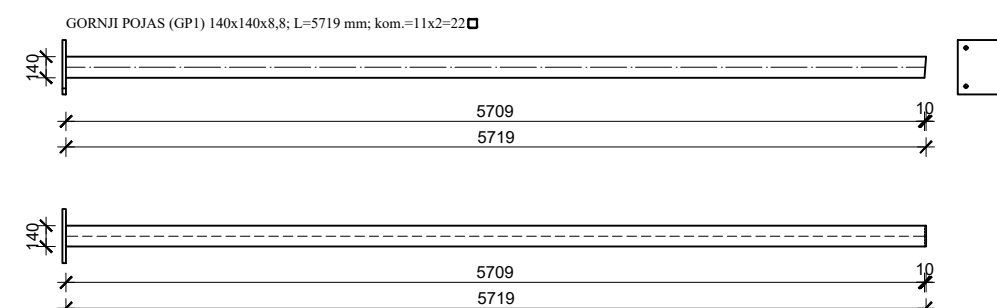
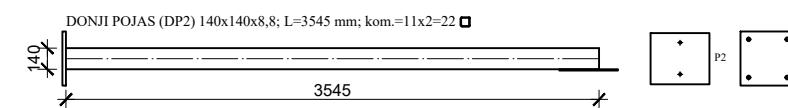
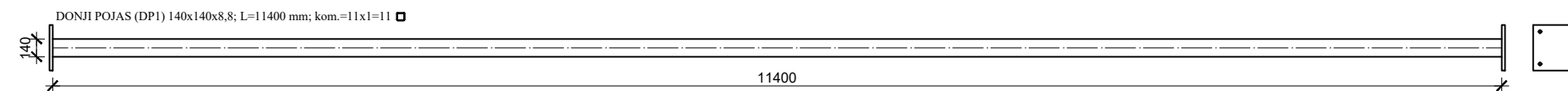
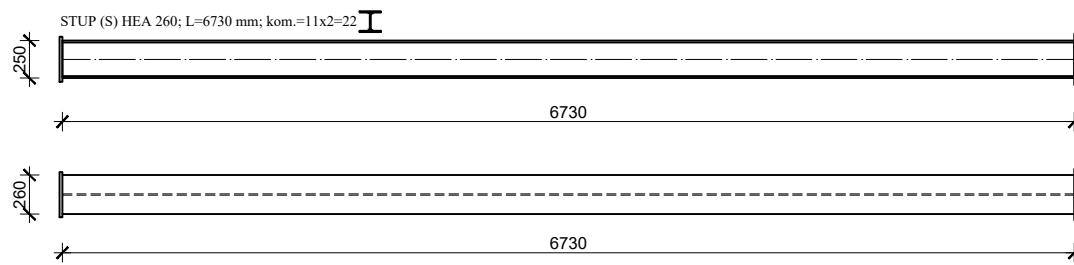
OPREČNI PRESJEK GLAVNOG NOSAČA M 1:50



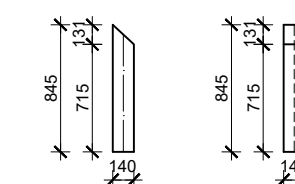
AKULTET GRAĐEVINARSTVA, ARHITEKTURE I GEODEZIJE U SPLITU		
REDMET	OSNOVE METALNIH KONSTRUKCIJA	DATUM: 04.07.2019.
ADATAK	PROJEKTIRANJE I DIMENZIONIRANJE HALE	
ADRŽAJ LISTA	POPREČNI PRESJEK GLAVNOG NOSAČA	M 1:50 BROJ PRILOGA
TUDENT	TONI FRASKA	2

RADIONIČKI NACRT GLAVNE KONSTRUKCIJE

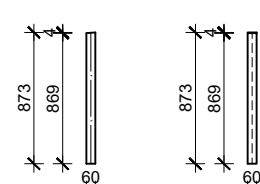
M 1:50



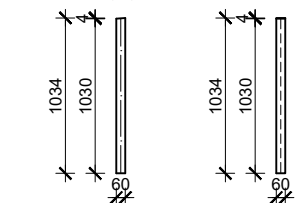
VERTIKALA (V1) 140x140x8,8; L=845 mm; kom.=11x2=22



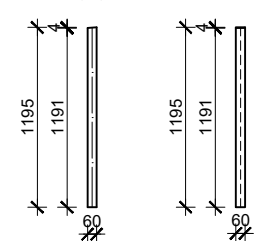
VERTIKALA (V2) 60x60x5; L=873 mm; kom.=11x2=22



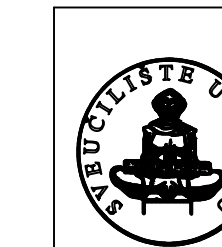
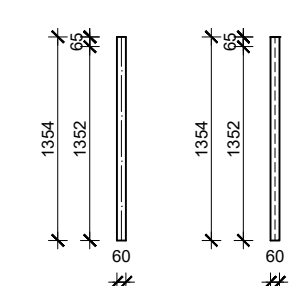
VERTIKALA (V3) 60x60x5; L=1034 mm; kom.=11x2=22



VERTIKALA (V4) 60x60x5; L=1195 mm; kom.=11x2=22



VERTIKALA (V5) 60x60x5; L=1354 mm; kom.=11x1=11

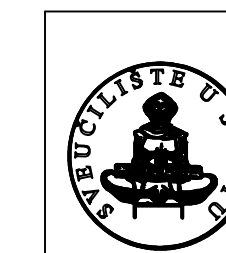
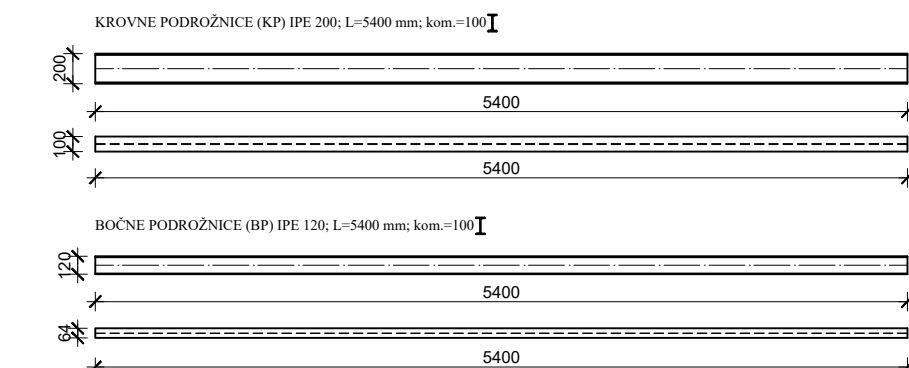
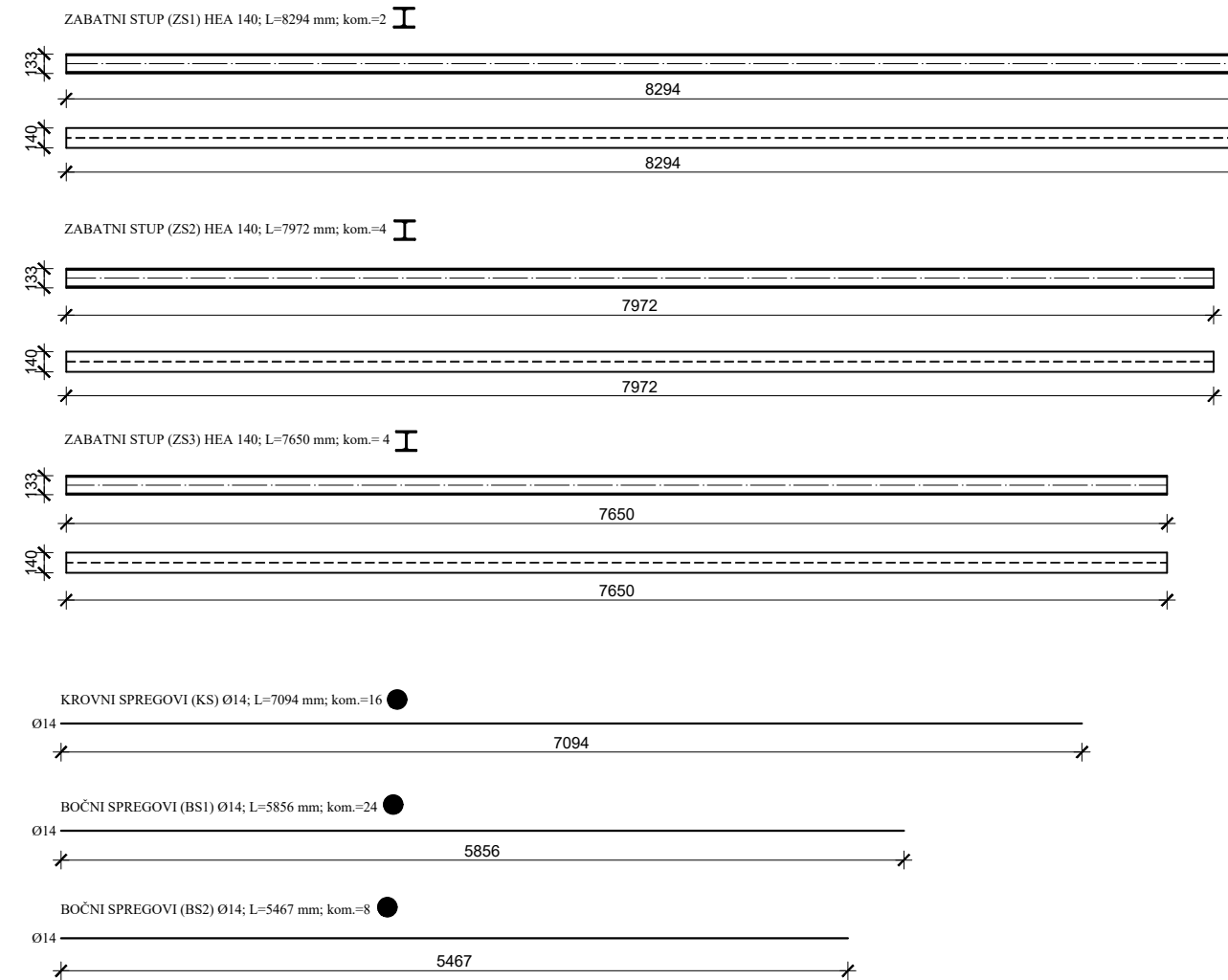


FAKULTET GRAĐEVINARSTVA, ARHITEKTURE I GEODEZIJE U SPLITU

PREDMET	OSNOVE METALNIH KONSTRUKCIJA	DATUM: 04.07.2019.
ZADATAK	PROJEKTIRANJE I DIMENZIONIRANJE HALE	
SADRŽAJ LISTA	RADIONIČKI NACRT GLAVNE KONSTRUKCIJE	M 1:50
STUDENT	TONI FRASKA	BROJ PRILOGA 3

RADIONIČKI SEKUNDARNE KONSTRUKCIJE

M 1:50



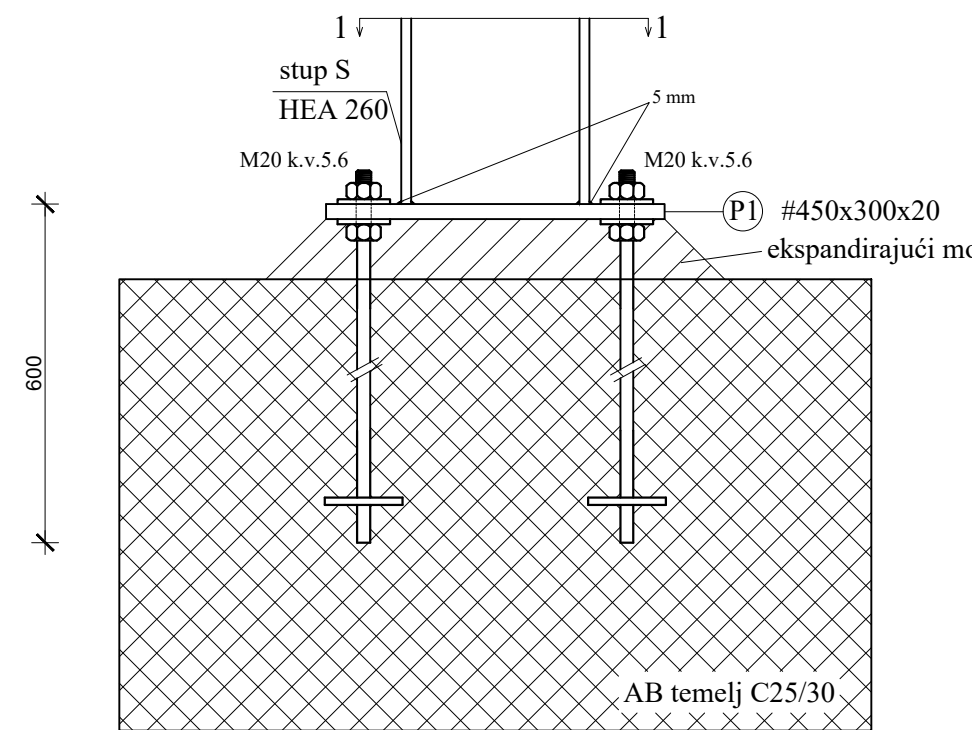
FAKULTET GRAĐEVINARSTVA, ARHITEKTURE I GEODEZIJE U SPLITU

PREDMET	OSNOVE METALNIH KONSTRUKCIJA	DATUM: 04.07.2019.
ZADATAK	PROJEKTIRANJE I DIMENZIONIRANJE HALE	
SADRŽAJ LISTA	RADIONIČKI NACRT SEKUNDARNE KONSTRUKCIJE	M 1:50
STUDENT	TONI FRASKA	BROJ PRILOGA 4

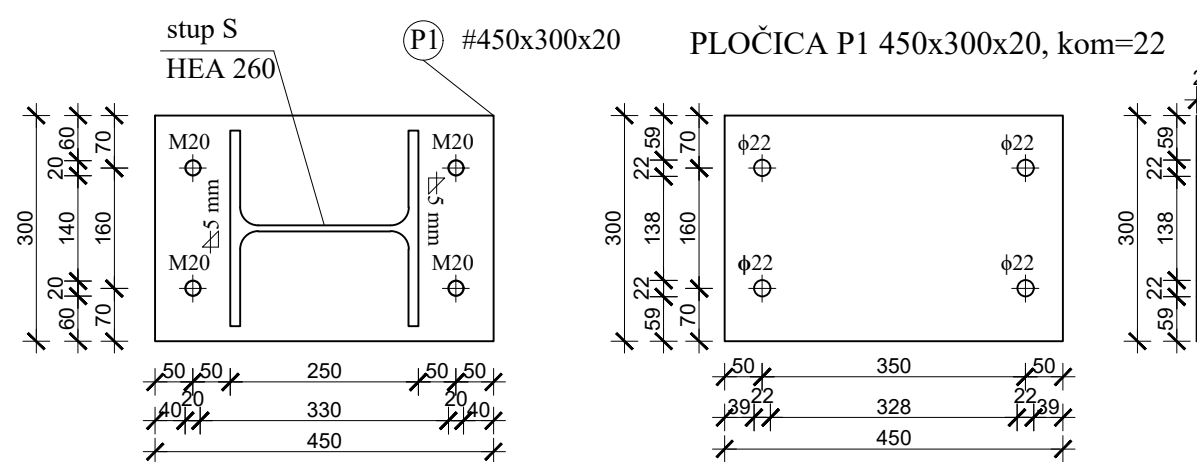
DETALJI SPOJEVA

M 1:10

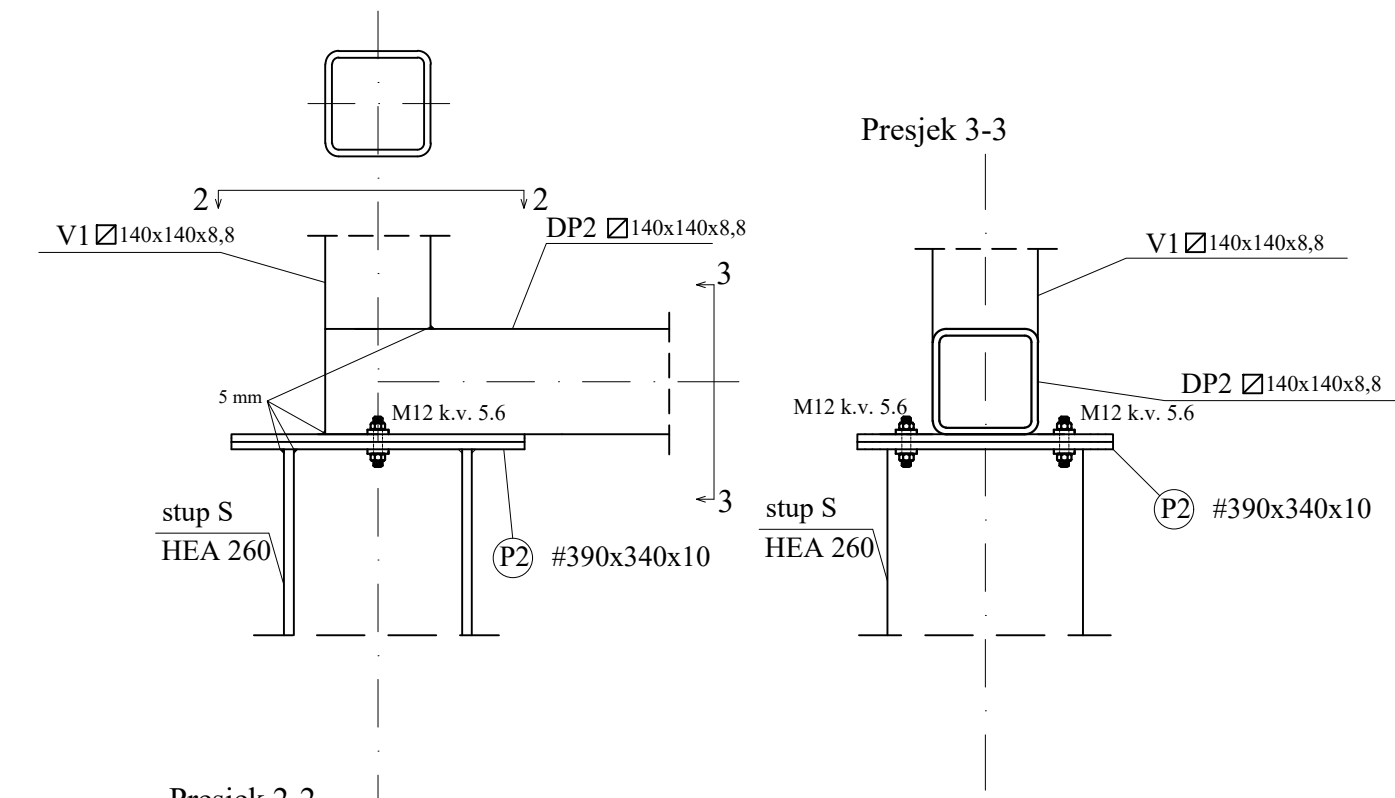
DETALJ "A" SPOJ STUP-TEMELJ M 1:10



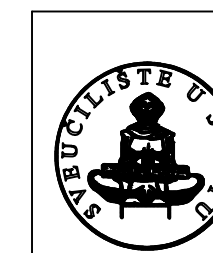
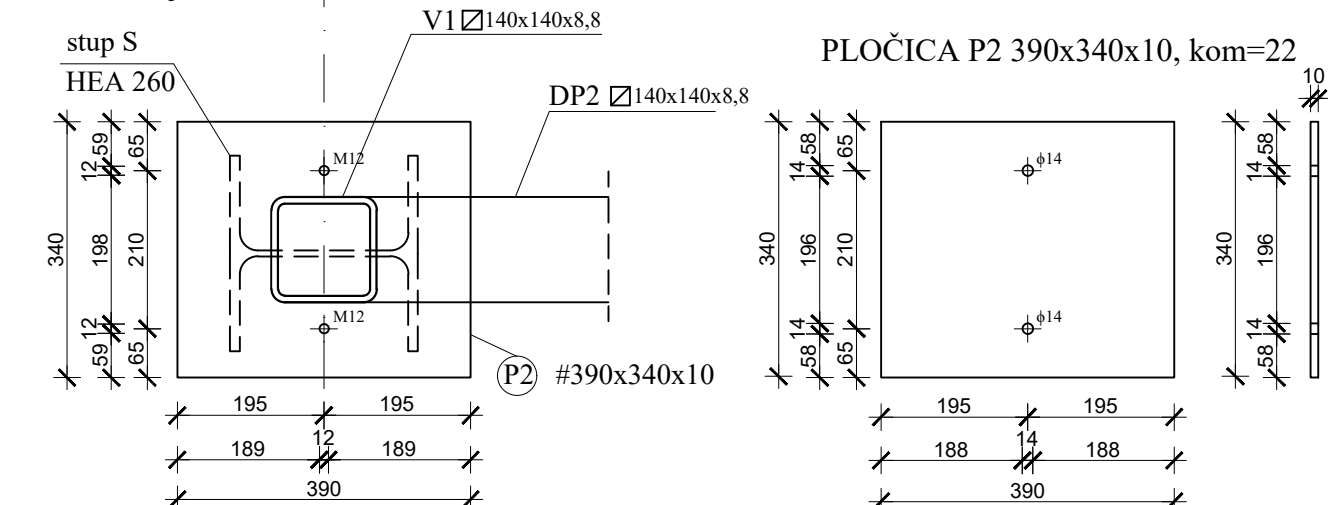
Presjek 1-1



DETALJ "B" SPOJ STUP-REŠETKA M 1:10



Presjek 2-

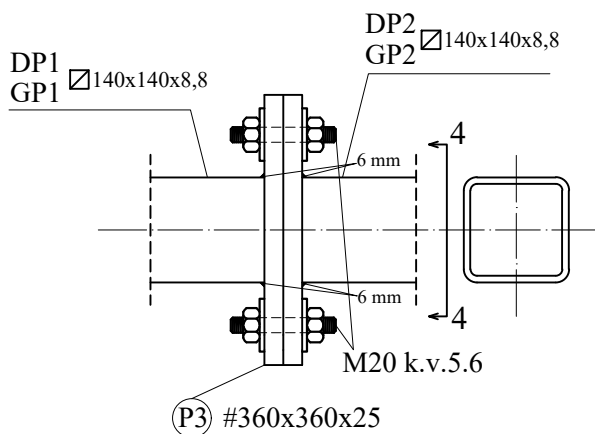


FAKULTET GRAĐEVINARSTVA, ARHITEKTURE I GEODEZIJE U SPLITU	
PREDMET	OSNOVE METALNIH KONSTRUKCIJA
ZADATAK	PROJEKTIRANJE I DIMENZIONIRANJE HALE
SADRŽAJ LISTA	DETALJI SPOJEVA "A", "B"
STUDENT	TONI FRASKA
	DATUM: 04.07.2019.
	M 1:10
	BROJ PRILOGA 5

DETALJ SPOJA

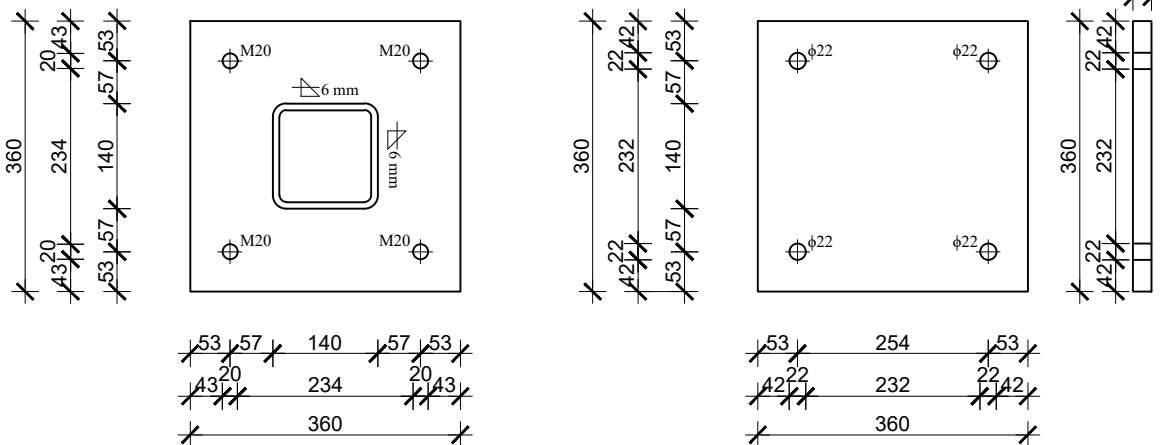
M 1:10

DETALJ "C" VLAČNI NASTAVAK REŠETKE M 1:10



Presjek 4-4

PLOČICA P3 360x360x25, kom=88



	FAKULTET GRAĐEVINARSTVA, ARHITEKTURE I GEODEZIJE U SPLITU		
PREDMET	OSNOVE METALNIH KONSTRUKCIJA		
ZADATAK	PROJEKTIRANJE I DIMENZIONIRANJE HALE		
SADRŽAJ LISTA	DETALJ SPOJA "C"		
STUDENT	TONI FRASKA		
DATUM	04.07.2019.	M 1:10	BROJ PRILOGA: 6

TABLICA ISKAZA MATERIJALA

TABLICA ISKAZA MATERIJALA ZA CIJELU KONSTRUKCIJU					
POZICIJA	PROFIL	DUŽINA (mm)	KOMADA	JED. TEŽINA (kg/m)	UKUPNA TEŽINA (kg)
Stup	HEA 260	6730	22	68.2	10097.7
Donji pojaz (DP1)	140x140x8.8	11400	11	31.4	3937.6
Donji pojaz (DP2)	140x140x8.8	3545	22	31.4	2448.9
Gornji pojaz (GP1)	140x140x8.8	5719	22	31.4	3950.7
Gornji pojaz (GP2)	140x140x8.8	3574	22	31.4	2468.9
Vertikala (V1)	140x140x8.8	845	22	31.4	583.7
Vertikala (V2)	60x60x5	873	22	8.13	156.2
Vertikala (V3)	60x60x5	1034	22	8.13	184.9
Vertikala (V4)	60x60x5	1195	22	8.13	213.7
Vertikala (V5)	60x60x5	1354	11	8.13	121.1
Dijagonala (D1)	80x60x5	2269	22	9.7	484.2
Dijagonala (D2)	80x60x5	1729	22	9.7	369.0
Dijagonala (D3)	80x60x5	2436	22	9.7	519.8
Dijagonala (D4)	80x60x5	2522	22	9.7	538.2
P1	450x300x20	-	22	7850(kg/m ³)	466.3
P2	390x340x10	-	22	7850(kg/m ³)	229.0
P3	360x360x25	-	88	7850(kg/m ³)	2238.2
Zabatni stup(ZS1)	HEA 140	8294	2	24.7	409.7
Zabatni stup(ZS2)	HEA 140	7972	4	24.7	787.6
Zabatni stup(ZS3)	HEA 140	7650	4	24.7	755.8
K. podrožnica (KP)	IPE 200	5400	100	22.4	12096
B. podrožnica (BP)	IPE 120	5400	100	10.4	5616
Krovni spreg (KS)	RD14	7094	16	1.21	137.3
Bočni spreg (BS1)	RD14	5856	24	1.21	170.1
Bočni spreg (BS2)	RD14	5467	8	1.21	52.9
					Ukupno (kg)
					49033.5
					+2,0% spojna sredstva
					9806.7
					UKUPNO (kg)
					58840.2
					UKUPNO (kg/m ²)
					59.2



FAKULTET GRAĐEVINARSTVA, ARHITEKTURE I GEODEZIJE U SPLITU

PREDMET	OSNOVE METALNIH KONSTRUKCIJA	DATUM: 04.07.2019.
ZADATAK	PROJEKTIRANJE I DIMENZIONIRANJE HALE	
SADRŽAJ LISTA	ISKAZ MATERIJALA	BROJ PRILOGA: 7
STUDENT	TONI FRASKA	